

ศึกษาคุณลักษณะของดีซีมอเตอร์

STUDY THE CHARACTERISTIC OF DC MOTOR

นายศักรินทร์ หลงมะถิ รหัส 46380168
นายภูวันน์ เมืองวงศ์ รหัส 48380359

ห้องสมุดคณะวิศวกรรมศาสตร์	ปี ๑ ๘.๔, ๒๕๕๕
วันที่รับ.....
เลขทะเบียน.....	๑๖๓๓๐๐๕
เลขเรียกหนังสือ.....	๙๖
มหาวิทยาลัยนเรศวร ๑๓๓๔ ๗ ๒๕๕๑	

ปริญญาในพนธน์เป็นส่วนหนึ่งของการศึกษาหลักสูตรปริญญาวิศวกรรมศาสตรบัณฑิต

สาขาวิศวกรรมไฟฟ้า ภาควิชาวิศวกรรมไฟฟ้าและคอมพิวเตอร์

คณะวิศวกรรมศาสตร์ มหาวิทยาลัยนเรศวร

ปีการศึกษา ๒๕๕๑



ใบรับรองโครงการวิศวกรรม

หัวข้อโครงการ	ศึกษาคุณลักษณะของดีซีมอเตอร์		
ผู้ดำเนินโครงการ	นายศักกินทร์	หลงมะลิ	รหัส 46380168
	นายภูวัจน์	เมืองวงศ์	รหัส 48380359
อาจารย์ที่ปรึกษา	ดร.สมพร	เรืองสินชัยวนิช	
สาขาวิชา	วิศวกรรมไฟฟ้า		
ภาควิชา	วิศวกรรมไฟฟ้าและคอมพิวเตอร์		
ปีการศึกษา	2551		

คณะกรรมการวิศวกรรมศาสตร์ มหาวิทยาลัยนราธิวาส อนุมัติให้โครงการฉบับนี้เป็นส่วนหนึ่งของการศึกษาตามหลักสูตรวิศวกรรมศาสตรบัณฑิต สาขาวิศวกรรมไฟฟ้า
คณะกรรมการสอน โครงการวิศวกรรม

.....ประธานกรรมการ

(ดร. สมพร เรืองสินชัยวนิช)

.....กรรมการ

(ดร. พ clue วรจิรันณ์)

..........กรรมการ

(อาจารย์แสงชัย มังกรทอง)

หัวข้อโครงงาน	ศึกษาคุณลักษณะของคีซีมอเตอร์
ผู้ดำเนินโครงงาน	นายศักกินทร์ หลงมะดิ รหัส 46380168
	นายภูวันน์ เมืองวงศ์ รหัส 48380359
อาจารย์ที่ปรึกษา	ดร.สมพร เรืองสินชัยวนิช
สาขาวิชา	วิศวกรรมไฟฟ้า
ภาควิชา	วิศวกรรมไฟฟ้าและคอมพิวเตอร์
ปีการศึกษา	2551

บทคัดย่อ

โครงงานนี้เป็นการศึกษาและทดลองมอเตอร์ไฟฟ้ากระแสตรงในการต่อแบบอนุกรม ขนาด และพสม ที่แรงดัน 180, 220 และ 260 โวลต์ และเครื่องกำเนิดไฟฟ้ากระแสตรงในการต่อแบบอนุกรม ขนาด และพสม ขนาดจ่ายโหลดและไม่จ่ายโหลด จากการทดลองพบว่า

มอเตอร์ไฟฟ้ากระแสตรง เมื่อจ่ายแรงดันที่ 180, 220 และ 260 โวลต์ ทำให้ความเร็วอบเพิ่มขึ้นตามระดับแรงดัน และเมื่อโหลดมีการเปลี่ยนแปลง ในการต่อแบบอนุกรมพบว่าการเปลี่ยนแปลงของโหลดเพียงเล็กน้อยมีผลทำให้ความเร็วอบเปลี่ยนแปลงอย่างมาก ในการต่อแบบอนุกรมพบว่าการเปลี่ยนแปลงของโหลดมีผลทำให้ความเร็วอบเปลี่ยนแปลงเพียงเล็กน้อย ซึ่งการต่อแบบขนานจะมีความเร็วอบค่อนข้างคงที่ ในการต่อแบบพสมการพบว่าการเพิ่มขึ้นของโหลด ทำให้ความเร็วอบลดลง เมื่อเทียบกับการต่อแบบขนาน จะลดลงเร็วและมากกว่า แต่ที่แรงบิดเท่ากันจะกินกระแสที่น้อยกว่า

เครื่องกำเนิดไฟฟ้ากระแสตรงเมื่อมีความเร็วอบเพิ่มขึ้นแรงดันที่ได้ก็เพิ่มขึ้นด้วย แต่การต่อแบบขนานจะได้แรงดันที่มากกว่าการต่อแบบอนุกรมและการต่อแบบพสม และในการจ่ายโหลด เมื่อโหลดเพิ่มขึ้นมีผลทำให้แรงดันลดลงตามการของโหลด

Project Title	Study the Characteristic of DC Motor		
Name	Mr.Sakkarin Loungmali	ID. 46380168	
	Mr.Phuwat Muangwong	ID. 48380359	
Project Advisor	Sompong Ruangsinchaiwanich, Ph.D.		
Major	Electrical Engineering		
Department	Electrical and Computer Engineering		
Academic Year	2008		

ABSTRACT

This project is study and test of D.C. Motor as series, shunt and compound, the voltage at 180, 220 and 260 volt, and D.C. Generator as series, shunt and compound during load test and no-load test. The experiment found that.

D.C. Motor when voltage at 180, 220 and 260 volt, speeds up as the voltage level. When has vary loading, in series motor found that varying of load a little effect to the speed very varying, in shunt motor found that varying of load effect to the speed varying a little bit, which shunt motor will has speed constant, in compound motor found that the increasing of load will effect to speed less when compare with shunt motor which will reduce faster, but at torque equivalent will has current less.

D.C. Generator when the speed increased voltage that is also increasing. But shunt motor will has more voltage than series motor and compound motor. Load test, when increase load will effect to voltage reduce to load condition.

กิตติกรรมประกาศ

ในการทำปริญนานิพนธ์ครั้งนี้สำเร็จลุล่วงไปด้วยดีโดยได้รับความช่วยเหลือและได้รับคำแนะนำจาก ดร. สมพร เรืองสินชัยวนิช อาจารย์ที่ปรึกษาปริญนานิพนธ์ ได้อี๊เพื่อข้อมูลในการทำปริญนานิพนธ์ในครั้งนี้ และขอขอบคุณ ดร. พรพิศุทธิ์ วรจิรันตน์ และอาจารย์แสงชัย มังกรทอง ที่ให้ความกรุณาเป็นผู้ตรวจสอบปริญนานิพนธ์และคอยให้คำแนะนำในส่วนของทฤษฎีที่เกี่ยวกับปริญนานิพนธ์ในครั้งนี้ และขอขอบคุณนายกฤตญา สมจิตชอบ และนายณัฐภูวัثار มหัยพงษ์ ดาวร ที่คอยให้คำปรึกษาและคุ้มครองในช่วงการทำทดลอง

ท้ายสุดขอขอบพระคุณ คุณพ่อ คุณแม่ ญาติพี่น้อง ที่คอยช่วยเหลืออย่างเป็นกำลังใจและเป็นผู้สนับสนุนในด้านต่างๆมาโดยตลอดและขอขอบคุณบุคคลต่างๆที่ไม่ได้กล่าวถึง รวมถึงแหล่งข้อมูลที่เอื้อต่อการทำปริญนานิพนธ์ในครั้งนี้

นายศักวินทร์ หลงมะลิ
นายภวัจน์ เมืองวงศ์

สารบัญ

หน้า

บทคัดย่อภาษาไทย.....	ก
บทคัดย่อภาษาอังกฤษ.....	ข
กิตติกรรมประกาศ	ค
สารบัญ.....	ง
สารบัญตาราง.....	น
สารบัญรูป.....	ฉ

บทที่ 1 บทนำ

1.1 ที่มาและความสำคัญของโครงการ	1
1.2 วัตถุประสงค์ของโครงการ	1
1.3 ขอบข่ายของโครงการ	2
1.4 ขั้นตอนการดำเนินงาน	2
1.5 ตารางการดำเนินงาน	2
1.6 ผลที่คาดว่าจะได้รับ	3
1.7 งบประมาณที่ใช้	3

บทที่ 2 หลักการและทฤษฎี

2.1 มอเตอร์ไฟฟ้ากระแสสลับ	4
2.2 โครงสร้างของมอเตอร์ไฟฟ้ากระแสสลับ	4
2.3 คุณสมบัติของมอเตอร์ไฟฟ้ากระแสสลับ	8
2.4 หลักการทำงานของมอเตอร์ไฟฟ้ากระแสสลับ	16
2.5 แรงบิดของตัวนำ	22
2.6 แรงบิดของมอเตอร์	24
2.7 กำลังของมอเตอร์	26
2.8 กำลังสูญเสียในมอเตอร์	27
2.9 ประสิทธิภาพของมอเตอร์	35
2.10 การเริ่มเดินமอเตอร์ไฟฟ้ากระแสสลับ	37

สารบัญ (ต่อ)

หน้า

บทที่ 3 การออกแบบการทดลอง

3.1 อุปกรณ์การทดลอง	43
3.2 ขั้นตอนการทดลอง	44

บทที่ 4 ผลการทดลอง

4.1 ผลการทดลองมอเตอร์ไฟฟ้ากระแสตรง	59
4.2 ผลการทดลองเครื่องกำเนิดไฟฟ้ากระแสตรง	80

บทที่ 5 สรุปผลการทดลอง

5.1 สรุปผลการทดลอง	95
5.2 ปัญหาในการทำงานและแนวทางแก้ไข	97
5.3 ประเมินผล	97
5.4 แนวทางสำหรับการพัฒนา	97
เอกสารอ้างอิง	98
ประวัติผู้เขียนโครงการ	99

สารบัญตาราง

ตารางที่	หน้า
4.1 คุณสมบัติของนอเตอร์ไฟฟ้ากระแสตรง	58
4.2 คุณสมบัติของเครื่องกำเนิดไฟฟ้ากระแสตรง	58
4.3 ความสัมพันธ์ระหว่างกระแสอาร์เมเจอร์, ความเร็วรอบ, แรงบิด แบบอนุกรมที่แรงดัน 180 V	60
4.4 ความสัมพันธ์ระหว่างความเร็วรอบกับกระแสอาร์เมเจอร์ แบบอนุกรมที่แรงดัน 180 V	60
4.5 ความสัมพันธ์ระหว่างกระแสอาร์เมเจอร์, ความเร็วรอบ, แรงบิด แบบอนุกรมที่แรงดัน 220 V	61
4.6 ความสัมพันธ์ระหว่างความเร็วรอบกับกระแสอาร์เมเจอร์ แบบอนุกรมที่แรงดัน 220 V	61
4.7 ความสัมพันธ์ระหว่างกระแสอาร์เมเจอร์, ความเร็วรอบ, แรงบิด แบบอนุกรมที่แรงดัน 260 V	62
4.8 ความสัมพันธ์ระหว่างความเร็วรอบกับกระแสอาร์เมเจอร์ แบบอนุกรมที่แรงดัน 260 V	62
4.9 ความสัมพันธ์ระหว่างกระแสอาร์เมเจอร์, ความเร็วรอบ, แรงบิด แบบขนานที่แรงดัน 180 V	67
4.10 ความสัมพันธ์ระหว่างความเร็วรอบกับกระแสอาร์เมเจอร์ แบบขนานที่แรงดัน 180 V	67
4.11 ความสัมพันธ์ระหว่างกระแสอาร์เมเจอร์, ความเร็วรอบ, แรงบิด แบบขนานที่แรงดัน 220 V	68
4.12 ความสัมพันธ์ระหว่างความเร็วรอบกับกระแสอาร์เมเจอร์ แบบขนานที่แรงดัน 220 V	68
4.13 ความสัมพันธ์ระหว่างกระแสอาร์เมเจอร์, ความเร็วรอบ, แรงบิด แบบขนานที่แรงดัน 260 V	69
4.14 ความสัมพันธ์ระหว่างความเร็วรอบกับกระแสอาร์เมเจอร์ แบบขนานที่แรงดัน 260 V	69
4.15 ความสัมพันธ์ระหว่างกระแสอาร์เมเจอร์, ความเร็วรอบ, แรงบิด แบบผสมที่แรงดัน 180 V	74

สารบัญตาราง(ต่อ)

ตารางที่	หน้า
4.16 ความสัมพันธ์ระหว่างความเร็วรอบกับกระแสอาร์เมเนจอร์ แบบทดสอบที่แรงดัน 180 V.....	74
4.17 ความสัมพันธ์ระหว่างกระแสอาร์เมเนจอร์, ความเร็วรอบ, แรงบิด แบบทดสอบที่แรงดัน 220 V.....	75
4.18 ความสัมพันธ์ระหว่างความเร็วรอบกับกระแสอาร์เมเนจอร์ แบบทดสอบที่แรงดัน 220 V.....	75
4.19 ความสัมพันธ์ระหว่างกระแสอาร์เมเนจอร์, ความเร็วรอบ, แรงบิด แบบทดสอบที่แรงดัน 260 V.....	76
4.20 ความสัมพันธ์ระหว่างความเร็วรอบกับกระแสอาร์เมเนจอร์ แบบทดสอบที่แรงดัน 260 V.....	76
4.21 ตารางแรงเกลื่อนไฟฟ้าต่อกำลังความเร็วรอบ	81
4.22 แรงเกลื่อนไฟฟ้าต่อกำลังความเร็วรอบ	83
4.23 ความสัมพันธ์ระหว่างแรงเกลื่อนไฟฟ้ากับความเร็วอาร์เมเนจอร์ และกระแสคลาด	84
4.24 ความสัมพันธ์ระหว่างกระแสกับแรงเกลื่อนไฟฟ้า	86
4.25 ความสัมพันธ์ระหว่างแรงดันกับกระแส	87
4.26 ความสัมพันธ์ระหว่างแรงเกลื่อนไฟฟ้ากับกระแสคลาดคลาดที่โหลดต่างๆ	89
4.27 ความสัมพันธ์ระหว่างกระแสกับแรงเกลื่อนไฟฟ้าและความเร็วรอบ	90
4.28 ความสัมพันธ์ระหว่างแรงเกลื่อนไฟฟ้ากับกระแส	92
4.29 ความสัมพันธ์ระหว่างแรงเกลื่อนไฟฟ้ากับกระแสอาร์เมเนจอร์ ที่กระแสโหลดคงที่	93
5.1 เมริบเทียบคุณสมบัติและการประยุกต์ใช้งาน มอเตอร์ไฟฟ้ากระแสตรงชนิดต่างๆ	96

สารบัญรูป

รูปที่	หน้า
2.1 มอเตอร์ไฟฟ้ากระแสตรง.....	4
2.2 โครงสร้างเปลือก	5
2.3 ลักษณะของขั้วแม่เหล็ก	5
2.4 ขดลวดพันอยู่รอบขั้วแม่เหล็ก.....	6
2.5 แปรรูป.....	6
2.6 ส่วนที่เกิดขึ้นที่.....	7
2.7 แกนเหล็กอาร์เมจเจอร์.....	7
2.8 คอมมิวเตเตอร์.....	8
2.9 วงจรภายในมอเตอร์ไฟฟ้ากระแสตรง.....	8
2.10 การจำแนกชนิดของมอเตอร์ไฟฟ้ากระแสตรง.....	10
2.11 วงจรของมอเตอร์ไฟฟ้ากระแสตรงแบบอนุกรม.....	10
2.12 มอเตอร์แบบอนุกรม	11
2.13 วงจรของมอเตอร์ไฟฟ้ากระแสตรงแบบขนาน	12
2.14 มอเตอร์แบบขนาน	13
2.15 วงจรของมอเตอร์แบบผสมชนิดคิวมูเลทิฟ	14
2.16 วงจรของมอเตอร์แบบผสมชนิดคิฟเพอร์เรนเซียล.....	14
2.17 มอเตอร์แบบผสม	15
2.18 เส้นแรงแม่เหล็กระหว่างขั้วเหนือ ขั้วใต้เป็นเส้นตรง พุ่งออกจากขั้วเหนือไปชั่งขั้วใต้	17
2.19 เส้นแรงแม่เหล็กต้องรอบตัวนำที่ให้กระแสไฟฟ้าไหลผ่านในสนามแม่เหล็ก.....	18
2.20 เส้นแรงแม่เหล็กรวมระหว่าง ϕ_{NS} กับ ϕ_1 และ ϕ_{NS} กับ ϕ_2 ในช่องว่างอากาศ ระหว่างขั้วเหนือ ขั้วใต้.....	18
2.21 ตัวนำเคลื่อนที่ในสนามแม่เหล็กมีทิศทางเป็นไปตามกฎมือซ้ายของเฟลมมิง	19
2.22 ตัวนำเดี่ยวเคลื่อนที่ในสนามแม่เหล็ก.....	19
2.23 รูปสัญลักษณ์แสดงความสัมพันธ์ระหว่างแรงผลักตัวนำกับเส้นแรงแม่เหล็ก และกระแสไฟฟ้าของตัวนำเดี่ยวในสนามแม่เหล็กตามรูปที่ 2.22.....	19
2.24 แรงผลักตัวนำดูในสนามแม่เหล็ก	20
2.25 แรงผลักตัวนำหลายตัวนำในสนามแม่เหล็ก.....	21
2.26 แรงบิดของมอเตอร์และล้อขับสายพานสำหรับหมุนขับงาน	22

สารบัญรูป(ต่อ)

รูปที่	หน้า
2.27 แรงบิดของมอเตอร์	23
2.28 แรงและแรงบิดของมอเตอร์ชนิดขั้วแม่เหล็ก2คู่ขั้วที่ประกอบด้วย ตัวนำอาร์เมจเจอร์ 28 ตัวนำ	23
2.29 แรงบิดของมอเตอร์	24
2.30 กำลังหมุนขับของมอเตอร์	26
2.31 ความสัมพันธ์ระหว่างกำลังไฟฟ้า กำลังกล กำลังสูญเสีย และประสิทธิภาพของมอเตอร์	27
2.32 กำลังสูญเสียคงที่ของมอเตอร์	28
2.33 กำลังสูญเสียสีสเตอร์ชีส	28
2.34 กระแสไฟฟ้าหนึ่งขวน้ำที่เกิดขึ้นและในลุ่นเว็บนอยู่รอบแกนเหล็ก	30
2.35 เส้นแรงแม่เหล็กบนแกนอาร์เมจเจอร์หมุนตัดแกนขั้วแม่เหล็ก	31
2.36 กำลังสูญเสียเนื่องจากความเสียดทาน ณ ต่ำนต่างๆ ของมอเตอร์	33
2.37 ประสิทธิภาพของมอเตอร์	35
2.38 ลากแแผ่นป้ายชื่อ (Name-Plate Data) ของมอเตอร์ไฟฟ้ากระแสตรง	36
2.39 การปรับไฟล์รีโอลัตเตทด้วยมือ	38
2.40 การควบคุมความเร็วของมอเตอร์โดยใช้ความต้านทาน	39
2.41 การควบคุมความเร็วโดยการแบ่งชด漉ค	39
2.42 การควบคุมความเร็วของมอเตอร์อนุกรมให้สูงกว่าความเร็วปกติ	40
2.43 การควบคุมความเร็วของมอเตอร์ให้ต่ำกว่าความเร็วปกติ	40
2.44 การปรับความเร็วของมอเตอร์แบบขนานให้มีความเร็วสูงกว่าปกติโดยใช้รีโอลัตเตท	41
2.45 การปรับความเร็วของมอเตอร์แบบขนานให้มีความเร็วต่ำกว่าปกติโดยใช้รีโอลัตเตท	41
3.1 แหล่งจ่ายไฟ (Power Supply)	43
3.2 DC โวลต์มิเตอร์และแอมมิเตอร์	43
3.3 DC มอเตอร์/ Jen เนอร์เตอร์	44
3.4 อิเล็กโทรไดนาโนมิเตอร์	44
3.5 เครื่องวัดความเร็วรอบ (Tachometer)	44
3.6 สายต่อวงจร (Connection Lead)	44
3.7 สายพาน (Timing Belt)	44

สารบัญรูป(ต่อ)

รูปที่	หน้า
3.8 โหลด (Resistive Load).....	44
3.9 การต่อมอเตอร์กระแสตรงแบบอนุกรม	45
3.10 การต่อมอเตอร์กระแสตรงแบบขนาน	46
3.11 การต่อมอเตอร์กระแสตรงแบบผสม	48
3.12 การต่อเครื่องกำนันดิไฟฟ้าแบบอนุกรม ขณะไม่จ่ายโหลด	50
3.13 การต่อเครื่องกำนันดิไฟฟ้ากระแสตรงแบบอนุกรม ขณะจ่ายโหลด	51
3.14 การต่อเครื่องกำนันดิไฟฟ้าแบบขนาน ขณะไม่จ่ายโหลด	52
3.15 การต่อเครื่องกำนันดิไฟฟ้ากระแสตรงแบบขนาน ขณะจ่ายโหลด	53
3.16 การต่อเครื่องกำนันดิไฟฟ้าแบบผสม ขณะไม่จ่ายโหลด	55
3.17 การต่อเครื่องกำนันดิไฟฟ้ากระแสตรงแบบผสม ขณะจ่ายโหลด	56
4.1 ไดอะแกรมการเขื่อนต่อของมอเตอร์.....	59
4.2 การต่อมอเตอร์ไฟฟ้ากระแสตรงแบบอนุกรม.....	59
4.3 กราฟความสัมพันธ์ระหว่างแรงบิดกับกระแสอาร์เมเนจอร์.....	63
4.4 กราฟความสัมพันธ์ระหว่างความเร็วรอบกับกระแสอาร์เมเนจอร์	63
4.5 กราฟความสัมพันธ์ระหว่างความเร็วรอบกับแรงบิด	64
4.6 กราฟความสัมพันธ์ระหว่างความเร็วรอบกับกำลังไฟฟ้าออก.....	65
4.7 กราฟความสัมพันธ์ระหว่างประสิทธิภาพกับกำลังไฟฟ้าออก 180, 220, 260 V	65
4.8 การต่อมอเตอร์ไฟฟ้ากระแสตรงแบบขนาน	66
4.9 กราฟความสัมพันธ์ระหว่างแรงบิดกับกระแสอาร์เมเนจอร์.....	70
4.10 กราฟความสัมพันธ์ระหว่างความเร็วรอบกับกระแสอาร์เมเนจอร์	70
4.11 กราฟความสัมพันธ์ระหว่างความเร็วรอบกับแรงบิด	71
4.12 กราฟความสัมพันธ์ระหว่างความเร็วรอบกับกำลังไฟฟ้าออก.....	72
4.13 กราฟความสัมพันธ์ระหว่างประสิทธิภาพกับกำลังไฟฟ้าออก 180, 220, 260 V	72
4.14 การต่อมอเตอร์ไฟฟ้ากระแสตรงแบบผสม	73
4.15 กราฟความสัมพันธ์ระหว่างแรงบิดกับกระแสอาร์เมเนจอร์.....	77
4.16 กราฟความสัมพันธ์ระหว่างความเร็วรอบกับกระแสอาร์เมเนจอร์	77
4.17 กราฟความสัมพันธ์ระหว่างความเร็วรอบกับแรงบิด	78
4.18 กราฟความสัมพันธ์ระหว่างความเร็วรอบกับกำลังไฟฟ้าออก.....	79

สารบัญรูป(ต่อ)

รูปที่	หน้า
4.19 กราฟความสัมพันธ์ระหว่างประสิทธิภาพกับกำลังไฟฟ้าขาออก 180, 220, 260 V	79
4.20 ไดอะแกรมการเชื่อมต่อของเครื่องกำเนิดไฟฟ้า.....	80
4.21 การต่อเครื่องกำเนิดไฟฟ้าแบบอนุกรณ ขณะไม่จ่ายโหลด	81
4.22 กราฟความสัมพันธ์ระหว่างความเร็วรอบกับแรงเคลื่อนไฟฟ้า	82
4.23 การต่อเครื่องกำเนิดไฟฟ้าแบบอนุกรณ ขณะจ่ายโหลด	82
4.24 กราฟความสัมพันธ์กระแสกับแรงเคลื่อนไฟฟ้า (ที่ระดับโหลดต่างๆ).....	83
4.25 การต่อเครื่องกำเนิดไฟฟ้าแบบขาน ขณะไม่จ่ายโหลด	84
4.26 กราฟความสัมพันธ์ระหว่างกระแสกับแรงเคลื่อนไฟฟ้า.....	85
4.27 กราฟความสัมพันธ์ระหว่างความเร็วรอบกับแรงเคลื่อนไฟฟ้า	85
4.28 กราฟความสัมพันธ์ระหว่างกระแสกับแรงเคลื่อนไฟฟ้า.....	86
4.29 การต่อเครื่องกำเนิดไฟฟ้าแบบขาน ขณะจ่ายโหลด	87
4.30 กราฟความสัมพันธ์ระหว่างแรงคันกับกระแสไฟฟ้า	88
4.31 กราฟความสัมพันธ์ระหว่างกระแสกับแรงคันไฟฟ้า	88
4.32 กราฟความสัมพันธ์ระหว่างกระแสกับแรงเคลื่อนไฟฟ้า (ที่กระแสไฟฟ้าต่างๆ).....	89
4.33 การต่อเครื่องกำเนิดไฟฟ้าแบบผสม ขณะไม่จ่ายโหลด	90
4.34 กราฟความสัมพันธ์ระหว่างกระแสอาร์เมจเจอร์กับแรงเคลื่อนไฟฟ้า	91
4.35 กราฟความสัมพันธ์ระหว่างความเร็วรอบกับแรงเคลื่อนไฟฟ้า	91
4.36 การต่อเครื่องกำเนิดไฟฟ้าแบบผสม ขณะจ่ายโหลด.....	92
4.37 กราฟความสัมพันธ์ระหว่างแรงเคลื่อนไฟฟ้ากับกระแสไฟฟ้า	93
4.38 กราฟความสัมพันธ์ระหว่างกระแสอาร์เมจเจอร์กับแรงเคลื่อนไฟฟ้า	94

บทที่ 1

บทนำ

1.1 ที่มาและความสำคัญของโครงการ

เนื่องจากปัจจุบันมีการใช้มอเตอร์เป็นส่วนประกอบในอุปกรณ์ต่างๆ มากมาย เช่น รถยนต์ พัดลม และสายพานลำเลียง เป็นต้น โดยมอเตอร์ที่ใช้งานส่วนใหญ่เป็นมอเตอร์ไฟฟ้ากระแสตรง ซึ่งการต่อใช้ งานแต่ละแบบจะมีลักษณะการทำงานที่ต่างกันออกไป โดยการทำงานนั้นมอเตอร์จะมีการทำงานที่ เหมาะสมกับงานและมีประสิทธิภาพในการทำงานมากหรือน้อยไม่เท่ากัน ขึ้นอยู่กับลักษณะงานที่ต้อง ใช้งาน ซึ่งการต่อของมอเตอร์ไฟฟ้ากระแสตรงมีทั้งแบบอนุกรม ขนาน และผสม ซึ่งจะมีลักษณะการทำงาน ที่ต่างกัน

โครงการนี้จึงศึกษาลักษณะการทำงานของมอเตอร์ไฟฟ้ากระแสตรง ใน การต่อใช้งานแบบ ต่างๆ เพื่อจะได้รู้ถึงความสามารถและคุณสมบัติในการทำงานของมอเตอร์ไฟฟ้ากระแสตรง โครงการ นี้จึง ได้เปรียบเทียบลักษณะทางไฟฟ้าในรูปแบบต่างๆ เพื่อเป็นแนวทางในการใช้งานที่เหมาะสมและทำ ให้มีประสิทธิภาพในการทำงานมากขึ้น หรือปรับปรุงการใช้งานให้ตรงกับลักษณะการต่อของมอเตอร์ ไฟฟ้ากระแสตรง

โครงการนี้จะมุ่งเน้นเรื่องการศึกษาลักษณะของมอเตอร์ตอนทำงานเป็นของมอเตอร์ไฟฟ้า กระแสตรงและตอนทำงานเป็นเครื่องกำเนิดไฟฟ้ากระแสตรง

1.2 วัตถุประสงค์ของโครงการ

1. เพื่อศึกษาการทำงานของมอเตอร์ไฟฟ้ากระแสตรงในการต่อแบบต่างๆ
2. เพื่อศึกษาการทำงานของมอเตอร์ไฟฟ้ากระแสตรงในระดับแรงดันต่างๆ
3. เพื่อศึกษาการทำงานของเครื่องกำเนิดไฟฟ้ากระแสตรงในการต่อแบบต่างๆ
4. เพื่อศึกษาการทำงานของเครื่องกำเนิดไฟฟ้ากระแสตรงในการจ่ายโหลดและไม่จ่ายโหลด
5. เพื่อนำความรู้ที่ได้ไปเปรียบเทียบลักษณะการทำงานของมอเตอร์และเครื่องกำเนิดไฟฟ้า กระแสตรง

1.3 ขอบข่ายของโครงการ

1. ศึกษาการทำงานของมอเตอร์ไฟฟ้ากระแสสลับในการต่อแบบอนุกรม แบบขนาน และแบบผสม (Cumulative)
2. ศึกษาการทำงานของมอเตอร์ไฟฟ้ากระแสสลับในระดับแรงดัน 180 V, 220 V และ 260 V
3. ศึกษาการทำงานของเครื่องกำเนิดไฟฟ้ากระแสสลับในการต่อแบบอนุกรม แบบขนาน และแบบผสม(Cumulative)
4. ศึกษาการทำงานของเครื่องกำเนิดไฟฟ้ากระแสสลับในการจ่ายโหลดและไม่จ่ายโหลด

1.4 ขั้นตอนการดำเนินงาน

1. ศึกษาข้อมูลและลักษณะการทำงานของมอเตอร์และเครื่องกำเนิดไฟฟ้ากระแสสลับ
2. ออกรูปแบบและทดลองการทำงานของมอเตอร์และเครื่องกำเนิดไฟฟ้ากระแสสลับ
3. บันทึกและวิเคราะห์ผลการทดลอง
4. สรุปผลการทดลอง

1.5 ตารางการดำเนินงาน

กิจกรรม	ปี 2551			ปี 2552	
	พ.ย.	ธ.ค.	ม.ค.	ก.พ.	มี.ค.
1. หาหัวข้อโครงการที่สนใจ	↔				
2. ศึกษาข้อมูลและลักษณะการทำงานของมอเตอร์และเครื่องกำเนิดไฟฟ้ากระแสสลับ		↔			
3. ออกรูปแบบและทดลองการทำงานของมอเตอร์และเครื่องกำเนิดไฟฟ้ากระแสสลับ			↔	↔	
4. วิเคราะห์และสรุปผลการทดลอง				↔	↔
5. จัดทำรายงาน				↔	↔

1.6 ผลที่คาดว่าจะได้รับ

1. มีความรู้ความเข้าใจเกี่ยวกับลักษณะการทำงานของนอตอร์ไฟฟ้ากระแสตรง
2. มีความรู้ความเข้าใจเกี่ยวกับลักษณะการทำงานของเครื่องกำเนิดไฟฟ้ากระแสตรง
3. นำความรู้ที่ได้ไปพัฒนาและประยุกต์ใช้งานต่อไป

1.7 งบประมาณที่ใช้

1. ค่าเอกสารประกอบการทำโครงการ	300 บาท
2. ค่าจัดทำรูปเล่น	1,500 บาท
3. ค่าอุปกรณ์อิเล็กทรอนิกส์	200 บาท
รวมเป็นเงิน	2,000 บาท
(สองพันบาทถ้วน)	

(นายเหตุ ถัวเฉลี่ยทุกรายการ)



บทที่ 2

หลักการและทฤษฎี

2.1 นอเตอร์ไฟฟ้ากระแสตรง (Direct Current Motor)

นอเตอร์ไฟฟ้ากระแสตรง เป็นต้นกำลังขับเคลื่อนที่สำคัญอย่างหนึ่งในโรงงานอุตสาหกรรม เพราะมีคุณสมบัติที่ดีเด่นในด้านการปรับความเร็วได้ดีแม้ความเร็วต่ำสุดจนถึงสูงสุด นิยมใช้กันมาก ในโรงงานอุตสาหกรรม เช่น โรงงานทอผ้า โรงงานเส้นใยโพลีเอสเทอร์ โรงงานกลุ่มโลหะหรือให้เป็น ต้นกำลังในการขับเคลื่อนรถไฟฟ้า เป็นต้น ในการศึกษาเกี่ยวกับนอเตอร์ไฟฟ้ากระแสตรงจึงควรรู้จัก อุปกรณ์ต่าง ๆ ของนอเตอร์ไฟฟ้ากระแสตรงและเข้าใจถึงหลักการการทำงานของนอเตอร์ไฟฟ้า กระแสตรงเบื้องต้น ๆ



รูปที่ 2.1 นอเตอร์ไฟฟ้ากระแสตรง [4]

2.2 โครงสร้างของนอเตอร์ไฟฟ้ากระแสตรง

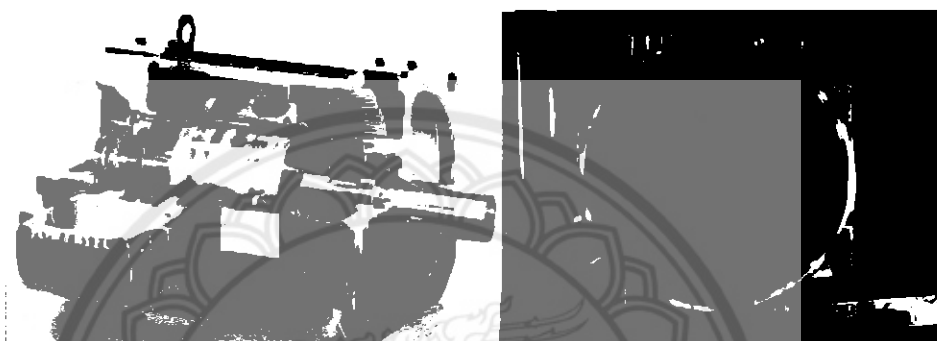
โครงสร้างของนอเตอร์ไฟฟ้ากระแสตรงประกอบด้วยส่วนใหญ่ ๆ 2 ส่วน กือ ส่วนที่อยู่กับที่ และส่วนที่เคลื่อนที่ มีรายละเอียดดังนี้

2.2.1 ส่วนที่อยู่กับที่ (Stationary Part)

ส่วนที่อยู่กับที่เป็นชิ้นส่วนหนึ่งของนอเตอร์ไฟฟ้ากระแสตรงที่ไม่หมุน ประกอบด้วย

1) โครง หรือเปลือก (Yoke or Frame)

โครง หรือเปลือก ส่วนมากทำจากเหล็กหดต่อ หรือวัสดุที่เป็นสารแม่เหล็ก ทำหน้าที่ยึดขั้วแม่เหล็ก ส่วนประกอบรวม และเป็นทางเดินของเส้นแรงแม่เหล็ก (Magnetic Circuit) ดังแสดงในรูปที่ 2.2



รูปที่ 2.2 โครง หรือเปลือก [5]

2) ขั้วแม่เหล็ก (Pole Shoes)

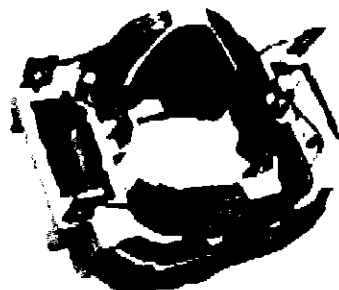
โดยทั่วไปขั้วแม่เหล็กจะทำจากแผ่นเหล็กบางๆ (Laminated Sheet Steel) อัดซ้อนเข้าด้วยกัน แต่ละแผ่นจะเคลือบด้วยชั้นวน ลักษณะของขั้วแม่เหล็ก แสดงในรูปที่ 2.3 จะนำไปใช้เข้ากับโครง



รูปที่ 2.3 ลักษณะของขั้วแม่เหล็ก [6]

3) ขดลวดสนาม (Field Winding)

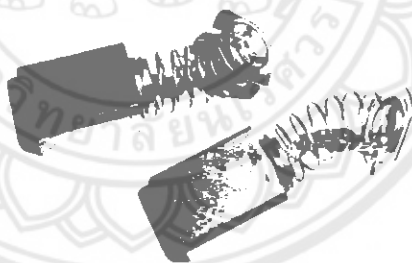
ขดลวดสนามจะพันไว้รอบขั้วแม่เหล็ก ทำหน้าที่สร้างเส้นแรงแม่เหล็ก ขดลวดสนามมี 2 ชนิด คือ ขดลวดขนาน (Shunt Winding) จะพันด้วยลวดเดี่ยวเพื่อความต้านทานสูง และขดลวดอนุกรม (Series Winding) จะพันด้วยขดลวดเดี่ยวให้ความต้านทานต่ำ ขดลวดทั้งสองจะต้องพันในทิศเดียวกัน



รูปที่ 2.4 ขดลวดพันอยู่รอบขั้วแม่เหล็ก [7]

4) แปรงถ่านและแบริ่ง (Brushes and Bearing)

แปรงถ่านทำจากถ่านอัคแน่น มีลักษณะเป็นแท่งสี่เหลี่ยมผืนผ้าบรรจุอยู่ในช่องถ่านและถูกกัดดับศวยสปริงให้สัมผัสกับคอมมิวเตอร์ต่อต่อเวลา ทำหน้าที่เป็นทางเดินไฟฟ้าจากคอมมิวเตอร์ไปยังวงจรภายในของ ซองถ่านจะถูกบีบติดอยู่กับฝาครอบ ส่วนแบริ่งจะซึ่ดติดอยู่ที่ฝาครอบทั้งสองด้านของนอเตอร์ไฟฟ้าทำหน้าที่รับน้ำหนักรวมที่ได้รับจากตัวหมุนและช่วยลดแรงเสียดทานที่เพดาน ขณะ-arm-exchangeหมุน แสดงในรูปที่ 2.5



รูปที่ 2.5 แปรงถ่าน [8]

5) ฝาครอบ (End Plate)

ฝาครอบ ทำจากเหล็กหนา ทำหน้าที่ปิดช่องถ่านและรองรับเพลาของส่วนที่หมุน

2.2.2 ส่วนที่เคลื่อนที่ (Rotor)

ส่วนที่เคลื่อนที่ประกอบด้วย



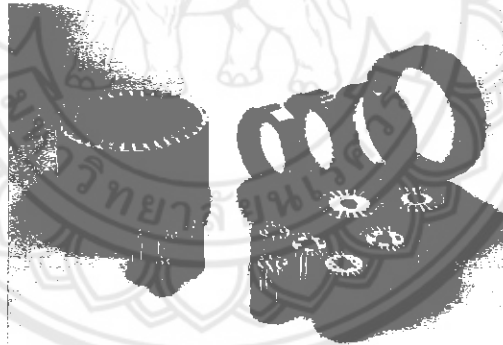
รูปที่ 2.6 ส่วนที่เคลื่อนที่ (Rotor) [7]

1) แกนพدا (Shaft)

เป็นตัวสำหรับยึดคงมิวนิวเตอร์ และยึดแกนเหล็กอาร์เมจอร์ ประกอบเป็นตัวโรเตอร์ แกนเหล่านี้จะวางอยู่บนเบริ่ง เพื่อสนับสนุนให้หมุนอยู่ในแนวเดียว ไม่มีการสั่นสะเทือนได้

2) แกนเหล็กอาร์เมจอร์ (Armature Core)

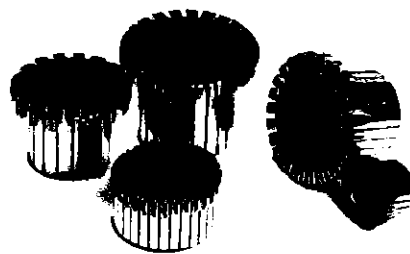
แกนเหล็กอาร์เมจอร์ทำจากแผ่นเหล็กบางๆ ต้านทานไฟฟ้าด้วยจำนวนอัตราชั้อนเข้าด้วยกันเป็นรูปทรงกระบอกและทำเป็นตัวถือ (Slot) สำหรับบรรจุคดลาร์เมจอร์ ที่แกนเหล็กจะจะเจาะไว้เพื่อช่วยในการระบายความร้อนอันเนื่องมาจากการสูญเสียในขดลวดและแกนเหล็ก



รูปที่ 2.7 แกนเหล็กอาร์เมจอร์ [9]

3) คอมมิวเตเตอร์ (Commutator)

คอมมิวเตเตอร์ประกอบด้วยชุดของแครงหกชิ้น อัคเซียด้วยกันเป็นรูปทรงกระบอกระหว่างหกชิ้น แต่ละชิ้นจะคั้นด้วยฉนวนหนา ยึดติดไว้บนแพลต้าเดียวกันกับแกนเหล็กอาร์เมจอร์ ทำหน้าที่เปลี่ยนไฟฟ้ากระแสสลับที่เกิดขึ้นในขดลาร์เมจอร์ให้เป็นไฟฟ้ากระแสตรง



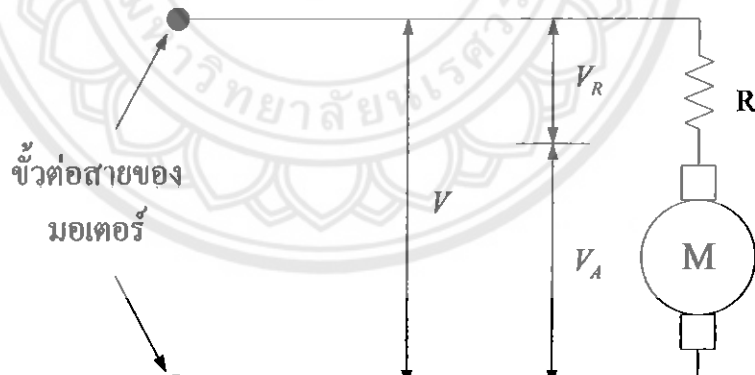
รูปที่ 2.8 คอมมิวเตเตอร์ [10]

4) ขดลวดอาร์เมจเจอร์ (Armature Winding)

การพันขดลวดอาร์เมจเจอร์ นิยมพันเป็นแบบแลป (Lap) หรือเวฟ (Wave) ปกติของขดลวดจะถูกนำไปต่อเข้ากับคอมมิวเตเตอร์ ขดลวดนี้จะบรรจุในสีอ้อทของอาร์เมจเจอร์

2.3 คุณสมบัติของมอเตอร์ไฟฟ้ากระแสสลับ

ในการอธิบายคุณสมบัติของมอเตอร์ของกระแสสลับให้จะเอื้อมน้ำดองพิจารณาแรงดันที่ป้อนและความต้านทานของโรเตอร์ด้วย วงจรภายในของมอเตอร์เป็นไปได้ดังรูปที่ 2.9



รูปที่ 2.9 วงจรภายในของมอเตอร์ไฟฟ้ากระแสสลับ

โดยสมมุติให้ทุนโรเตอร์ไม่มีความต้านทานอยู่เลย อนุกรมกับความต้านทานซึ่งในที่นี่คือความต้านทานของขดลวดนั่นเอง แรงดันที่ข้อต่อสายของมอเตอร์ก็คือผลรวมระหว่างแรงดันที่ทุนโรเตอร์ (V_A) และแรงดันตกคร่อมความต้านทานขดลวด (V_R)

แรงดัน V_A ถูกเรียกว่า แรงคลื่นเหนี่ยวนำป้อนกลับ (Back EMF) ซึ่งเกิดขึ้นในโรเตอร์ขณะที่ หมุนแรงดันที่เกิดขึ้นนี้เป็นไปตามกฎของการเหนี่ยวนำแม่เหล็กไฟฟ้าจากการเคลื่อนที่ของตัวนำใน สนามแม่เหล็กสัมพันธ์กับแรงคลื่นเหนี่ยวนำแม่เหล็ก และความเร็วของการเคลื่อนที่ของตัวนำใน แรงดันที่เกิดขึ้นจะมีข้อต่อ กันข้ามกับแรงดันที่ป้อนให้กับมอเตอร์ และเปลี่ยนตรงกับความเร็วในการ หมุน ผลรวมของแรงดันที่ทุนของโรเตอร์ V_A และแรงดันตกคร่อม V_R ต้องเท่ากับแรงดันที่ป้อนให้กับ มอเตอร์ V

$$V = V_A + V_R \quad (V) \quad (2.1)$$

เมื่อพิจารณาตั้งแต่เมื่อมอเตอร์หยุดนิ่งความเร็วมีค่าเป็นศูนย์ ดังนั้น $V_A = 0$, $V_R = V$ กระแสที่อยู่ ในมอเตอร์หาได้จาก

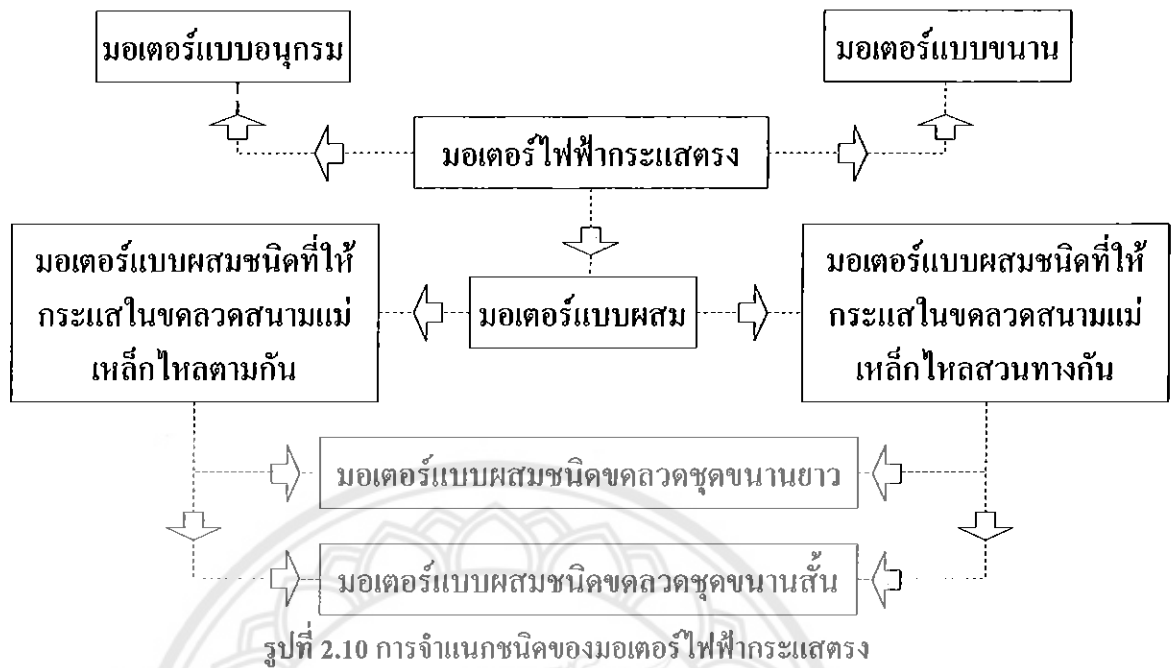
$$I = V_R / R \quad (A) \quad (2.2)$$

เมื่อมอเตอร์เริ่มหมุนจะมีความเร็ว และ V_A เพิ่มขึ้นเป็นส่วนของความเร็ว V_R ซึ่งมีค่าความ แตกต่างระหว่าง V_A และ V จะเริ่มลดลง กระแส I ที่จะเริ่มลดลงเช่นกันขณะที่มอเตอร์ยังมีความเร็ว อยู่ ความเร็วจะเพิ่มขึ้น แรงบิดจะลดลงจนกว่าจะถึงจุดของแรงบิดของมอเตอร์รับภาระ โหลด ได้สมดุล พอดี ขณะที่มอเตอร์ไม่มีโหลดและหมุนอย่างอิสระจะมีเพียงค่าความผิดของแบร์เซิงและแรงต้านอากาศ ทำให้ V_A เกือนเท่ากับค่า V

2.3.1 ชนิดของมอเตอร์ไฟฟ้ากระแสตรง (Types of Motor)

มอเตอร์ไฟฟ้ากระแสตรงสามารถจำแนกชนิดออกได้ทั้งตามลักษณะของการต่อคลาวด์ สนามแม่เหล็ก (หรือการพันขดลวดสนามแม่เหล็ก) และการ ไฟดูองกระแสผ่านขดลวดสนามแม่เหล็ก ดังนี้

- 1) มอเตอร์แบบอนุกรม (Series Motor)
- 2) มอเตอร์แบบขนาน (Shunt Motor)
- 3) มอเตอร์แบบผสม (Compound Motor)



1) มอเตอร์ไฟฟ้ากระแสตรงแบบอนุกรม (Series Motor)

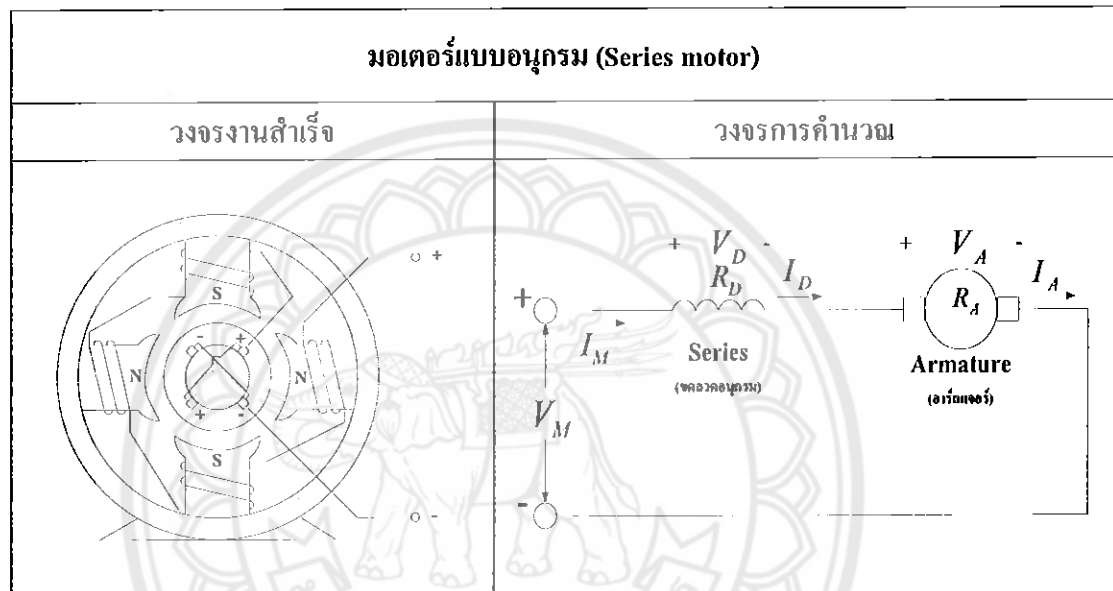
คือมอเตอร์ที่ต่อขดลวดสนามแม่เหล็กอนุกรมกับอาร์เมเจอร์ของมอเตอร์ชนิดนี้ว่า ซีรีส์ฟิลด์ (Series Field) มีคุณลักษณะที่ดีคือ ให้แรงบิดสูง นิยมใช้เป็นต้นกำลังของรถไฟฟ้า รถยกของ เครื่องไฟฟ้า ความเร็วของมอเตอร์อนุกรมเมื่อ ไม่มีโหลดความเร็วจะสูงมาก แต่ถ้ามีโหลดมาต่อ ความเร็ว ก็จะลดลงตามโหลด โหลดมากหรือทำงานหนักความเร็วลดลง แต่ขดลวด ของมอเตอร์ไม่เป็นอันตราย จากคุณสมบัตินี้จึงนิยมนำมาใช้กับเครื่องใช้ไฟฟ้าในบ้านหลายอย่าง เช่น เครื่องดูดฝุ่น เครื่องผสมอาหาร ส่วนไฟฟ้า จักรยานผู้ชาย เครื่องปั๊มน้ำ เป็นต้น มอเตอร์กระแสตรงแบบอนุกรม ใช้งานหนักได้ดี เมื่อใช้งานหนักกระแสจะมาก ความเร็วจะลดลง เมื่อ ไม่มีโหลดมาต่อความเร็วจะสูงมากอาจเกิดอันตราย ได้ดังนั้นมีเริ่มต้นทุกมอเตอร์แบบอนุกรมจึงต้องมีโหลดมาต่ออยู่เสมอ



รูปที่ 2.11 วงจรของมอเตอร์ไฟฟ้ากระแสตรงแบบอนุกรม

ลักษณะสร้าง : มอเตอร์แบบอนุกรมประกอบด้วยเดลต้าและสี่เหลี่ยมที่มีความต้านทานต่ำ พนักดึงของคลาวด์ทอยดังเด่นในลูปบันไดขึ้นไปตามขั้วแม่เหล็กจำนวนหนึ่งรอบ เช่นเดียวกับเดลต้าคลาวด์กระแสของแม่เหล็กที่ต่อเป็นอนุกรมกับอาร์เมจเจอร์และแรงดันเมน

ลักษณะงาน : ใช้หมุนขับงานที่ต้องการแรงบิดเริ่มทันที และความเร็วของเปลี่ยนแปลงตลอดเวลา เช่น รถไฟฟ้า รถราง รถยก เครื่อง สิ่ฟ์ คอมเพรสเซอร์ ฯลฯ



รูปที่ 2.12 มอเตอร์แบบอนุกรม

V_M = แรงดันเมน

ΔV = แรงดันตกคร่อมสายต่อเข้ามอเตอร์

V_D = แรงดันตกคร่อมเดลต้าคลาวด์อนุกรม

V_A = แรงดันตกคร่อมเดลต้าอาร์เมจเจอร์

I_M = กระแสลมอเตอร์

I_D = กระแสเดลต้าคลาวด์อนุกรม

I_A = กระแสอาร์เมจเจอร์

R_D = ความต้านทานเดลต้าคลาวด์อนุกรม

R_A = ความต้านทานอาร์เมจเจอร์

R_L = ความต้านทานของสายต่อเข้ามอเตอร์

P_M = กำลังของมอเตอร์

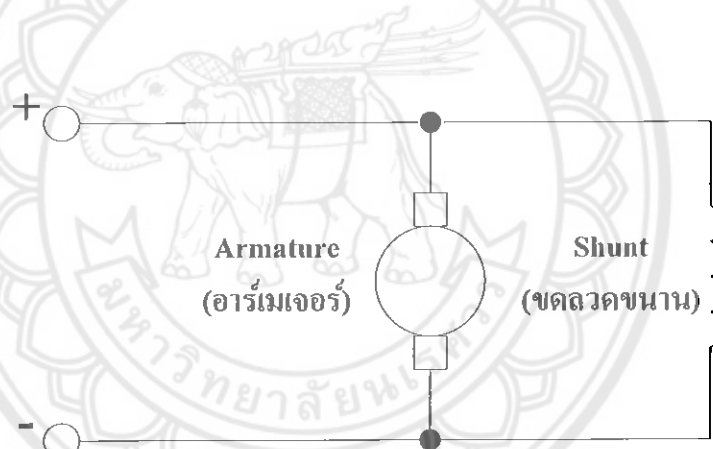
$$I_A = I_D = I_M \quad (2.3)$$

$$V_D = I_D \times R_D = I_M \times R_D = I_A \times R_D \quad (2.4)$$

$$V_A = I_A \times R_A = I_D \times R_A = I_M \times R_A \quad (2.5)$$

2) มอเตอร์ไฟฟ้ากระแสตรงแบบขานาน (Shunt Motor)

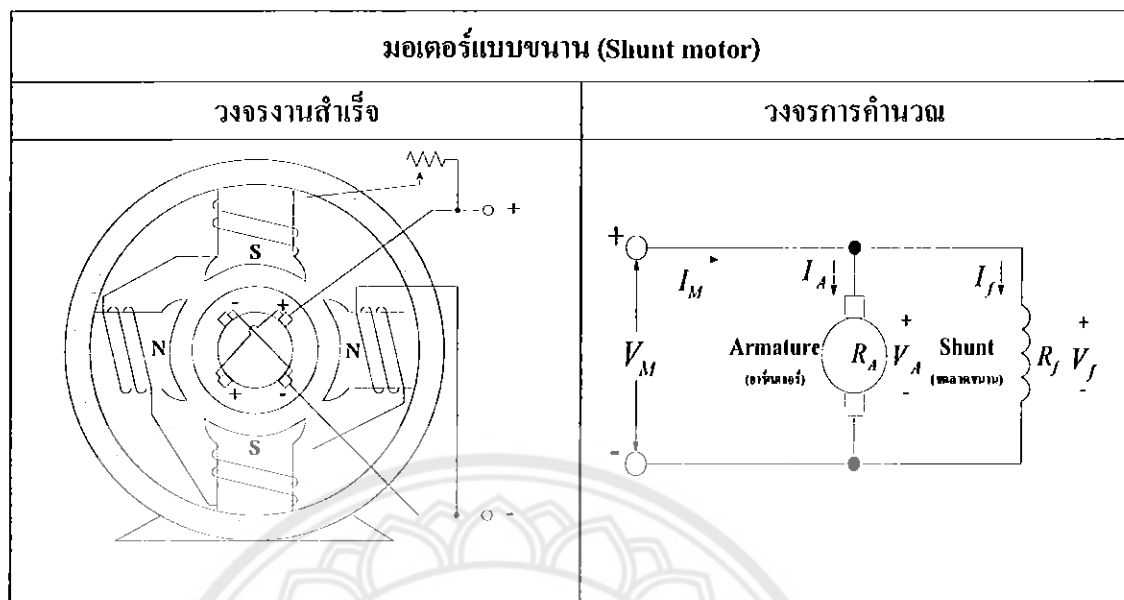
มอเตอร์ไฟฟ้ากระแสตรงแบบขานานนี้ ขาดลวดสนามแม่เหล็ก (Field Coil) จะต้องขานานกับขาดลวดด้ามเมจิอร์ มอเตอร์ไฟฟ้ากระแสตรงแบบขานานนี้มีคุณลักษณะ มีความเร็วคงที่ แรงบิดเริ่มหมุนต่ำ แต่ความเร็ว robong ที่ขันทั้งมอเตอร์ส่วนมากเหมาะกับงาน เช่น พัดลมเพราะพัดลมต้องการความเร็วคงที่ และต้องการการเปลี่ยนความเร็วได้ง่าย



รูปที่ 2.13 วงจรของมอเตอร์ไฟฟ้ากระแสตรงแบบขานาน

ลักษณะสร้าง : ประกอบด้วยขาดลวดสนามแม่เหล็กที่มีความต้านทานก่อนข้างสูง ซึ่งใช้ลวดทองแดงเด็นเล็กๆ พันบนแกนข้ามแม่เหล็ก helyar รอบ เช่นเดียวกับขาดลวดแรงดัน (Voltage or Potential Coil) ของโวลต์มิเตอร์ ต้องขานานกับอาร์เมจิอร์ และต้องอนุกรมกับตัวต้านทานที่ปรับค่าได้ (เรียวสเตต : Rheostat) แล้วต้องขานานกับสายเมน

ลักษณะงาน : เป็นมอเตอร์ที่ใช้หมุนขับเคลื่อนจักรกลที่ต้องการความเร็ว robong ที่



รูปที่ 2.14 มอเตอร์แบบขาน

 V_M = แรงดันแม่น V_f = V = แรงดันวัสดุที่ข้าวของเครื่อง V_A = แรงดันตกกรองขดลวดอาร์เมเจอร์ ΔV = แรงดันตกกรองสายต่อเข้ามอเตอร์ P_M = กำลังของมอเตอร์ I_M = กระแสแม่เหล็ก I_f = กระแสขดลวดสนามแม่เหล็ก I_A = กระแสอาร์เมเจอร์ R_L = ความต้านทานของสายต่อเข้ามอเตอร์ $R_f = R_E + R_h$ = ความต้านทานของขดลวดขันนาน R_A = ความต้านทานอาร์เมเจอร์

$$I_A = I_M - I_f \quad (2.6)$$

$$I_f = V_f / R_f = (V_M - \Delta V) / (R_E + R_h) \quad (2.7)$$

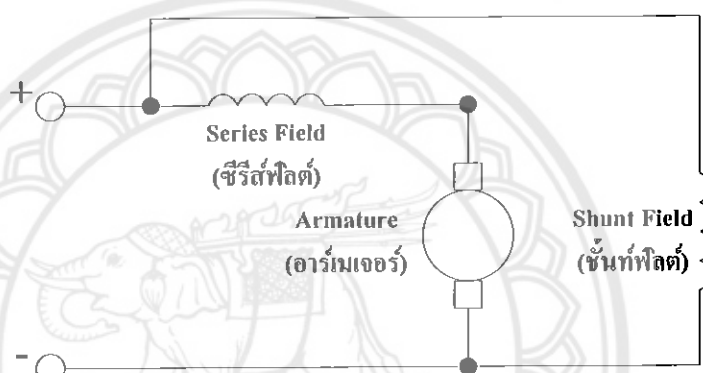
$$V_A = I_A \times R_A = R_A (I_M - I_f) \quad (2.8)$$

3) มอเตอร์ไฟฟ้ากระแสสลับแบบผสม (Compound Motor)

มอเตอร์ไฟฟ้ากระแสสลับแบบผสมนี้ จะนำคุณลักษณะที่ดีของมอเตอร์ไฟฟ้ากระแสสลับ แบบขานาน และแบบอนุกรมมารวมกัน มอเตอร์ไฟฟ้ากระแสสลับแบบผสมมีคุณลักษณะพิเศษคือ มีแรงบิดสูง (High Starting Torque) แต่ความเร็วอ่อนลงที่ ตั้งแต่ยังไม่มีโหลดจนกระแท้มีโหลดเต็มที่

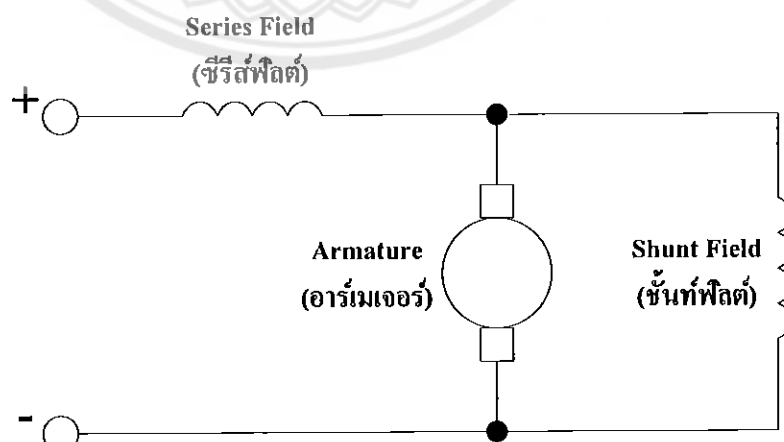
มอเตอร์ไฟฟ้าแบบผสมมีอยู่ 2 ชนิด คือ

3.1) มอเตอร์แบบผสมชนิดคิวเมลทิฟ (Cumulative Compound Motor) ใช้ต่อขดลวดแบบขานานกับอาร์เมเจอร์ ดังรูปที่ 2.15



รูปที่ 2.15 วงจรของมอเตอร์แบบผสมชนิดคิวเมลทิฟ

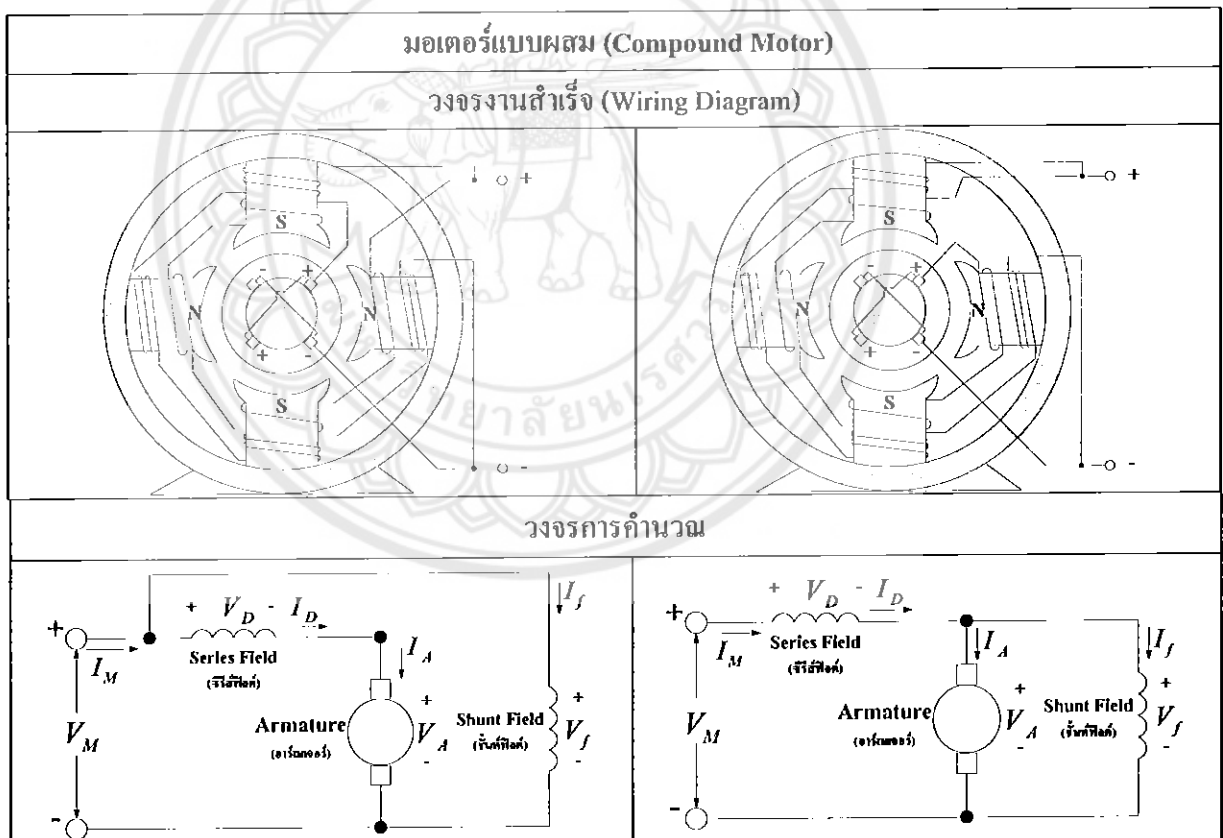
3.2) มอเตอร์แบบผสมชนิดคิฟเฟอร์เรนเชียล (Differential Compound Motor) ใช้ต่อขดลวดขานานกับขดลวดอนุกรมและขดลวดอาเมเจอร์ ดังรูปที่ 2.16



รูปที่ 2.16 วงจรของมอเตอร์แบบผสมชนิดคิฟเฟอร์เรนเชียล

ลักษณะสร้าง : เป็นการรวมมอเตอร์สองตัว คือมอเตอร์ขานกับมอเตอร์อนุกรมเข้าด้วยกัน ดังนี้มอเตอร์ที่สองจะขับเคลื่อนด้วยคลาดstaname แม่เหล็กสองชุด คือคลาดstaname แม่เหล็กชุดหนึ่งกับคลาดstaname แม่เหล็กชุดสองชุด ด้วยการหมุนของมอเตอร์ที่สองจะทำให้คลาดstaname แม่เหล็กชุดหนึ่งหมุนตามไปด้วย ลักษณะที่ทำให้staname แม่เหล็กมีทิศทางเดริมกันเรียกว่า มอเตอร์ชนิดคิวมูลทิฟ (Cumulative Compound Motor) ในทางตรงกันข้าม ถ้าพันขาดลาดในลักษณะที่ทำให้staname แม่เหล็กมีทิศทางหักล้างกัน เรียกว่า มอเตอร์ชนิดเดริฟเพอร์เซปติฟ (Differential Compound Motor)

ตักษณะงาน : เป็นมอเตอร์ที่ใช้หมุนขับงานที่ต้องการแรงบิดเริ่มหมุนสูง โดยไม่คำนึงถึงการเปลี่ยนแปลงของความเร็วรอบแต่อย่างใด และสามารถหมุนได้ด้วยความปลอกดักขยะหมุนตัวเปล่า เช่น ใช้หมุนขับเคลื่อนอัดแผ่นเหล็ก เครื่องยกล้อ เครื่องรีด เครื่องม้วน และเป็นมอเตอร์หมุนขับในเรื่องชุดแร่และอื่นๆ ฯลฯ



รูปที่ 2.17 มอเตอร์แบบผสม

รูปที่ 2.17 (ซ้าย) มอเตอร์แบบผสมชนิดคิวมูลทิฟ (Cumulative Compound Motor) ที่ให้กระแสในขดลวดสนามแม่เหล็กไหลในทิศทางเดียวกัน (ไฟลตามกันหรือไฟลทางเดียวกัน)

รูปที่ 2.17 (ขวา) มอเตอร์แบบผสมชนิดคิฟเฟอเรนเชียล (Differential Compound Motor) ที่ให้กระแสในขดลวดสนามแม่เหล็กไหลในทิศทางกลับกัน (ไฟลสวนทางกัน)

- มอเตอร์แบบผสมชนิดคิวมูลทิฟ

$$I_A = I_D = I_M - I_f \quad (2.9)$$

$$I_f = \frac{V_f}{R_f} = \frac{(V_M - \Delta V)}{(R_E + R_h)} \quad (2.10)$$

$$V_D = I_D \times R_D = I_A \times R_D = R_D(I_M - I_f) \quad (2.11)$$

$$V_A = I_A \times R_A = I_D \times R_A = R_A(I_M - I_f) \quad (2.12)$$

- มอเตอร์แบบผสมชนิดคิฟเฟอเรนเชียล

$$I_D = I_M \quad (2.13)$$

$$I_A = I_M - I_f = I_D - I_f \quad (2.14)$$

$$I_f = \frac{V_f}{R_f} / = \frac{(V_M - \Delta V - V_D)}{(R_E + R_h)} \quad (2.15)$$

$$V_A = I_A \times R_A = R_A(I_M - I_f) = R_A(I_D - I_f) \quad (2.16)$$

2.4 หลักการทำงานของมอเตอร์ไฟฟ้ากระแสตรง

เมื่อมีกระแสไฟฟ้าไหลผ่านเข้าไปยังขดลวดสนามแม่เหล็กจะทำให้เกิดสนามแม่เหล็กขึ้นซึ่งมีสัดส่วนของสนามแม่เหล็ก โดยแรงจะเกิดขึ้นเป็นมุ่งจากกับกระแสและสนามแม่เหล็ก ขณะที่ทิศทางของแรงกลับตรงกันข้ามกัน ถ้าหากกระแสของสนามแม่เหล็กไหลข้อนกลับจะทำให้เกิดการ

เปลี่ยนแปลงของกระแสและสนามแม่เหล็กเป็นผลทำให้ทิศทางของแรงเปลี่ยนไป ด้วยคุณสมบัตินี้ทำให้มอเตอร์กระแสตรงกลับทิศทางการหมุนได้สนามแม่เหล็กของมอเตอร์ส่วนหนึ่งเกิดขึ้นจากแม่เหล็กถาวรซึ่งจะถูกยกติดกับแผ่นแม่เหล็ก หรือเหล็กกล้า โดยปกติส่วนนี้จะเป็นส่วนที่ยึดติดอยู่กับที่และขาด漉ด เห็นได้ชัดเจนที่พื้นที่ที่เป็นแกนหมุนของมอเตอร์

- ตัวนำที่ทำให้กระแสไฟ流ทางเดียว กัน จะให้แรงดูดต่อ กัน และ
- ตัวนำที่ทำให้กระแสไฟ流สวนทางกัน จะให้แรงผลักต่อ กัน

แรงดูดและแรงผลักระหว่างตัวนำที่ทำให้กระแสไฟฟ้าไหลผ่าน คำนวณได้ตามสมการไฟฟ้าต่อไปนี้

$$F = \frac{2 \times 10^{-7} \times I_1 \times I_2 \times l}{a} \quad (N) \quad (2.17)$$

เมื่อ F = แรงดูดและแรงผลักต่อ กันระหว่างตัวนำ (นิวตัน : N)

I_1 และ I_2 = กระแสไฟฟ้าที่ไหลผ่านตัวนำทั้งสอง (แอมป์ : A)

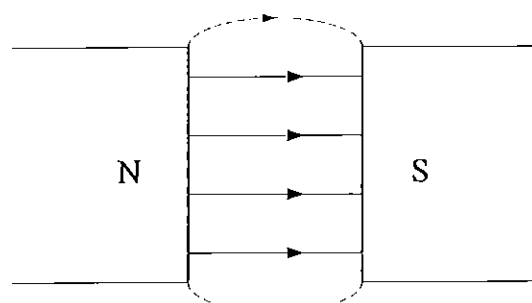
l = ความยาวตัวนำ (เมตร : m)

a = ระยะห่างระหว่างตัวนำ (เมตร : m)

2.4.1 แรงกระทำต่อตัวนำในสนามแม่เหล็ก

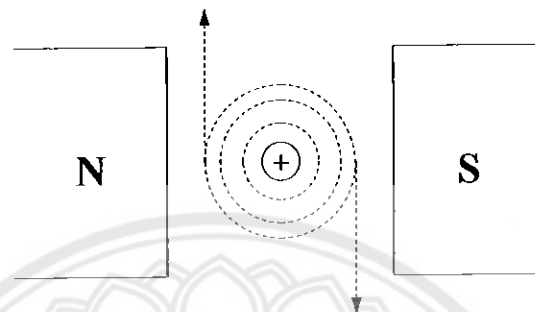
ตัวนำที่ทำให้กระแสไฟฟ้าไหลผ่าน เมื่อว่างไว้ในสนามแม่เหล็กจะให้กำเนิดแรงกระทำต่อตัวนำ ทำให้ตัวนำเคลื่อนที่ได้ในสนามแม่เหล็กตามลักษณะขึ้นตอนต่อไปนี้

เส้นแรงแม่เหล็กในช่องว่างอากาศระหว่างขั้วเหนือ ขั้วใต้ ϕ_{NS} เป็นเส้นตรงมีทิศทางผูกออกจากขั้วเหนือ (N) ผ่านช่องว่างอากาศ (Air-Gap) ไปยังขั้วใต้ (S) ตามรูปที่ 2.18 ดังนี้

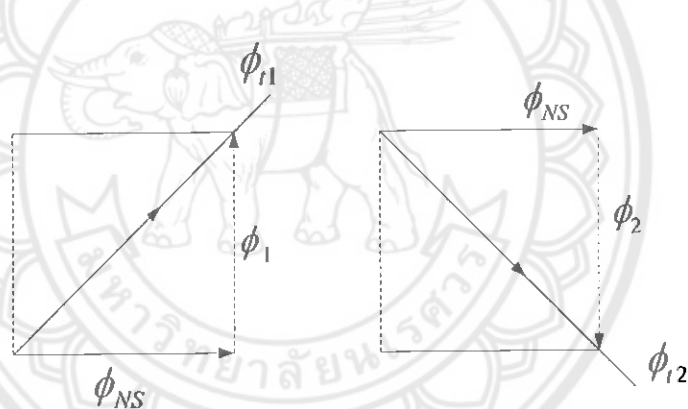


รูปที่ 2.18 เส้นแรงแม่เหล็กระหว่างขั้วเหนือ ขั้วใต้เป็นเส้นตรงผูกออกจากขั้วเหนือไปยังขั้วใต้

เส้นแรงแม่เหล็กที่ล้อมรอบด้านนำซึ่งให้กระแสไฟฟ้าไหลผ่านและวางไว้ในช่องว่างอากาศระหว่างขั้วแม่เหล็ก มีพิกัดเป็นไปตามกฎมือขวาของสกุร ทางซ้ายมือแม่เหล็ก ϕ_1 ผุ้งเขี้ยว และทางด้านข้ามมือเส้นแรงแม่เหล็ก ϕ_2 ผุ้งลง ตามรูปที่ 2.19



รูปที่ 2.19 เส้นแรงแม่เหล็กล้อมรอบด้านนำที่ให้กระแสไฟฟ้าไหลผ่านในสถานะแม่เหล็ก



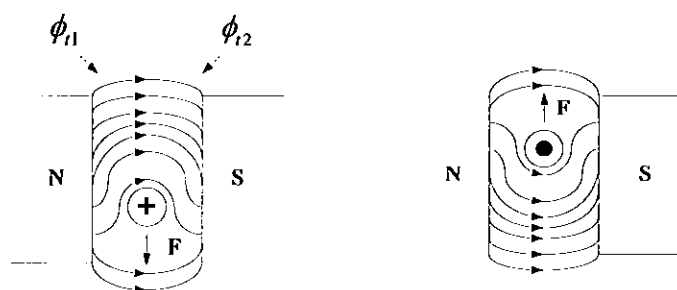
รูปที่ 2.20 เส้นแรงแม่เหล็กรวมระหว่าง ϕ_{NS} กับ ϕ_1 และ ϕ_{NS} กับ ϕ_2 ในช่องว่างอากาศระหว่างขั้วเหนือ ขั้วใต้

เส้นแรงแม่เหล็กรวมในช่องว่างอากาศระหว่างเส้นแรงแม่เหล็ก ϕ_{NS} กับเส้นแรงแม่เหล็ก ϕ_1 และ ϕ_2 ตามรูปที่ 2.20

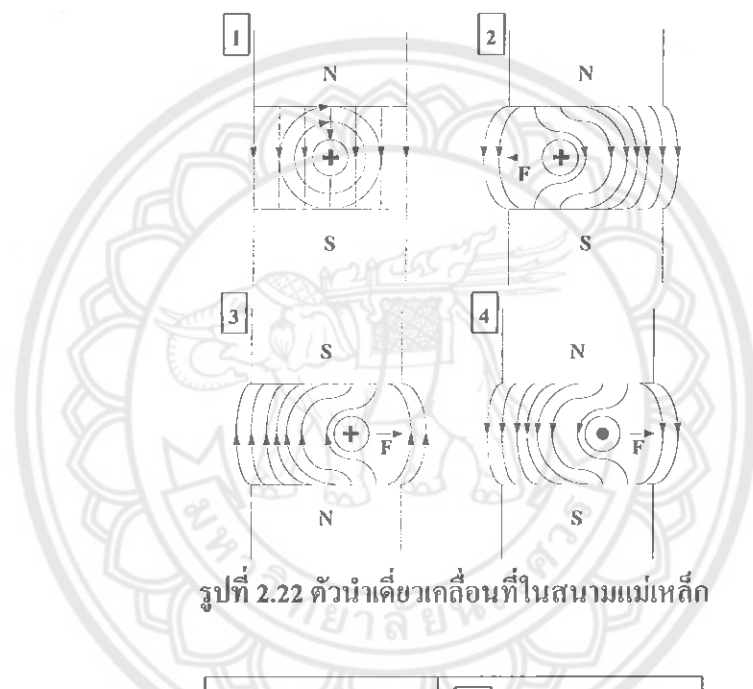
$$\phi_{t1} = \phi_{NS} + \phi_1 \quad (\text{ผลรวมทางเวกเตอร์}) \quad (2.18)$$

$$\phi_{t2} = \phi_{NS} + \phi_2 \quad (\text{ผลรวมทางเวกเตอร์}) \quad (2.19)$$

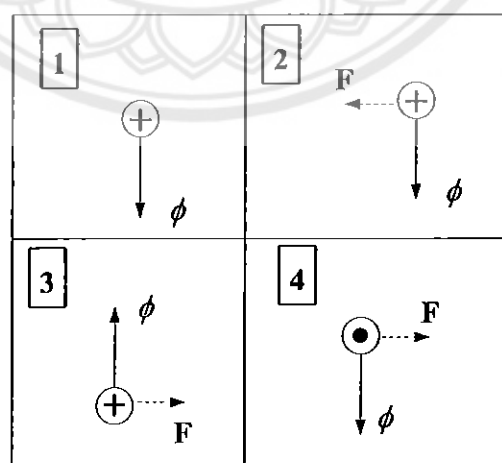
ผลของเส้นแรงแม่เหล็กรวมในช่องว่างอากาศระหว่างขั้วเหนือ ขั้วใต้ ผลักดันนำให้เคลื่อนที่ในสถานะแม่เหล็กตามรูปที่ 2.21 และมีพิกัดเป็นไปตามกฎมือซ้ายของเพล็มมิ่ง ดังนี้



รูปที่ 2.21 ตัวนำเคลื่อนที่ในสนามแม่เหล็กมีพิศทางเป็นไปตามกฎมือซ้ายของเพลมนิง



รูปที่ 2.22 ตัวนำเดี่ยวเคลื่อนที่ในสนามแม่เหล็ก



รูปที่ 2.23 รูปสัญลักษณ์แสดงความสัมพันธ์ระหว่างแรงผลักดันตัวนำกับเส้นแรงแม่เหล็ก และกระแสไฟฟ้าของตัวนำเดี่ยวในสนามแม่เหล็กตามรูปที่ 2.22

แรงผลักดันนำเดี่ยว : แรงผลักดันนำให้เกิดขึ้นที่ในสนามแม่เหล็กตามรูปที่ 2.22 และ 2.23 จำนวนมาก
หรือน้อยเพียงใดนั้นขึ้นอยู่กับความสัมพันธ์ระหว่างกระแสไฟฟ้าที่ไหลผ่านตัวนำใน
สนามแม่เหล็ก กับเส้นแรงแม่เหล็กในช่องว่างอากาศระหว่างขั้วเหนือ ขั้วใต้ ดังนี้

$$F = B \times I \times l \quad (N) \quad (2.20)$$

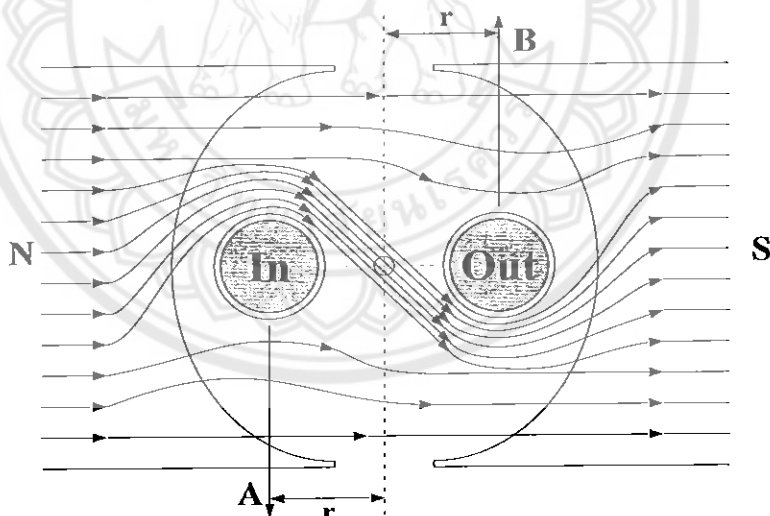
เมื่อ F = แรงผลักดันนำ (นิวตัน/ตัวนำ)

B = ความหนาแน่นของเส้นแรงแม่เหล็กในสนามแม่เหล็ก หน่วยเทสลา ($T : Wbm^2$)

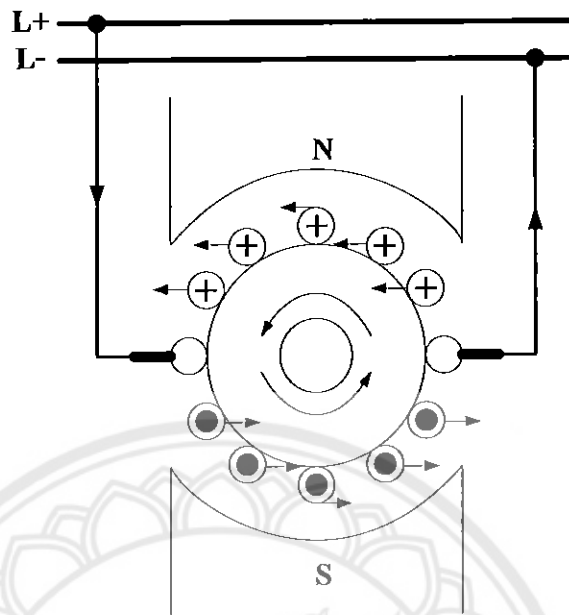
I = ความเขียวของตัวนำในสนามแม่เหล็ก (เมตร: m)

A = กระเส้นไฟฟ้าที่ไหลผ่านตัวนำในสนามแม่เหล็ก หน่วยแอมเปอร์ (A)

- แรงผลักดันนำทางด้วยตัวนำ : ตัวนำทุกตัวนำที่ให้กระแสไฟฟ้าไหลผ่านในสนามแม่เหล็ก จะให้เกิดแรงกระทำต่อตัวนำทุกตัวนำ ผลกระทบของการกระทำต่อทุกตัวนำ มากพอที่จะทำให้ตัวนำหมุนได้ในสนามแม่เหล็ก ตามรูปที่ 2.24 และ 2.25



รูปที่ 2.24 แรงผลักดันนำภายในสนามแม่เหล็ก (In : กระแสไฟลเข้า Out : กระแสไฟลออก)



รูปที่ 2.25 แรงผลักดันนำพาขยับตัวนำในสนามแม่เหล็ก

รูปที่ 2.24 เป็นตัวนำคู่ที่ให้กระแสไฟ流เข้าตัวนำทางด้านซ้ายมือ สวนทางด้านขวาเมื่อให้กระแสไฟ流ออก แรงผลักดันนำที่เกิดขึ้นก็ตาม จะได้ $F = 2 \times F = 2 \times B \times l \times I$ (N)

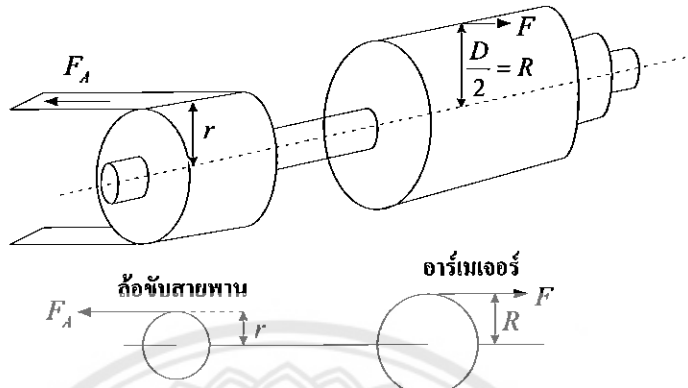
รูปที่ 2.25 เป็นตัวนำพาขยับตัวนำที่กำหนดทิศทางกระแสไฟฟ้าไฟ流เข้าตัวนำทางด้านบน และไฟ流ออกทางด้านล่าง แรงกระทำต่อทุกตัวนำ ทำให้ตัวนำหมุนได้ มีทิศทางเป็นไปตามกฎมือซ้ายของเฟลมมิง แดะแรงกระทำต่อตัวนำทั้งหมดคำนวณได้ตามสมการ ไฟฟ้าต่อไปนี้

$$F = B \times I \times l \times Z \quad (N) \quad (2.21)$$

I = กระแสที่ไหลผ่านตัวนำ (แอมป์เรีย/ตัวนำ)

Z = จำนวนตัวนำทั้งหมดในสนามแม่เหล็ก (ตัวนำ)

2.5 แรงบิดของตัวนำ



รูปที่ 2.26 แรงบิดของมอเตอร์และล้อขับสายพานสำหรับหมุนขับงาน

แรงบิด (Torque) คือ โมเมนต์หมุนหรือแรงบิด เป็นผลกูณระหว่างแรงกับแขนแรง ดังนี้ รูปที่-2.26 มอเตอร์มีขนาดรัศมีของอาเมเจอร์ $= D/2 = R$ หมุนขับล้อสายพานขนาดรัศมี r ด้วยแรงผลักตัวนำ F และแรงดึงสายพานสำหรับหมุนขับงาน F_A

ให้ T = แรงบิด : โมเมนต์หมุน หน่วย (N_m)

F = แรงดูดหรือแรงผลักตัวนำ (N)

R = รัศมีของอาเมเจอร์ : แขนแรง (m)

F_A = แรงดึงสายพานสำหรับหมุนขับงาน (N)

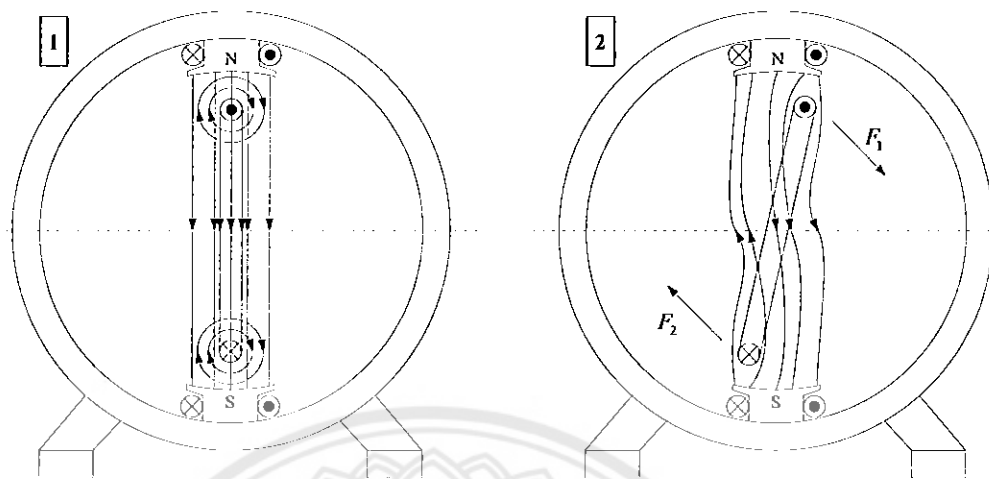
r = รัศมีของล้อขับสายพาน : แขนแรง (m)

ดังนี้ แรงบิดของตัวนำ : $T = F \times R = B \times l \times I \times Z \times R$ (N_m)

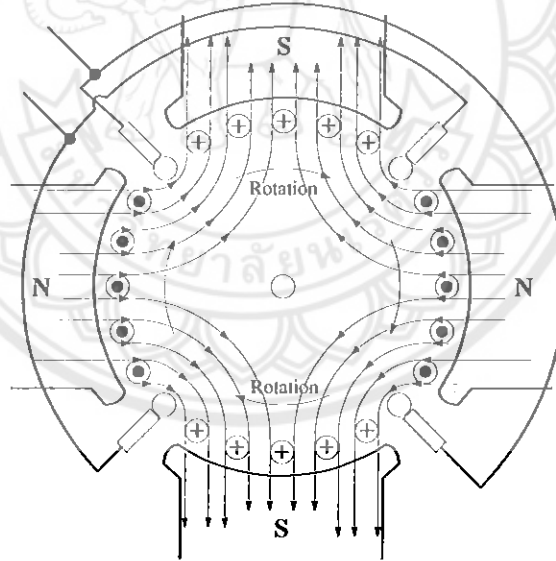
และ แรงบิดของล้อขับสายพาน : $T = F_A \times r$ (N_m)

เนื่องจากล้อขับสายพานต้องแกรนรวมกับอาเมเจอร์ของมอเตอร์ แรงบิดจึงเท่ากัน ดังนี้

$$T = F \times R = F_A \times r = B \times l \times I \times Z \times R \quad (N_m) \quad (2.22)$$

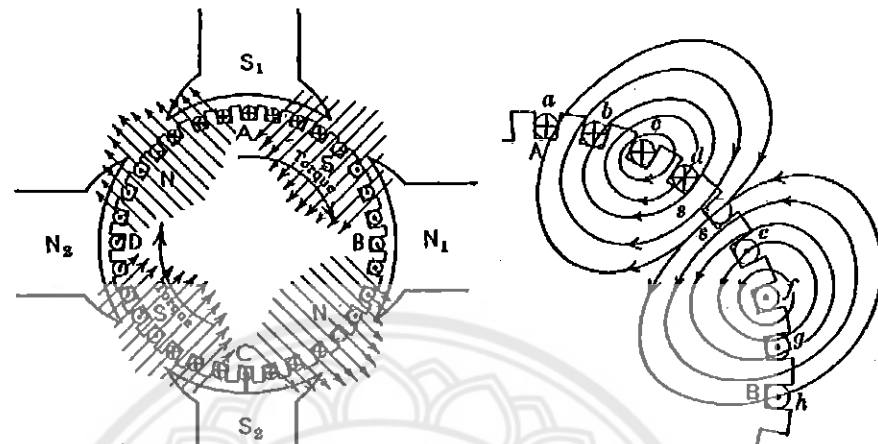


รูปที่ 2.27 แรงบิดของมอเตอร์ 1) เส้นแรงแม่เหล็กที่ล้อมรอบตัวนำของอาร์เมเจอร์ 2) เส้นแรงแม่เหล็ก
ขี้วเหนือ ขี้ได้



รูปที่ 2.28 แรงและแรงบิดของมอเตอร์ชนิดขี้แม่เหล็กคู่ขี้ที่ประกอบด้วยตัวนำอาร์เมเจอร์ 28 ตัวนำ

2.6 แรงบิดของมอเตอร์



รูปที่ 2.29 แรงบิดของมอเตอร์

มอเตอร์ในปัจจุบัน ตัวนำໄสไวร์ในร่องสล็อตของอาร์เมเจอร์แบบกล่อง (Drum Armature) เช่นเดียวกับเครื่องกำเนิดไฟฟ้า มอเตอร์ขนาดใหญ่กำลังสูงจะกินกระแสมากกว่าพื้นที่คลุมอาร์เมเจอร์แบบ “Lap Winding” ส่วนมอเตอร์ขนาดเล็กกำลังต่ำจะกินกระแสอย่างพื้นที่คลุมแบบ “Wave Winding”

แรงผลักที่เกิดขึ้นจะทำต่อตัวนำของมอเตอร์นั้น แรงที่เกิดขึ้นจะกระแทกพะบันชีพัน (Armature Teeth) ของอาร์เมเจอร์ทำให้นันหันทั้งนี้เนื่องจากตัวนำได้ໄสไวร์ในร่องสล็อตของอาร์เมเจอร์นั้นเองตามรูปที่ 2.29

พิจารณาบนอตอเรชันดีขั้วแม่เหล็ก 4 ขั้ว หรือ 2 คู่ขั้ว ตามรูปที่ 2.29 จะเห็นว่าตัว a, b, c และ d ให้กระแสไหลเข้าและไหลออกทางตัวนำ e, f, g และ h ดังนั้นส่วนของอาร์เมเจอร์ A-B ถูกเหนี่ยวให้เป็นขั้วใต้ (S) ส่วนของอาร์เมเจอร์ ส่วนของอาร์เมเจอร์ B-C เป็นขั้วเหนือ (N) C-D เป็นขั้วใต้ และ D-A เป็นขั้วเหนือ ทำให้มีแรงคูดและแรงผลักเกิดขึ้นบนอาร์เมเจอร์ ดังนี้

ขั้ว N_1 ดูด A-B และผลัก B-C

ขั้ว N_2 ดูด C-D และผลัก D-A

ขั้ว S_1 ดูด D-A และผลัก A-B

ขั้ว S_2 ดูด B-C และผลัก C-D

ด้วยเหตุนี้มอเตอร์จึงสร้างแรงบิดให้เกิดขึ้น และผลักดันให้อาร์เมเนจอร์หมุนได้ แรงบิดของมอเตอร์สามารถคำนวณได้ตามสมการ ไฟฟ้าต่อไปนี้

$$T = F \times r = B \times l \times I \times Z \times R \quad (2.23)$$

$$B = \frac{\phi}{A} \quad (2.24)$$

B = ความหนาแน่นของเส้นแรงแม่เหล็ก ($T = Wbm^{-2} = Vsm^{-2}$)

ϕ = เส้นแรงแม่เหล็ก/ขั้ว (Wb)

A = พื้นที่หน้าตัดของแกนขั้วแม่เหล็ก (m^2)

$$I = \frac{I_A}{a} \quad (2.25)$$

I = กระแสไฟฟ้าที่ไหลผ่านตัวนำ ($A/\text{ตัวนำ}$)

I_A = กระแสอาร์เมจอร์ (วัดที่ขั้วอาร์เมจอร์) หน่วยวบ (A)

a = จำนวนวงจรไฟฟ้าคู่ที่วนบนคลวตอาร์เมจอร์ (วงจร)

เมื่อพันคลวตแบบ “Lap Winding” $a = n_c \times P$ และพันคลวตแบบ “Wave Winding”

$$a = 2 \times n_c$$

$$F = \frac{\phi}{A} \times l \times \frac{I_A}{a} \times Z = \frac{\phi \times l \times I_A \times Z}{A \times a} \quad (2.26)$$

$$T = \frac{\phi \times l \times I_A \times Z \times r}{A \times a} \quad (2.27)$$

ให้ K = ค่าคงที่ของมอเตอร์

$$K = \frac{l \times Z \times r}{A \times a} \quad (2.28)$$

๑๗๓๓๐๕

๔๖.

๐๓๓๑๐

๒๙๙!

$$T = K \times \phi \times I_A \quad (2.29)$$

จะเห็นได้ชัดเจนว่า แรงบิดของมอเตอร์เป็นปฏิกิริยาโดยตรงกับเส้นแรงแม่เหล็กและกระแสของมอเตอร์ $T\alpha\phi$ และ $T\alpha I_A$

2.7 กำลังของมอเตอร์

กำลังหมุนขับของมอเตอร์สามารถคำนวณได้จากเกณฑ์เมจอย์ตามสมการ ไฟฟ้าต่อไปนี้



รูปที่ 2.30 กำลังหมุนขับของมอเตอร์

กำหนดให้

D = เส้นผ่าศูนย์กลางของอาร์เมจอย์ (m)

F_A = แรงผลักดันนำที่เกิดขึ้นบนอาร์เมจอย์

T = ทอร์กของมอเตอร์ (Nm)

n = จำนวนรอบที่อาร์เมจอย์หมุน (rpm)

P = กำลังหมุนขับของมอเตอร์ (W)

R = รัศมีของอาร์เมจอย์ = $D/2$ (m)

\therefore อาร์เมจอย์หมุน 1 รอบ ให้ระยะทาง = $\pi \times D$ (m)

$$\text{อาร์เมจอย์หมุน } n/60 \text{ (รอบ/วินาที)} = \frac{\pi \times D \times n}{60} \text{ (ms}^{-1}\text{)}$$

ถ้าให้ v = อัตราความเร็วในการเคลื่อนที่ของอาร์เมจอย์ เมตร/วินาที ($m/s = ms^{-1}$)

$$\therefore v = \frac{\pi \times D \times n}{60} \quad (\text{ms}^{-1}) \quad (2.30)$$

$$P = F_A \times v \quad [N \times \text{ms}^{-1} = N\text{ms}^{-1} = W]$$

$$P = \frac{F_A \times \pi \times D \times n}{60} = \frac{2 \times \pi \times F \times R \times n}{60}$$

$$P = \frac{\pi \times n \times T}{30} \quad (W) \quad (2.31)$$

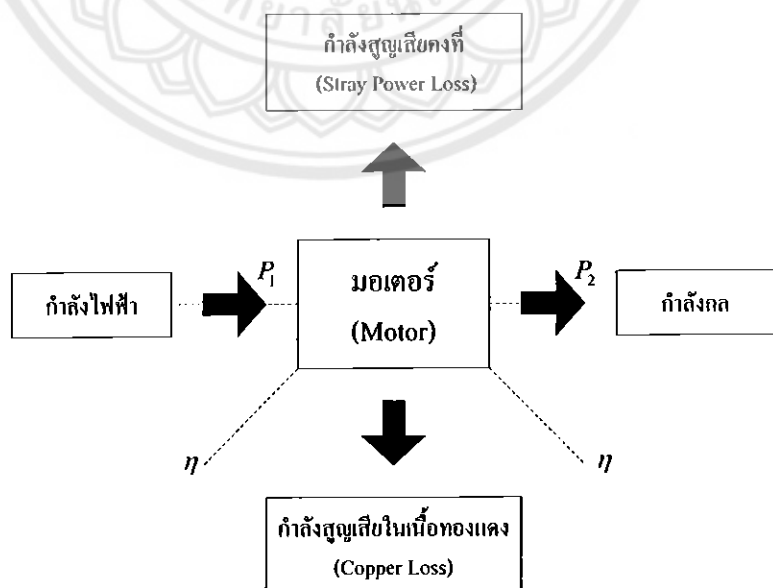
P_W = กำลังหมุนขับของมอเตอร์ เป็น วัตต์ (W)

P_{kW} = กำลังหมุนขับของมอเตอร์ เป็น กิโลวัตต์ (kW)

$$P_W = \frac{\pi n T}{30} = 0.104 n \times T \quad (2.32)$$

$$P_{kW} = \frac{\pi n T}{30000} = 0.104 \times 10^{-3} \times n \times T \quad (2.33)$$

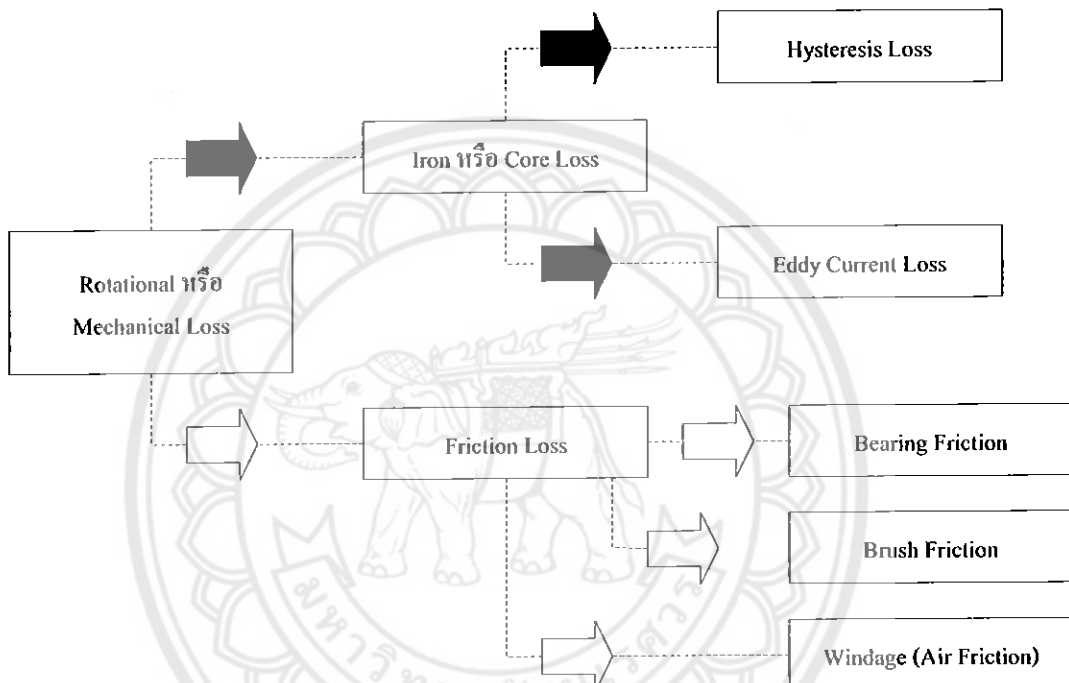
2.8 กำลังสูญเสียในมอเตอร์



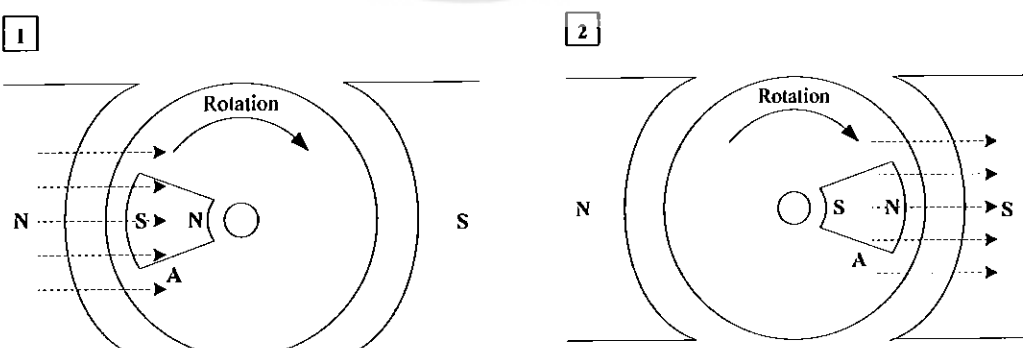
รูปที่ 2.31 ความสัมพันธ์ระหว่างกำลังไฟฟ้า กำลังกล กำลังสูญเสีย และประสิทธิภาพของมอเตอร์

กำลังสูญเสียของมอเตอร์ ได้แก่ กำลังสูญเสียคงที่ (Constant Losses: Stray Power Loss) และ กำลังสูญเสียในเนื้อทองแดง (Copper Loss: Cu Loss)

2.8.1 กำลังสูญเสียคงที่ : เป็นกำลังสูญเสียนแนกเหล็ก (Iron หรือ Core Losses) และความเสียดทาน (Friction Losses) ต่างๆ ของมอเตอร์ โดยเฉพาะ ไม่ว่า โหลดจะเพิ่มขึ้นหรือลดลง กำลังสูญเสียจะคงที่ตลอดเวลา จึงเรียกกำลังสูญเสียนี้ว่า “Rotational” หรือ “Mechanical Losses” :



รูปที่ 2.32 กำลังสูญเสียคงที่ของมอเตอร์ประกอบด้วย กำลังสูญเสียนแนกเหล็ก และ กำลังสูญเสียเนื่องจากความเสียดทานต่างๆ



รูปที่ 2.33 กำลังสูญเสียชีสเทอเรอฟิล์ม กำลังสูญเสียนี้เนื่องจากการเปลี่ยนขั้วของเนื้อเหล็กบน แกนอาร์เมเจอร์โดยเดพะ

1) กำลังสูญเสียฮีสเทอเรชีส (Hysteresis Loss) : เป็นการสูญเสียกำลังไฟฟ้าส่วนหนึ่งบนแกนเหล็กของอาร์เมจอร์ เนื่องจากการเปลี่ยนขั้วของเนื้อเหล็กบนแกนอาร์เมจอร์ (Armature Core) โดยเฉพาะของเตอร์ชนิดขั้วแม่เหล็ก 2- ขั้ว ตามรูปที่ 2.33 ให้พิจารณาแกนอาร์เมจอร์เฉพาะเนื้อเหล็กส่วน A จะเห็นได้ว่า ใน 1- รอบที่อาร์เมจอร์หมุนเนื้อเหล็ก A จะเปลี่ยนขั้วไฟฟ้า 2- ครั้ง คือ ครึ่งรอบแรกที่เนื้อเหล็ก A อยู่ภาคใต้ขั้วเหนือ (N) จะถูกเหนี่ยวนำให้เปลี่ยนขั้วได้ (S) ตามรูปที่ 2.33 (1) และครึ่งรอบหลังที่เนื้อเหล็ก A อยู่ภาคใต้ขั้วใต้ จะถูกเหนี่ยวนำให้เป็นขั้วเหนือ (N) ตามรูปที่ 2.33 (2)

ดังนั้น ถ้าอาร์เมจอร์ของมอเตอร์ชนิดขั้วแม่เหล็ก 2- ขั้ว หมุนด้วยความเร็ว 1000- รอบ/นาที หมายความว่า เนื้อเหล็กทุกๆ ส่วน บนแกนของอาร์เมจอร์ในเวลา 1- นาที จะเป็นขั้วเหนือ 1000- ครั้ง สลับกันไป ทำนองเดียวกันถ้าเป็นมอเตอร์ชนิดขั้วแม่เหล็ก 4- ขั้ว ที่หมุนด้วยความเร็ว 1000- รอบ/นาที ดังนั้นจะพบว่าในเวลา 1- นาที เนื้อเหล็กทุกๆ ส่วนบนแกนอาร์เมจอร์จะถูกเหนี่ยวนำให้เป็นขั้วเหนือ 2000- ครั้ง และเป็นขั้วใต้ 2000- ครั้ง สลับกันไป

การเปลี่ยนขั้วแม่เหล็กของเนื้อเหล็กบนแกนอาร์เมจอร์นี้ ทำให้มีความร้อนเกิดขึ้น ยังผลทำให้ประสิทธิภาพของมอเตอร์ลดลง เพื่อลดการสูญเสียเนื่องจากการเปลี่ยนขั้วแม่เหล็กต้องถูกต่อไว้ให้น้อยลง จะต้องทำให้การเปลี่ยนขั้วแม่เหล็กของเนื้อเหล็กบนแกนอาร์เมจอร์เปลี่ยนขั้วให้รวดเร็วขึ้น โดยการสร้างอาร์เมจอร์ด้วยแกนเหล็กกล้าที่มีส่วนผสมของซิลิกอน (Silicon Steel) และกำลังสูญเสียฮีสเทอเรชีสนี้จะมากหรือน้อยขึ้นอยู่กับความสัมพันธ์ตามสมการ ดังต่อไปนี้

$$P_h = K_h \times f \times B^{1.6} \times m \quad [W] \quad (2.34)$$

เมื่อ P_h = กำลังสูญเสียฮีสเทอเรชีส [W]

K_h = ค่าคงที่ของฮีสเทอเรชีสที่ขึ้นอยู่กับชนิดของแกนเหล็กที่ใช้สร้างแกนอาร์เมจอร์

f = ความถี่ [Hz]

$$f = \frac{P \times n}{120} \quad [Hz] \quad (2.35)$$

P = จำนวนขั้วแม่เหล็ก

n = จำนวนรอบที่อาร์เมจอร์หมุน [รอบ/นาที]

B = ความหนาแน่นสูงสุดของเส้นแรงแม่เหล็กในสนามแม่เหล็ก [$T = Wbm^{-2}$]

m = มวลของแกนอาร์เมจอร์ [kg]

ในการพิทีสืบแสวงแม่เหล็กหรือความเร็วของมอเตอร์ไม่คงที่ (เกิดการเปลี่ยนแปลงเพิ่มขึ้นหรือลดลง) กำลังสูญเสียสต็อร์จีสสามารถคำนวณได้ตามสมการ ดังต่อไปนี้

$$P_b = K_H \times n \times \phi^{1.6} \quad [\text{W}] \quad (2.36)$$

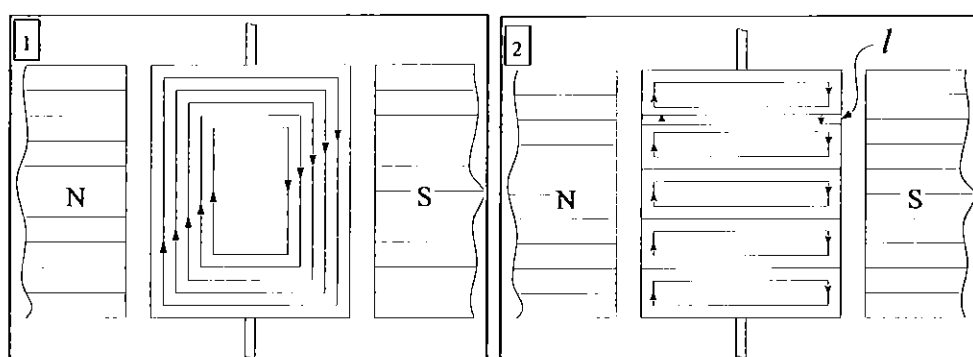
เมื่อ K_H = ค่าคงที่ เช่นเดียวกับ K_h : ขึ้นอยู่กับความถี่ที่เปลี่ยนแปลงไปตามความเร็วของอาร์เมจรอร์ และความหนาแน่นของเส้นแรงแม่เหล็กที่เปลี่ยนแปลงไปตามจำนวนเส้นแรงแม่เหล็ก
 n = ความเร็วที่ อาร์เมจรอร์ หมุนในสานามแม่เหล็ก [รอบ/นาที]
 ϕ = เส้นแรงแม่เหล็กในสานามแม่เหล็ก [โวบอว]

2) การสูญเสียนื่องจากกระแสไฟฟ้าไหลวน (Eddy Current Loss) : เป็นการสูญเสียกำลังไฟฟ้าบนแกนเหล็กทั้งแกนอาร์เมเจอร์และแกนข้อแม่เหล็กของไดนาโม นื่องจากกระแสหนึ่งบวนๆ ที่เกิดขึ้นด้วยการเหนี่ยวแม่เหล็กไฟฟ้าไหลวนเวียนอยู่รอบแกนเหล็ก ทำให้มีความร้อนเกิดขึ้น ($I^2 \times R - Heat$) บังส่งผลให้ประสิทธิภาพของมอเตอร์ลดลง เช่นเดียวกับกำลังสูญเสียสเกอร์ชีส

กระแสไฟฟ้าในลูป (Eddy Current) ที่เกิดขึ้นและไฟลุบเวียนอยู่รอบแกนเหล็กของเครื่องกลไฟฟ้านี้เกิดขึ้นได้ด้วยการเหนี่ยวนำแม่เหล็กไฟฟ้าดังนี้

- กระถางไฟฟ้าในสวนน้ำเก็บอาเร์เมจอร์

(1) เมื่อสิ่งงานบนแกนอาร์เมจเจอร์พันด้วยขดลวดทองแดง เมื่อให้กระแสไฟฟ้าไหลผ่านจะมีเส้นแรงแม่เหล็กเกิดขึ้นล้อมรอบขดลวดและแกนเหล็กอาร์เมจเจอร์ และมีค่าเปลี่ยนแปลงไปตามการเปลี่ยนแปลงของโหลด การเปลี่ยนแปลงของเส้นแรงแม่เหล็กนี้จะให้กำเนิดแรงเคลื่อนไฟฟ้านแกนเหล็ก ($E = \frac{d\phi}{dt}$ [V]) จึงทำให้มีกระแสไฟฟ้าไหลวนเวียนอยู่รอบแกนเหล็ก (Eddy Current) ของแกนอาร์เมจเจอร์



รูปที่ 2.34 กระ世家ไฟฟ้าหนึ่งยาน้ำที่เกิดขึ้นและไฟลุนเวียนอยู่รอบแกนเหล็ก

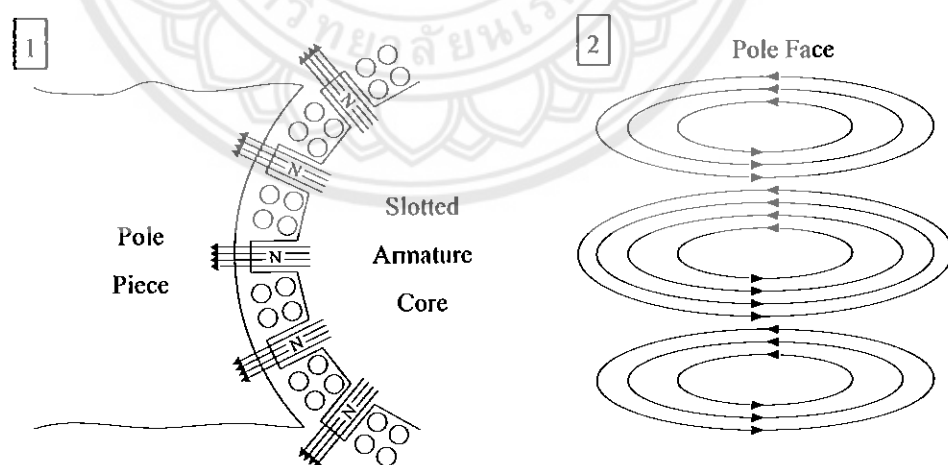
จากรูปที่ 2.34 (1) เป็นกระแสไฟฟ้าหนึ่งวนนำที่เกิดขึ้นและไฟฟ้าเวียนอยู่รอบแกนเหล็กของแกนอาร์เมเจอร์ ในลักษณะตั้งฉากกับเส้นแรงแม่เหล็ก, (2) แกนเหล็กหงายแกนขี้วั้นแม่เหล็ก (N-S) และแกนอาร์เมเจอร์ทำด้วยเหล็กแผ่นบางๆ วางเรียงช้อนๆ กัน (Laminated Sheet Steel) เพื่อลดการสูญเสียเนื่องจากกระแสไฟฟ้าในวงจร (Eddy Current Loss) ให้น้อยลง

(2) เมื่อจากแกนเหล็กของแกนอาร์เมเจอร์เป็นตัวนำ (ตัวนำที่เลว) จะมีกระแสไฟฟ้าในรัฐที่มีท่อเหล็กในสานามแม่เหล็กระหว่างขี้วั้นนี้อ ขี้วั้นให้ทำให้เส้นแรงแม่เหล็กเกิดการเปลี่ยนค่ามีแรงดันไฟฟ้าหนึ่งวนนำเกิดขึ้นบนแกนเหล็ก ($E = \frac{d\phi}{dt}$ [V]) จึงเป็นเหตุให้มีกระแสไฟฟ้าในวงจรเวียนอยู่รอบแกนเหล็กของแกนอาร์เมเจอร์

- กระแสไฟฟ้าในวงจรบนแกนขี้วั้นแม่เหล็ก

(3) เช่นเดียวกับข้อ 1) บนแกนขี้วั้นแม่เหล็กพื้นด้วยขาดลวดทองแดง เมื่อให้กระแสไฟฟ้าในผ่านจะมีเส้นแรงแม่เหล็กเกิดขึ้น ไฟฟ้าผ่านแกนขี้วั้นแม่เหล็ก และมีค่าเปลี่ยนแปลงไปตามการเปลี่ยนแปลงของโหลด ทำให้มีแรงดันไฟฟ้าหนึ่งวนนำเกิดขึ้น (ขณะเส้นแรงแม่เหล็กเกิดการเปลี่ยนแปลงค่า) จึงมีกระแสไฟฟ้าในวงจรเวียนอยู่รอบแกนขี้วั้นแม่เหล็กซึ่งเดียวกับแกนอาร์เมเจอร์

(4) เมื่อจากมีเส้นแรงแม่เหล็กเกิดขึ้นบนแกนอาร์เมเจอร์ตามข้อ 1) จะมีอาร์เมเจอร์ที่มีในสานามแม่เหล็กระหว่างขี้วั้นนี้ ขี้วั้นให้ทำให้กำเนิดแรงดันไฟฟ้าหนึ่งวนนำขึ้นบนแกนขี้วั้นแม่เหล็ก จึงทำให้มีกระแสไฟฟ้าในวงจรเวียนอยู่รอบแกนขี้วั้นแม่เหล็ก



รูปที่ 2.35 เส้นแรงแม่เหล็กบนแกนอาร์เมเจอร์ที่มีท่อเหล็กแกนขี้วั้นแม่เหล็ก

จากรูปที่ 2.35 (1) เส้นแรงแม่เหล็กบนแกนอาร์มเจอร์หมุนตัดแกนข้ามแม่เหล็ก จะให้กำเนิดแรงเคลื่อนไฟฟ้าเป็นสาเหตุให้มีกระแสไฟฟ้าไหลวนเวียนอยู่รอบแกนข้ามแม่เหล็ก ตามรูป (2)

กระแสไฟฟ้าไหลวน (Eddy Current) ที่เกิดขึ้นบนแกนของเครื่องกลไฟฟ้าด้วยหลักการเห็นได้ว่าแม่เหล็กไฟฟ้านี้ ($E = \frac{d\phi}{dt}$ [V]) มีพิษทางเป็นไปตามกฎมือขวาของเฟลมมิงทุกประการ ตามรูปที่ 2.34 และ 2.35 และจะไหลวนเวียนอยู่รอบแกนเหล็กในลักษณะตั้งฉากกับเส้นแรงแม่เหล็ก

ด้วยเหตุที่แกนเหล็กเป็นตัวนำที่ไม่ดี เพราะมีความต้านทานสูง จึงทำให้เกิดความร้อน ($I^2 \times R - Heat$) บนแกนเหล็กสูง ยังส่งผลให้ประสิทธิภาพของเครื่องกลไฟฟ้าลดลงดังกล่าวแล้ว เพื่อลดการสูญเสียเนื่องจากการกระแสไฟฟ้าไหลวน (Eddy Current Loss) ให้น้อยลง จะต้องปิดกั้นมิให้กระแสสามารถไหลวนเวียนอยู่บนแกนเหล็กครอบรอบวงจรเด็ขาด ด้วยการทำแกนเหล็กของแกนข้ามแม่เหล็ก และแกนอาร์มเจอร์ด้วยแผ่นเหล็กบางๆ วางเรียงชั้นๆ กัน (Laminated Sheet Steel) ให้มีขนาด รูปร่างตามที่ต้องการ ตารางที่ 2.34 - 2.35 ระหว่างแผ่นต่อแผ่น กันด้วยสตุนวน เพื่อปิดกั้นมิให้กระแสไฟฟ้าไหลวน ให้ผ่านระหว่างแผ่นต่อแผ่น ได้ กระแสไฟฟ้าไหลวนที่เกิดขึ้นนี้มิโอกาสไหลบนแกนเหล็กเป็นช่วงๆ จะไม่มีโอกาสไหลครอบรอบวงจรบนแกนเหล็กอย่างเด็ขาด ทำสูญเสียคงดองและน้อบมาก

ด้วยเหตุนี้ แกนเหล็ก (暨 ส่วนที่มีเส้นแรงแม่เหล็กหรือกระแสไฟลอดผ่านไม่คงที่) ของเครื่องกลไฟฟ้าทุกชนิด โดยเฉพาะเครื่องกลไฟฟ้ากระแสสลับ นิยมทำด้วย "Laminated Sheet Steel" ความหนาของแผ่นเหล็กที่ใช้กันทั่วไปไม่เกิน 0.5 มิลลิเมตร (เหล็กแท่งไม่ใช่ทำแกนของเครื่องกลไฟฟ้าอย่างเด็ขาด เพราะว่าการสูญเสียเนื่องจากกระแสไฟฟ้าไหลวนสูงมาก) จุดประสงค์เพื่อลดการสูญเสียเนื่องจากกระแสไฟฟ้าไหลวน นั่นเอง

การสูญเสียเนื่องจากกระแสไฟฟ้าไหลวนจะมากหรือน้อยเพียงใดขึ้นอยู่กับความสัมพันธ์ต่อไปนี้

$$P_e = K_e \times f^2 \times t^2 \times B^2 \times V \quad [W] \quad (2.37)$$

เมื่อ P_e = การสูญเสียเนื่องจากกระแสไฟฟ้าไหลวน

K_e = ค่าคงที่ขึ้นอยู่กับความต้านทานจำเพาะและขนาดของแกนเหล็ก

f = ความถี่ [Hz]

t = ความหนาของแผ่นเหล็ก

B = ความหนาแน่นสูงสุดของเส้นแรงแม่เหล็กในสนามแม่เหล็ก

V = ปริมาตรของแกนเหล็ก

เนื่องจากมอเตอร์เป็นเครื่องกลประเภทที่หมุนได้ (Rotating Machine) กระแสของมอเตอร์เปลี่ยนแปลงไปตามการเปลี่ยนแปลงของโหลดที่มอเตอร์หมุนขับ และความเร็วของมอเตอร์มีผลให้เส้นแรงแม่เหล็กเปลี่ยนแปลงไปด้วย การสูญเสียนี้จะกระแทกไฟฟ้าในลวนจึงเป็นปัญหาโดยตรงกับความเร็วรอบยกกำลังสอง (n^2) และเส้นแรงแม่เหล็กยกกำลังสอง (ϕ^2) ดังนี้

$$P_e = K_E \times n^2 \times \phi^2 \quad [W] \quad (2.38)$$

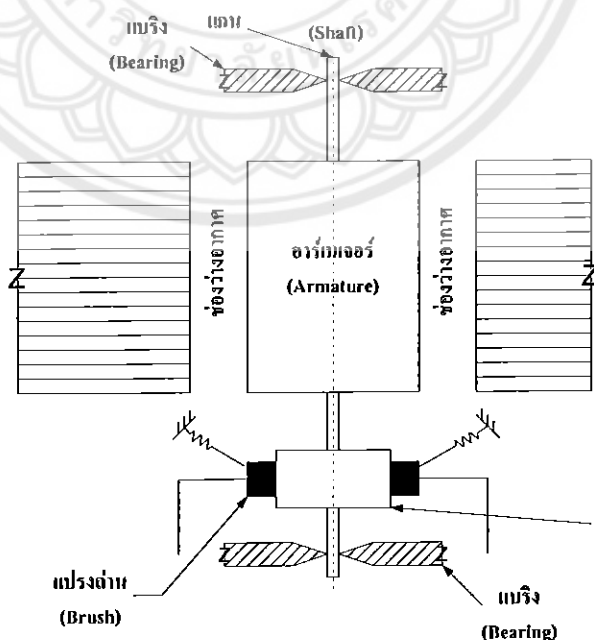
เมื่อ K_E = ค่าคงที่เท่ากับ K_e

n = ความเร็วรอบที่หมุนของอาร์เมเจอร์

ϕ = เส้นแรงแม่เหล็ก

3) กำลังสูญเสียนี้เนื่องจากความเสียดทาน (Friction Loss) : เป็นกำลังไฟฟ้าสูญเสียไปเนื่องจากความเสียดทานต่างๆ ต่อไปนี้ของเครื่องกลไฟฟ้า ตามรูปที่ 6

- Bearing Friction: ความเสียดทานระหว่างเบริงกับแกนของมอเตอร์
- Brush Friction: ความเสียดทานระหว่างหน้าสัมผัสของแปรงด้านล่างกับหน้าสัมผัสของคอมมิวเตเตอร์
- Windage Loss (Air Friction): ความเสียดทานระหว่างอากาศในช่องว่างอากาศ (Air Gap) ในส่วนแม่เหล็กระหว่างขั้วเหนือ ขั้วใต้ กับแกนอาร์เมเจอร์ (Armature Core)



รูปที่ 2.36 กำลังสูญเสียนี้เนื่องจากความเสียดทาน ณ ส่วนต่างๆ ของมอเตอร์

กำลังสูญเสียเนื่องจากความเสียดทานนี้ทำให้เกิดความร้อน บังส่งผลให้ประสิทธิภาพการทำางานของมอเตอร์ลดลง เช่นเดียวกับกำลังสูญเสียที่สเตเตอร์ซีสและการสูญเสียนี้เนื่องจากกระแสไฟฟ้าในล่วนและกำลังสูญเสียนี้เนื่องจากความเสียดทานนี้จะมากหรือน้อยเพียงใดนั้นขึ้นอยู่กับความเร็วของมอเตอร์

กำลังสูญเสียนี้เนื่องจากความเสียดทานต่างๆ ของมอเตอร์ สามารถทำให้ลดลงได้ด้วยการทำให้ความเสียดทานของหน้าสัมผัสลดลง ดังนี้

Bearing Friction: ควรใช้เบรริงชนิดพิเศษ ได้แก่ Roll หรือ Ball Bearing ให้เหมาะสม กับลักษณะของงาน (โหลดที่มอเตอร์หามุนขึ้น)

Brush Friction: หน้าสัมผัสต้องราบรื่น ประดิ่นต้องแนบสนิทกับหน้าสัมผัสของคอมมิวเตเตอร์อย่างแท้จริง

Windage Loss (Air Friction): แกนอาร์เมจเจอร์ (Armature Core) ที่หมุนอยู่ในช่องว่างอากาศภายในสนามแม่เหล็กระหว่างขั้วหนีอ ขั้วใต้ ต้องเคลื่อนและรบกวนเรียบอย่างแท้จริงซึ่งเดียวกัน

2.8.2. กำลังไฟฟ้าสูญเสียในเนื้อทองแดง (Copper Losses) : เป็นกำลังไฟฟ้าที่สูญเสียในขดลวดทองแดง เนื่องจากกระแสไฟผ่านความต้านทานของขดลวดทองแดง ทำให้เกิดกำลังสูญเสีย ($I^2 \times R$ [W]) โดยเฉพาะและมีค่าไม่คงที่ ขึ้นอยู่กับกระแสไฟ lod ยกกำลังสอง (I^2) โดยดึงมากกำลังสูญเสีย (CU. Loss) ยิ่งมาก กำลังสูญเสียในเนื้อทองแดงของเครื่องกลไฟฟ้ากระแสตรง ได้แก่

กำลังสูญเสียในขดลวดอาร์เมจเจอร์ : P_{AA}

$$P_{AA} = I_A^2 \times R_A \quad (2.39)$$

กำลังสูญเสียในขดลวดสนามแม่เหล็กชุดอนุกรม : P_D

$$P_D = I_D^2 \times R_A \quad (2.40)$$

กำลังสูญเสียในวงจรขดลวดสนามแม่เหล็กชุดนานา : P_f

$$P_f = I_f^2 \times R_f \quad (2.41)$$

กำลังสูญเสียในขดลวดสนามแม่เหล็กชุดบน : P_E

$$P_E = I_E^2 \times R_E \quad (2.42)$$

กำลังสูญเสียในขดลวดสนามแม่เหล็กช่วย : P_B

$$P_B = I_B^2 \times R_B \quad (2.43)$$

กำลังสูญเสียในขดลวดสนามแม่เหล็กเสริม : P_C

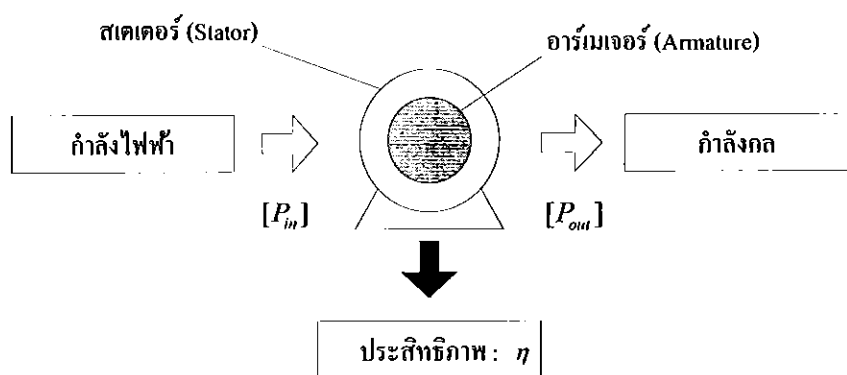
$$P_C = I_C^2 \times R_C \quad (2.44)$$

กำลังสูญเสียในขดลวดสนามแม่เหล็กกระตุ้นภายนอก : P_F

$$P_F = I_F^2 \times R_F \quad (2.45)$$

2.9 ประสิทธิภาพของมอเตอร์

การเปลี่ยนกำลังไฟฟ้าให้เป็นกำลังกลเพื่อใช้ขับงานของมอเตอร์นี้ ต้องสูญเสียกำลังไฟฟ้าไปส่วนหนึ่ง ทำให้กำลังกล (กำลังจ่ายออกหรือกำลังหมุนขับที่แกนมอเตอร์ : Output) น้อยกว่ากำลังไฟฟ้า (กำลังรับเข้า : Input) อัตราส่วนระหว่างกำลังกลกับกำลังไฟฟ้าเรียกว่า ประสิทธิภาพ (Efficiency) ดังนั้นประสิทธิภาพของมอเตอร์ก็คือ สมรรถนะในการทำงานของมอเตอร์นั้นเอง



รูปที่ 2.37 ประสิทธิภาพของมอเตอร์

ให้ η : eta = ประสิทธิภาพ

P_{in} = กำลังไฟฟ้า (กำลังรับเข้า : Input Power)

P_{out} = กำลังกล (กำลังจากออกหรือกำลังหมุนขันที่เก็บมอเตอร์ : Output Power)

ΔP = กำลังสูญเสียระหว่างการเปลี่ยนรูปกำลังจากกำลังไฟฟ้าเป็นกำลังกล

$$\Delta P = P_1 - P_2 \quad (2.46)$$

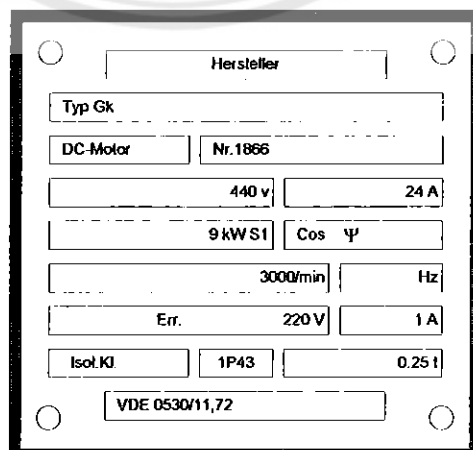
$$\eta = \frac{P_{out} \times 100}{P_{in}} \quad [\%] \quad (2.47)$$

$$P_{in} = \frac{P_{out} \times 100}{\eta} \quad [W] \quad (2.48)$$

$$P_{out} = \frac{\eta \times P_{in}}{100} \quad [W] \quad (2.49)$$

1) การคำนวณประสิทธิภาพของมอเตอร์จากสลากแผ่นป้ายชื่อ (Name-Plate Data)

สลากแผ่นป้ายชื่อของมอเตอร์ไฟฟ้ากระแสตรงตามรูป พ้ออธินายได้ว่า มอเตอร์ตัวนี้เป็น มอเตอร์ไฟฟ้ากระแสตรง (DC Motor) ขนาดแรงดันmen : $V_M = 440$ โวลต์, กินกระแสเต็มโหลด : $I_{M_f} = 24$ แอมป์ ด้วยขนาดกำลังหมุนขันที่เก็บมอเตอร์ : $P_{out} = 9$ กิโลวัตต์ ที่ความเร็วรอบ : $n_f = 3000$ รอบ/นาที



รูปที่ 2.38 สลากแผ่นป้ายชื่อ (Name-Plate Data) ของมอเตอร์ไฟฟ้ากระแสตรง

มอเตอร์ทุกตัวไม่ว่าจะเป็นมอเตอร์ไฟฟ้ากระแสตรง (DC Motor) หรือมอเตอร์ไฟฟ้ากระแสสลับ (AC Motor) กำลังเป็น kW หรือ W ที่กำหนดมาให้บันสลาught แผ่นป้ายชื่อนั้น ขอให้จำไว้ว่า “เป็นกำลังกลที่หมุนขับเคลื่อนมอเตอร์หรือกำลังจ่ายออก : P_{out} ” ส่วนกำลังไฟฟ้ากึ่งกำลังไฟฟ้าที่มอเตอร์ดึงจากระบบไฟหรือกำลังไฟฟ้าที่ส่งให้มอเตอร์หรือกำลังรับเข้า : P_{in} สามารถหาได้จากการคำนวณตามสมการ

$$P_{in} = \text{กำลังไฟฟ้า : กำลังรับเข้า} \text{ (Power Input)}$$

$$V_M = \text{แรงดันบน}$$

$$I_M = \text{กระแส)mอเตอร์}$$

$$\therefore P_{in} = V_M \times I_M \quad (2.50)$$

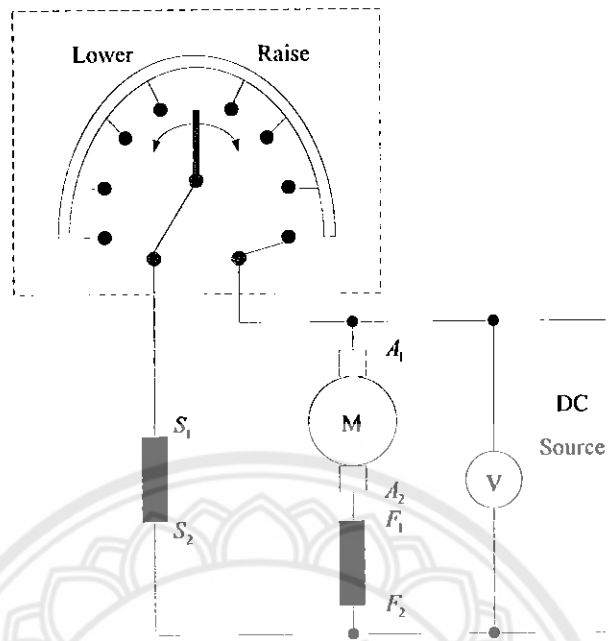
2.10 การเริ่มเดินมอเตอร์ไฟฟ้ากระแสตรง

การสตาร์ทหรือการเริ่มเดินมอเตอร์ไฟฟ้ากระแสตรง ในช่วงเริ่มแรกยังไม่มีแรงเคลื่อนไฟฟ้าด้านกลับ (Back EMF) เกิดขึ้นที่อาร์เมเนเจอร์ ทำให้แรงเคลื่อนไฟฟ้าไฟฟ้าที่ตกคร่อม (Voltage Drop) ที่อานเมเนเจอร์ จะมีกระแสไฟฟ้าไหลผ่านเป็นจำนวนมาก อาจทำให้เกิดความเสียหายกับมอเตอร์หรือฟิวส์ ขาดได้ เนื่องจากความด้านทานของอาร์เมเนเจอร์มีค่าต่ำมาก เพราะฉะนั้นในการสตาร์ทมอเตอร์หรือเริ่มเดินมอเตอร์นั้น จำเป็นมากที่ต้องต่อความด้านทานอนุกรมกับเข้ากับอาร์เมเนเจอร์ เพื่อให้กระแสถูกควบคุมในขั้นปลดภัย เมื่อมอเตอร์หมุนไปแล้วอย่างๆ ลดค่าความด้านทานลงทีละน้อย ในที่สุดจะถูกปลดออกจากการของอาร์เมเนเจอร์

สำหรับอุปกรณ์ที่ใช้สตาร์ทมอเตอร์หรือเริ่มเดินมอเตอร์ เรียกว่าสตาร์ทติ้งบ็อก มีชนิด 3 ข้อ (Three - Point Starting Box) และสตาร์ทติ้งบ็อกชนิด 4 ข้อ (Four - Point Starting Box)

2.10.1 การควบคุมด้วยมือ (Manual Operation)

การปรับฟลักซ์โดยสตาร์ท (Field Rheostat) ด้วยมือ ชั่งอนุกรมกับวงจรชั้นฟลักซ์ เป็นวิธีที่ง่ายที่สุดที่ใช้ควบคุมแรงเคลื่อนไฟฟ้าที่ข้อของเครื่องกำเนิดไฟฟ้ากระแสตรง ดังแสดงในรูป 2.39



รูปที่ 2.39 การปรับฟิลเตอร์ไฮสเกทด้วยมือ

การควบคุมตามวิธีฟิลเตอร์ไฮสเกท จะเป็นตัวดำเนินการที่ต่อแยกออกจากสายสวิตช์ที่มีหลายปุ่ม แขนของสวิตช์จะหมุนไปตามสัดส่วนโถงและสัมผัสปุ่มสวิตช์ที่ต่อแยกออกจากตัวดำเนินการ ดังนั้นจึงเป็นการเปลี่ยนแปลงจำนวนความดำเนินการในวงจรฟิลเตอร์ด้วยแขนของสวิตช์หมุนไปตามทิศ "Lower" จะทำให้ความดำเนินการเพิ่มขึ้นเป็นผลให้แรงเคลื่อนไฟฟ้าที่ข้าวลดลง แต่ถ้าแขนของสวิตช์หมุนไปตามทิศ "Raise" ความดำเนินการจะลดลงเป็นผลทำให้แรงเคลื่อนไฟฟ้าที่ข้าวเพิ่มขึ้น

ฟิลเตอร์ไฮสเกทที่ใช้กับมอเตอร์ไฟฟ้ากระแสตรงที่มีขนาดปานกลาง ตัวดำเนินการที่ใช้จะเป็นลวดโลหะผสมที่มีความดำเนินการจำเพาะสูง และสันประสีที่อุณหภูมิต่ำ โลหะผสมนี้ประกอบด้วยขยะทองแดง นิกเกิล แมงกานีส และโครเมียม และมีข้อเรียกทางการค้าว่า นิโคลแมงกานีส เครื่องกำเนิดไฟฟ้าขนาดใหญ่ๆ ฟิลเตอร์ไฮสเกททำจากตัวข่ายเหล็กหล่อ ประกอบอยู่กับกลไกสวิตช์

รีไฮสเกทเริ่มเดิน ได้ออกแบบให้นำกระแสไฟฟ้าในการเริ่มเดินในช่วงระยะเวลาสั้นๆเท่านั้น ไม่มีค่าต่ำกว่าปกติโดยการยืดแขนไว้ตรงกับกลางของปุ่มสัมผัสก็จะทำให้ตัวดำเนินการในการเริ่มเดินเกิดการไหนขึ้นได้

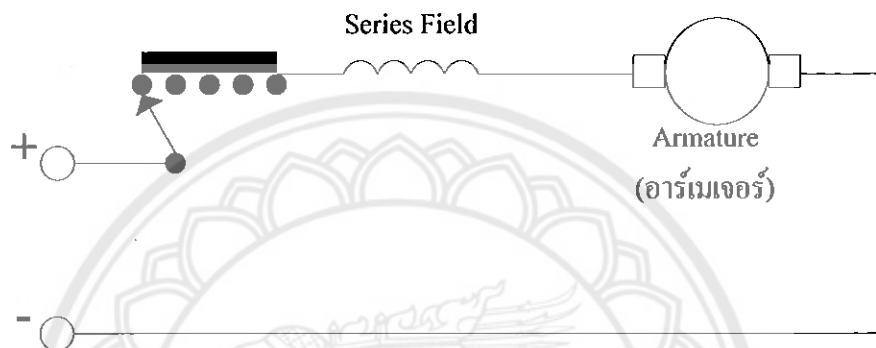
2.10.2 การควบคุมความเร็วของมอเตอร์ไฟฟ้ากระแสตรง

มอเตอร์ไฟฟ้ากระแสตรงมี 3 ชนิด คือ มอเตอร์แบบอนุกรม แบบขนาน และแบบผสม ในการควบคุมความเร็วของมอเตอร์ จึงต้องวิธีการที่ควบคุมแตกต่างกันไปตามชนิดของมอเตอร์ดังนี้

1) การควบคุมความเร็วของมอเตอร์ไฟฟ้ากระแสตรงแบบอนุกรม

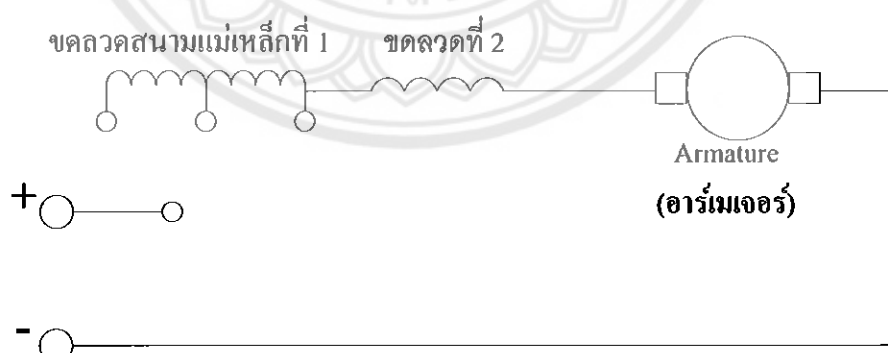
มอเตอร์ไฟฟ้าแบบอนุกรมนี้จะมีความเร็วสูงมากจึงจำเป็นต้องมีการควบคุม ให้เหมาะสมกับงานที่ต้องการ ในที่นี้จะกล่าวถึงการควบคุมอยู่ 2 วิธี คือ

(1-1) ใช้การต่ออนุกรมกับขดลวดเพื่อลดแรงดันไฟฟ้า และลดกระแสในอาร์เมเจอร์ ด้วยต้านทานที่นิยมใช้คือ ลวดนิกโกร姆 (Nichrome Wire) และแผ่นคาร์บอน (Carbon Plate) แบบที่นิยมใช้ในมอเตอร์จักรยานยนต์



รูปที่ 2.40 การควบคุมความเร็วของมอเตอร์โดยใช้ความต้านทาน

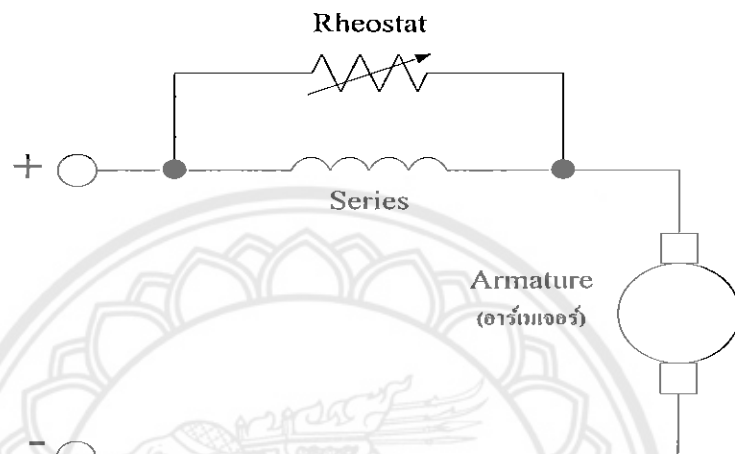
(1-2) ใช้การแบ่งที่ขดลวดขั้วแม่เหล็ก (Tapped Field) โดยการนำขดลวดขั้วแม่เหล็กที่ 1 มาแบ่งออกตามลักษณะดังรูปที่ 2.41 จากนั้นก็ต่อเข้ากับสวิตช์เลือก เพื่อปรับให้อยู่ในจุดที่ทำการแบ่งเพื่อให้ความเร็ว ของมอเตอร์เป็นไปตามต้องการดังรูปที่ 2.41



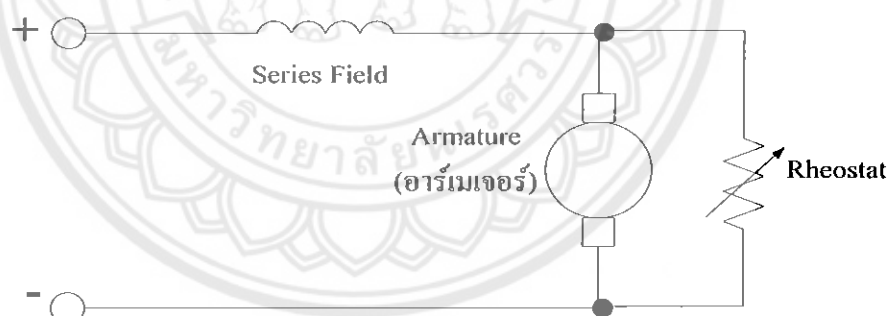
รูปที่ 2.41 การควบคุมความเร็วโดยการแบ่งขดลวด

สำหรับมอเตอร์ขนาดใหญ่มีกระแสสูงการควบคุมความเร็วโดยการต่อความต้านทานและการปรับค่าความต้านทานและการเลื่อนปุ่ม จะทำให้เกิดประกายไฟ (Arc) และเกิดความร้อนสูง จึงใช้วิธี

แบ่งแยกกระแสในขดลวดขั้วแม่เหล็ก (Field Diverter) โดยนำความต้านทานปรับค่าได้ต่อขนาดกับขดลวดสนามแม่เหล็ก เพื่อใช้ปรับความเร็ว เมื่อต้องการความเร็วสูงกว่าความเร็วปกติ ดังรูปที่ 2.42 และเมื่อต้องการความเร็วต่ำกว่าความเร็วปกติ ใช้ความต้านทานปรับค่าได้ (Rheostat) ต่อขนาดกับขดลวดอาร์เมเจอร์ ดังรูปที่ 2.43



รูปที่ 2.42 การควบคุมความเร็วของเตอร์อ่อนุกรมให้สูงกว่าความเร็วปกติ

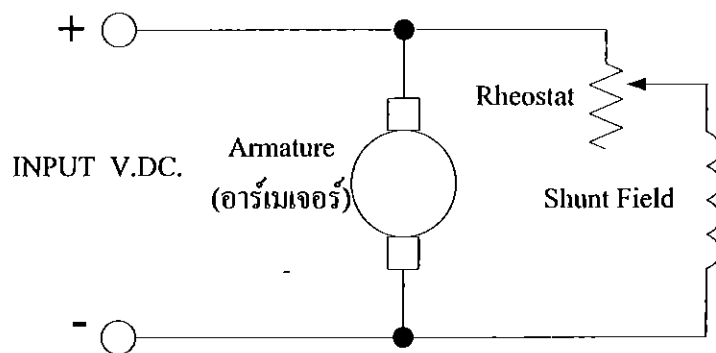


รูปที่ 2.43 การควบคุมความเร็วของเตอร์ให้ต่ำกว่าความเร็วปกติ

2) การควบคุมความเร็วของเตอร์กระแสตรงแบบขนาด (Shunt Motor)

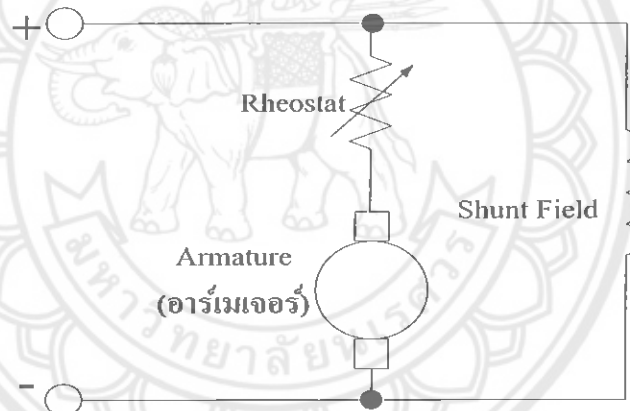
มอเตอร์ไฟฟ้ากระแสตรงแบบขนาดนี้ต่อขดลวดขั้วแม่เหล็ก (Field Coil) ขนาดกับขดลวดชุดอาร์เมเจอร์ จึงเรียกว่า แบบขนาดหรือชันต์มอเตอร์ มอเตอร์แบบนี้มีความเร็วปกติกว่า

(2-1) ถ้าจะทำให้ความเร็วของเตอร์แบบขนาดนี้สูงกว่าปกติ ให้ใช้รีโซสเตต (Rheostat) ต่อ อนุกรมกับขดลวดขั้วแม่เหล็ก เพื่อทำให้ค่ากระแสในขดลวดขั้วแม่เหล็กลดลง เป็นการเพิ่มความเร็ว ของเตอร์แบบขนาดนี้ได้ ดังรูปที่ 2.44



รูปที่ 2.44 การปรับความเร็วของมอเตอร์แบบขานันให้มีความเร็วสูงกว่าปกติโดยใช้รีโอสแตท

(2-2) ถ้าจะให้ความเร็วของมอเตอร์แบบขานันมีความเร็วต่ำกว่าปกติ ดังนี้จะต้องต่อรีโอสแตทดอนุกรมกับขดลวดของอาร์เมจเจอร์ของมอเตอร์



รูปที่ 2.45 การปรับความเร็วของมอเตอร์แบบขานันให้มีความเร็วต่ำกว่าปกติโดยใช้รีโอสแตท

ข้อดีของมอเตอร์กระแสตรงคือ

1. การความคุ้มแรงบิดหรือความเร็วทำได้จ่ายและดีมาก
2. มีผลตอบสนองต่อการเปลี่ยนแปลง (Response) ได้รวดเร็ว
3. การปรับความเร็วสามารถทำได้ในช่วงกว้าง

ข้อเสียของมอเตอร์กระแสตรงคือ

1. การนำรูงรักษางานเนื่องจากมีส่วนสึกหรอของเปล่งถ่าน
2. ราคายังมากเมื่อเทียบกับ AC Motor ที่มีขนาดแรงม้าเท่ากัน
3. มีขนาดใหญ่กว่า AC Motor ที่มีขนาดแรงม้าเท่ากัน
4. หาแหล่งซื้อที่เป็นไฟฟ้ากระแสตรงได้ยาก
5. ไม่สามารถนำไปใช้ในที่มีสารไวไฟได้



บทที่ 3

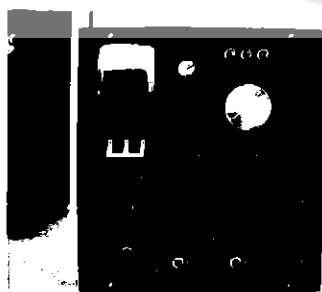
การออกแบบการทดลอง

ในส่วนของรายละเอียดเนื้อหาและหลักการทำงานรวมถึงทฤษฎีต่างๆ ของมอเตอร์กระแสตรงนี้ได้กล่าวมาแล้วในบทที่ 2 ในบทนี้ผู้ชักทำงจะได้ดำเนินการอุปกรณ์ที่ใช้ในการทดลอง ประกอบไปด้วย กระแสตรงและเครื่องกำเนิดไฟฟ้ากระแสตรง เพื่อทดสอบการทำงานของมอเตอร์ตามทฤษฎี ซึ่งรายละเอียดการอุปกรณ์ที่ใช้มีดังนี้

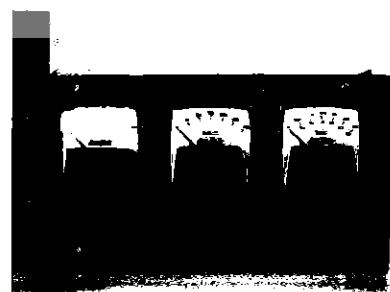
3.1 อุปกรณ์การทดลอง

1. แหล่งจ่ายไฟ (Power Supply)	1	ชุด
2. DC โวลต์มิเตอร์และแอมมิเตอร์ (DC Voltmeter/Ammeter)	3	ชุด
3. DC มอเตอร์/geneator (DC Motor/Generator)	2	ชุด
4. อิเล็กโทรไดนาโนมิเตอร์ (Electrodynamometer)	1	ชุด
5. เครื่องวัดความเร็วรอบ (Tachometer)	1	ชุด
6. สายต่อวงจร (Connection Lead)	1	ชุด
7. สายพาน (Timing Belt)	1	ชุด
8. โหลด (Resistive Load)	1	ชุด

3.1.1 รูปภาพอุปกรณ์และเครื่องมือการทดลอง



รูปที่ 3.1 แหล่งจ่ายไฟ (Power Supply)



รูปที่ 3.2 DC โวลต์มิเตอร์และแอมมิเตอร์



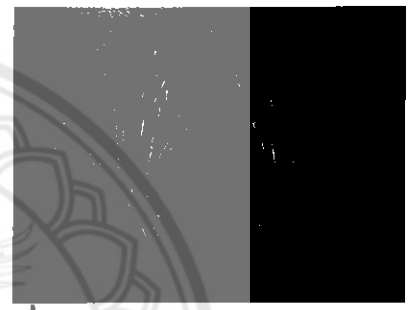
รูปที่ 3.3 DC นอเตอร์/เจนเนอเรเตอร์



รูปที่ 3.4 อิเล็กtroไดนาโมมิเตอร์



รูปที่ 3.5 เครื่องวัดความเร็วอน (Tachometer)



รูปที่ 3.6 สายต่อวงจร (Connection Lead)



รูปที่ 3.7 สายพาน (Timing Belt)



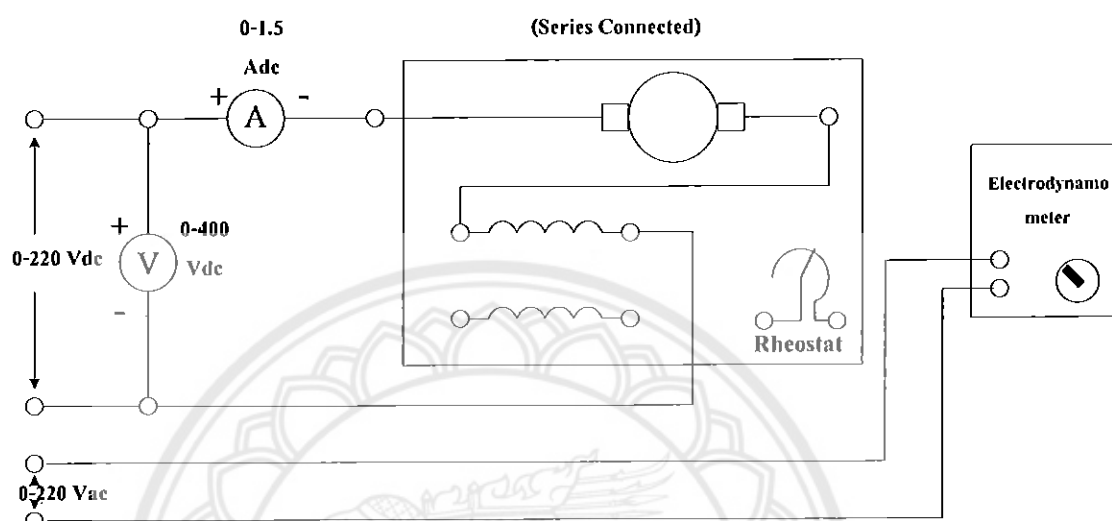
รูปที่ 3.8 โหลด (Resistive Load)

3.2 ขั้นตอนการทดลอง

สำหรับขั้นตอนของการทดลอง ได้แบ่งการทดลองออกเป็น 2 แบบ คือ ทดลองตอนทำงานเป็น นอเตอร์ไฟฟ้ากระแสสลับและตอนที่งานเป็นเป็นเครื่องกำเนิดไฟฟ้ากระแสสลับ ดังนี้

3.2.1 การทดลองมอเตอร์ไฟฟ้ากระแสตรง (DC Motor)

1) มอเตอร์ไฟฟ้ากระแสตรงแบบอนุกรม (Series DC Motor)



รูปที่ 3.9 การต่อมอเตอร์กระแสตรงแบบอนุกรม

1.1) ความสัมพันธ์ระหว่างกระแสอาร์เมเนจอร์, ความเร็วรอบ และแรงบิดของมอเตอร์

- ต่อวงจรตามรูปที่ 3.9 โดยต่ออิเล็กตริคโตร์ในไมเตอร์กับ DC มอเตอร์เข้าด้วยกัน โดยใช้สายพาน ซึ่งเป็นการต่อแบบอนุกรม (ไม่ต่อขดลวดชั้นต์ฟลิต์และรีโอดแทบท)

- เปิดแหล่งจ่ายไฟและค่าอุปกรณ์ ปรับแรงดันดิจิทัลเพิ่มขึ้นจนกระแสผ่านมอเตอร์เริ่มหมุนให้สังเกตทิศทางการหมุน ถ้าไม่หมุนตามเข็มนาฬิกา ให้ปิดแหล่งจ่ายไฟแล้วลับข้อการต่อขดลวดสนาม

- เปิดแหล่งจ่ายแล้วปรับให้แรงดันมีค่า $180 \text{ } V_{dc}$ ซึ่งวัดโดยโอล์ต์มิเตอร์ (V)

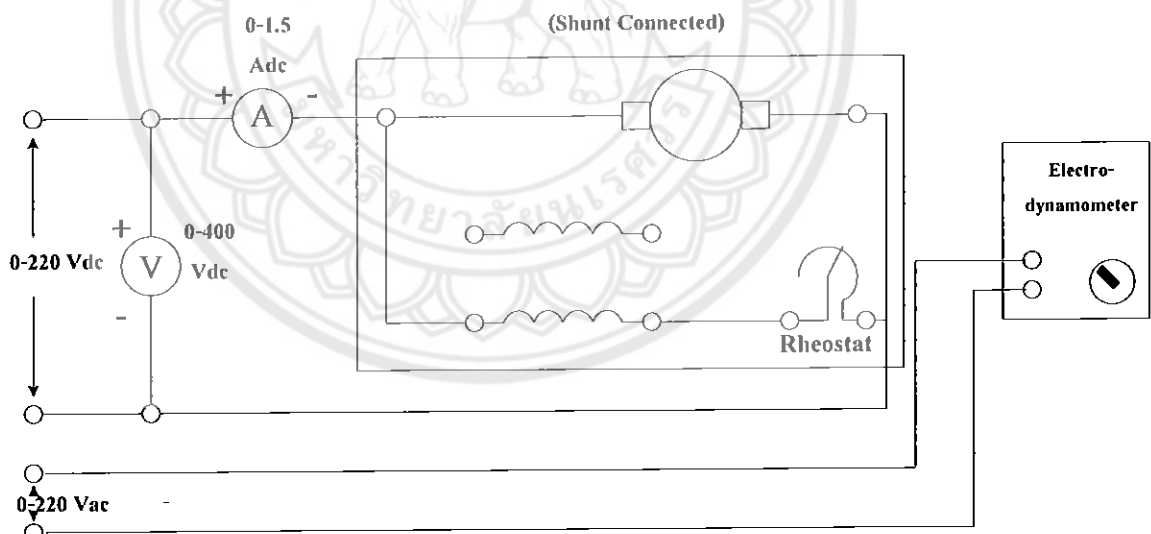
- ก่อๆ เพิ่มโหลดให้สูงขึ้นประมาณ 10 ระดับ โดยหมุนปุ่มควบคุมของอิเล็กตริคโตร์ในไมเตอร์ที่ชี้ค่าแรงบิด ($Torque, T$) โดยเริ่มต้นจากศูนย์ ค่อยปรับแหล่งจ่าย ให้มีแรงดันเข้ามอเตอร์คงที่ $180 \text{ } V_{dc}$ ตลอดเวลา

- อ่านค่ากระแส (Armature Current, I_A) จากแอมมิเตอร์และวัดความเร็วของมอเตอร์ด้วยเครื่องวัดความเร็วรอบ บันทึกค่าลงที่อ่านได้ลงในตาราง

- ทำการทดลองช้า โดยปรับแรงดันให้คงที่ 220 (ค่อยปรับแหล่งจ่าย ให้มีแรงดันเข้ามอเตอร์คงที่ $220 \text{ } V_{dc}$ ตลอดเวลา)

- ทำการทดลองช้า โดยปรับแรงดันให้คงที่ 260 (ค่อยปรับแหล่งจ่าย ให้มีแรงดันเข้ามอเตอร์คงที่ $260 \text{ } V_{dc}$ ตลอดเวลา)

- 1.2) ความสัมพันธ์ระหว่างความเร็วของกับกระแสอาร์เมเนเจอร์
- เปิดแหล่งจ่ายแล้วปรับให้แรงดันมีค่า $180 V_{dc}$ ซึ่งวัดโดยโวลต์มิเตอร์ (V)
 - กำหนดความเร็วของป่ามามา 10 ระดับ
 - เพิ่มโหลดให้สูงขึ้นโดยหมุนปุ่มควบคุมของอิเล็กโทรไดนาโนมิเตอร์ที่ซึ่งค่าแรงบิด (T) โดยเริ่มต้นจากศูนย์ ค่อยๆ หมุนให้ได้ความเร็วของตามที่กำหนดไว้ ค่อยปรับแหล่งจ่ายให้มีแรงดันเข้ามอเตอร์คงที่ $180 V_{dc}$ ตลอดเวลา
 - อ่านค่าแรงบิด (T) จากอิเล็กโทรไดนาโนมิเตอร์ บันทึกค่าคงที่อ่านได้ลงในตาราง
 - อ่านค่ากระแส (I_A) จากแอมมิเตอร์ บันทึกค่าคงที่อ่านได้ลงในตาราง
 - ทำการทดลองซ้ำโดยปรับแรงดันให้คงที่ 220 (ค่อยปรับแหล่งจ่าย ให้มีแรงดันเข้ามอเตอร์คงที่ $220 V_{dc}$ ตลอดเวลา)
 - ทำการทดลองซ้ำโดยปรับแรงดันให้คงที่ 260 (ค่อยปรับแหล่งจ่าย ให้มีแรงดันเข้ามอเตอร์คงที่ $260 V_{dc}$ ตลอดเวลา)
- 2) มอเตอร์ไฟฟ้ากระแสตรงแบบขนาน (Shunt DC Motor)



รูปที่ 3.10 การต่อมอเตอร์กระแสตรงแบบขนาน

- 2.1) ความสัมพันธ์ระหว่างกระแสอาร์เมเนเจอร์, ความเร็วของ และแรงบิดของมอเตอร์
- ต่อวงจรตามรูปที่ 3.10 โดยต่ออิเล็กโทรไดนาโนมิเตอร์กับ DC มอเตอร์ เข้าคัวกันโดยใช้สายพาน ซึ่งเป็นการต่อแบบขนาน (ต่อคลาวด์ชันต์ฟลิต์และรีโซสเตต)

- ปรับลูกบิดให้ความถูมอเล็กโตร ไดนาโนมิเตอร์ไปในตำแหน่งทวนเข็มนาฬิกาจนสุด (เพื่อใช้เป็นโหลดต่ำสุด ตอนเริ่มเดิน DC มอเตอร์)

- เปิดแหล่งจ่ายไฟและค่อยๆ ปรับแรงดัน DC ให้เพิ่มขึ้นจนกระทั่งมอเตอร์เริ่มหมุนให้สังเกตทิศทางการหมุน ถ้าไม่หมุนตามเข็มนาฬิกา ให้ปิดแหล่งจ่ายไฟแล้วสลับขั้วการต่อขดลวดสนาม

- เปิดแหล่งจ่ายแล้วปรับให้แรงดันมีค่า $180 V_{dc}$ ซึ่งวัดโดยโวลต์มิเตอร์ (V)

- ปรับค่าความต้านทานของรีโอสแตท (Rheostat) จนมอเตอร์หมุนที่ความเร็ว 1500 รอบ/นาที (ค่อยปรับแหล่งจ่าย ให้มีแรงดันเข้ามอเตอร์คงที่ $180 V_{dc}$ ตลอดเวลา) บันทึกค่ากระแส และความเร็ว รอบในตาราง (แรงบิด 0 N.m)

- ปรับโหลดของมอเตอร์กระแสตรง โดยหมุนปุ่มควบคุมของอิเล็กโตร ไดนาโนมิเตอร์ซึ่งค่าแรงบิด (Torque, T) ประมาณ 10 ระดับ (ค่อยปรับแหล่งจ่าย ให้มีแรงดันเข้ามอเตอร์คงที่ $180 V_{dc}$ ตลอดเวลา)

- อ่านค่ากระแส (Armature Current, I_A) จากแอมมิเตอร์และวัดความเร็วของมอเตอร์ด้วย เครื่องวัดความเร็วรอบ บันทึกค่าคงที่อ่าน ได้ลงในตาราง

- ทำการทดลองช้ำโดยปรับแรงดันให้คงที่ 220 (ค่อยปรับแหล่งจ่าย ให้มีแรงดันเข้ามอเตอร์คงที่ $220 V_{dc}$ ตลอดเวลา)

- ทำการทดลองช้ำโดยปรับแรงดันให้คงที่ 260 (ค่อยปรับแหล่งจ่าย ให้มีแรงดันเข้ามอเตอร์คงที่ $260 V_{dc}$ ตลอดเวลา)

2.2) ความสัมพันธ์ระหว่างความเร็วรอบกับกระแสอาร์เมเนอร์

- ปรับลูกบิดให้ความถูมอเล็กโตร ไดนาโนมิเตอร์ไปในตำแหน่งทวนเข็มนาฬิกาจนสุด (เพื่อใช้เป็นโหลดต่ำสุด ตอนเริ่มเดิน DC มอเตอร์)

- เปิดแหล่งจ่ายแล้วปรับให้แรงดันมีค่า $180 V_{dc}$ ซึ่งวัดโดยโวลต์มิเตอร์ (V)

- ปรับค่าความต้านทานของรีโอสแตท (Rheostat) จนมอเตอร์หมุนที่ความเร็ว 1500 รอบ/นาที (ค่อยปรับแหล่งจ่าย ให้มีแรงดันเข้ามอเตอร์คงที่ $180 V_{dc}$ ตลอดเวลา) บันทึกค่ากระแสลงในตาราง (แรงบิด 0 N.m)

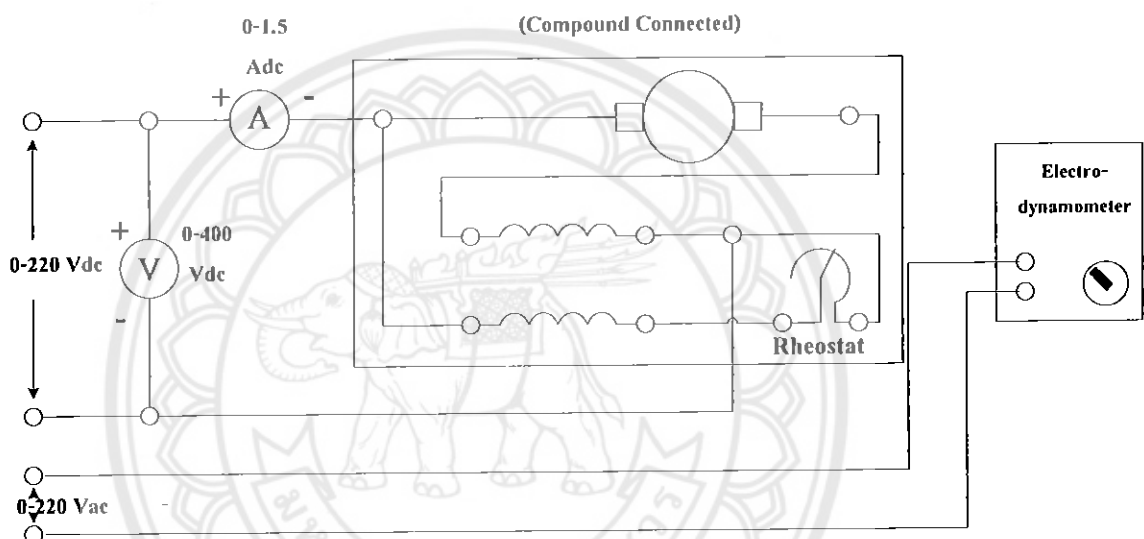
- กำหนดความเร็วรอบประมาณ 10 ระดับ

- ปรับโหลดของมอเตอร์กระแสตรง โดยหมุนปุ่มควบคุมของอิเล็กโตร ไดนาโนมิเตอร์ซึ่งค่าแรงบิด (Torque, T) โดยเริ่มต้นจากศูนย์ ค่อยๆ หมุนให้ได้ตามความเร็วรอบที่กำหนดไว้ (ค่อยปรับแหล่งจ่าย ให้มีแรงดันเข้ามอเตอร์คงที่ $180 V_{dc}$ ตลอดเวลา)

- อ่านค่าแรงบิด (Torque, T) จากอิเล็กโตร ไดนาโนมิเตอร์ บันทึกค่าคงที่อ่าน ได้ลงในตาราง

- อ่านค่ากระแส (Armature Current, I_A) จากแอมมิเตอร์ มันทีกค่าคงที่อ่านได้ลงในตาราง
- ทำการทดลองชี้่า โดยปรับแรงดันให้คงที่ 220 (โดยปรับแหล่งจ่าย ให้มีแรงดันเข้ามอเตอร์ คงที่ 220 V_{dc} ตลอดเวลา)
 - ทำการทดลองชี้่า โดยปรับแรงดันให้คงที่ 260 (โดยปรับแหล่งจ่าย ให้มีแรงดันเข้ามอเตอร์ คงที่ 260 V_{dc} ตลอดเวลา)

3) มอเตอร์ไฟฟ้ากระแสตรงแบบผสม (Compound DC Motor)



รูปที่ 3.11 การต่อวงจรกระแสตรงแบบผสม

- 3.1) ความสัมพันธ์ระหว่างกระแสอาร์เมเนียม, ความเร็วรอบ และแรงบิดของมอเตอร์
- ต่อวงจรตามรูปที่ 3.11 โดยต่ออิเล็กโทร ไดนาโมมิเตอร์กับ DC มอเตอร์ เข้าด้วยกันโดยใช้สายพาน ซึ่งเป็นการต่อแบบผสม (ต่อขดลวดชั้นต่ำพอดีและรี โอสแตท)
 - ปรับถูกนิodic ให้ความคุณลักษณะอิเล็กโทร ไดนาโมมิเตอร์ไปในตำแหน่งทวนเข็มนาฬิกาจนสุด (เพื่อใช้เป็นโหลดค่าสุด ตอนเริ่มเดินทางดีซีมอเตอร์)
 - เปิดแหล่งจ่ายไฟและค่าอย่าง ปรับแรงดันดิซีให้เพิ่มขึ้นจนกระหั่งมอเตอร์เริ่มหมุนให้สังเกตทิศทางการหมุน ถ้าไม่หมุนตามเข็มนาฬิกา ให้ปิดแหล่งจ่ายไฟแล้วสลับขั้วการต่อขดลวดสนาม
 - เปิดแหล่งจ่ายแล้วปรับให้แรงดันมีค่า 180 V_{dc} ซึ่งวัดโดยโวลต์มิเตอร์ (V)

- ปรับค่าความต้านทานของรีโอสแตท (Rheostat) จนมอเตอร์หมุนที่ความเร็ว 1500 รอบ/นาที (ค่อยปรับแหล่งจ่ายให้มีแรงดันเข้ามอเตอร์คงที่ 180 V_{dc} ตลอดเวลา) บันทึกค่ากระแส และความเร็ว รอบในตาราง (แรงบิด 0 N.m)

- ปรับโหลดของมอเตอร์กระแสตรง โดยหมุนปุ่มควบคุมของอิเลคโทรไดนาโนมิเตอร์ซึ่งที่ค่า แรงบิด (Torque, T) ประมาณ 10 ระดับ (ค่อยปรับแหล่งจ่ายให้มีแรงดันเข้ามอเตอร์คงที่ 180 V_{dc} ตลอดเวลา)

- อ่านค่ากระแส (Armature Current, I_A) จากแอนมิเตอร์และวัดความเร็วของมอเตอร์ด้วย เครื่องวัดความเร็วรอบ บันทึกค่าคงที่อ่านได้ลงในตาราง

- ทำการทดลองซ้ำโดยปรับแรงดันไฟฟ้าที่ 220 (ค่อยปรับแหล่งจ่ายให้มีแรงดันเข้ามอเตอร์คงที่ 220 V_{dc} ตลอดเวลา)

- ทำการทดลองซ้ำโดยปรับแรงดันไฟฟ้าที่ 260 (ค่อยปรับแหล่งจ่ายให้มีแรงดันเข้ามอเตอร์คงที่ 260 V_{dc} ตลอดเวลา)

3.2) ความสัมพันธ์ระหว่างความเร็วรอบกับกระแสอาร์เมเจอร์

- ปรับลูกบิดให้ควบคุมอิเลคโทรไดนาโนมิเตอร์ไปในตำแหน่งทวนเข็มนาฬิกาจนสุด (เพื่อใช้ เป็นโหลดต่ำสุด ตอนเริ่มเดิน DC มอเตอร์)

- เปิดแหล่งจ่ายแล้วปรับให้แรงดันมีค่า 180 V_{dc} ซึ่งวัดโดยโวลต์มิเตอร์ (V)

- ปรับค่าความต้านทานของรีโอสแตท (Rheostat) จนมอเตอร์หมุนที่ความเร็ว 1500 รอบ/นาที (ค่อยปรับแหล่งจ่ายให้มีแรงดันเข้ามอเตอร์คงที่ 180 V_{dc} ตลอดเวลา) บันทึกค่ากระแสลงในตาราง (แรงบิด 0 N.m)

- กำหนดความเร็วรอบประมาณ 10 ระดับ

- ปรับโหลดของมอเตอร์กระแสตรง โดยเริ่มต้นจากศูนย์ ค่อยๆ หมุนให้ได้ความเร็วรอบที่กำหนดไว้ (ค่อยปรับแหล่งจ่ายให้มีแรงดันเข้ามอเตอร์คงที่ 180 V_{dc} ตลอดเวลา)

- อ่านค่าแรงบิด (Torque, T) จากอิเลคโทรไดนาโนมิเตอร์ บันทึกค่าคงที่อ่านได้ลงในตาราง

- อ่านค่ากระแส (Armature Current, I_A) จากแอนมิเตอร์ บันทึกค่าคงที่อ่านได้ลงในตาราง

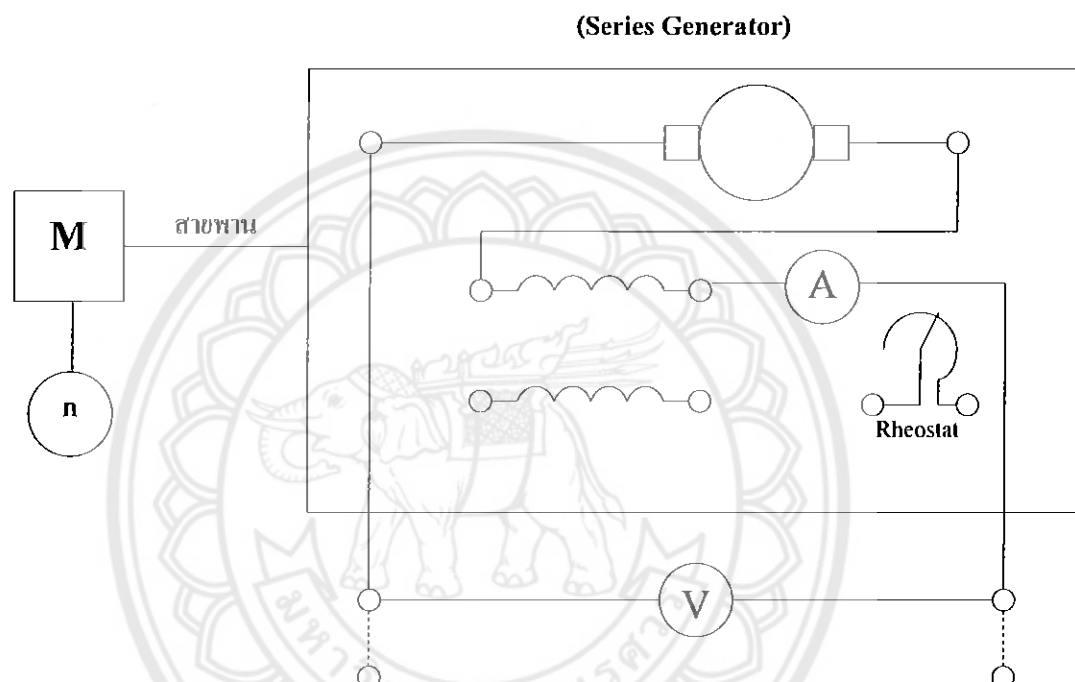
- ทำการทดลองซ้ำโดยปรับแรงดันไฟฟ้าที่ 220 (ค่อยปรับแหล่งจ่ายให้มีแรงดันเข้ามอเตอร์คงที่ 220 V_{dc} ตลอดเวลา)

- ทำการทดลองซ้ำโดยปรับแรงดันไฟฟ้าที่ 260 (ค่อยปรับแหล่งจ่ายให้มีแรงดันเข้ามอเตอร์คงที่ 260 V_{dc} ตลอดเวลา)

3.2.2 การทดลองเครื่องกำเนิดไฟฟ้ากระแสตรง (DC Generator)

1) เครื่องกำเนิดไฟฟ้ากระแสตรงแบบอนุกรม (Series Generator)

1.1) เครื่องกำเนิดไฟฟ้ากระแสตรงแบบอนุกรม ขณะไม่จ่ายโหลด (No-Load หรือ Open Circuit)



รูปที่ 3.12 การต่อเครื่องกำเนิดไฟฟ้าแบบอนุกรม ขณะไม่จ่ายโหลด (No-Load หรือ Open Circuit)

1.1.1) ความสัมพันธ์ระหว่างแรงดันกับความเร็วรอบของ.armature

- ต่อวงจรตามรูปที่ 3.12 โดยต่อเครื่องกำเนิดไฟฟ้ากับมอเตอร์ (เครื่องทันกำลัง) เข้าด้วยกันโดยใช้สายพานซึ่งเป็นการต่อเครื่องกำเนิดไฟฟ้าแบบอนุกรม ขณะไม่จ่ายโหลด (No-Load หรือ Open Circuit)

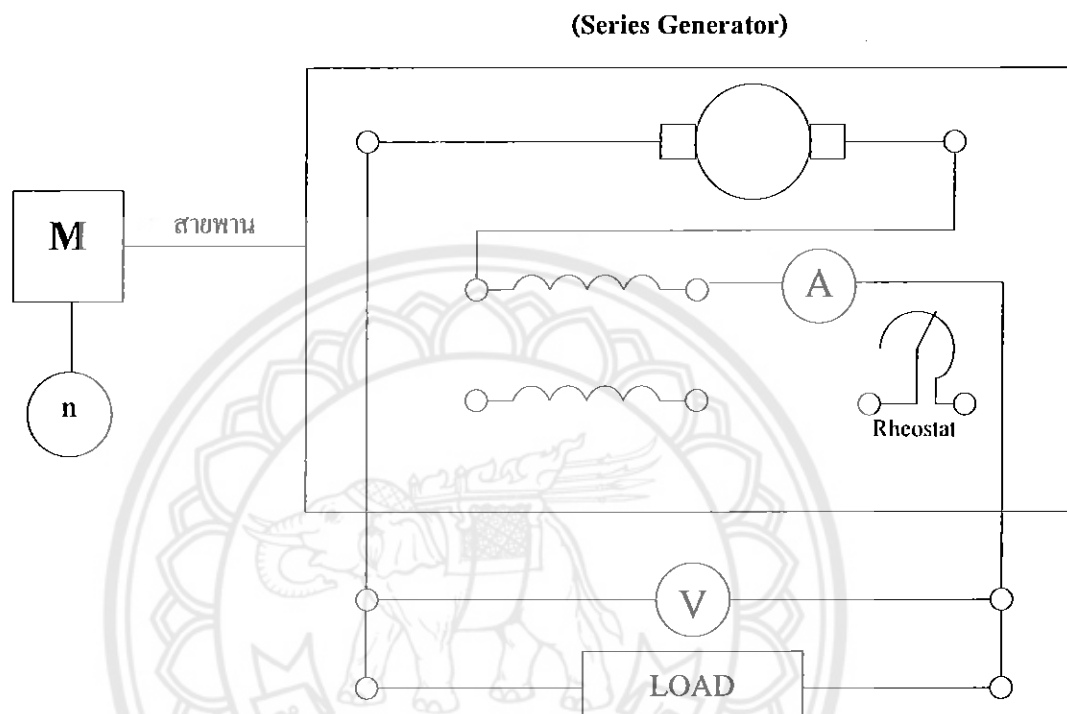
- เปิดแหล่งจ่ายไฟและค่าฯ ปรับแรงดันดีซีให้เพิ่มขึ้นจนกระทั่งมอเตอร์เริ่มหมุนให้สังเกตทิศทางการหมุน ถ้าไม่หมุนตามเข็มนาฬิกา ให้ปิดแหล่งจ่ายไฟแล้วลับข้อการต่อคลาวด์สนาน

- กำหนดความเร็วรอบประมาณ 10 ระดับ

- เปิดแหล่งจ่ายและปรับให้แรงดันให้ได้ความเร็วรอบตามที่กำหนดไว้

- อ่านค่าแรงดันไฟฟ้าที่เครื่องกำเนิดไฟฟ้าขึ้นจากโวลต์มิเตอร์ บันทึกค่าคงที่อ่านได้ลงในตาราง

1.2) เครื่องกำเนิดไฟฟ้ากระแสตรงแบบอนุกรม ขณะจ่ายโหลด (Load Test)



รูปที่ 3.13 การต่อเครื่องกำเนิดไฟฟ้ากระแสตรงแบบอนุกรม ขณะจ่ายโหลด (Load Test)

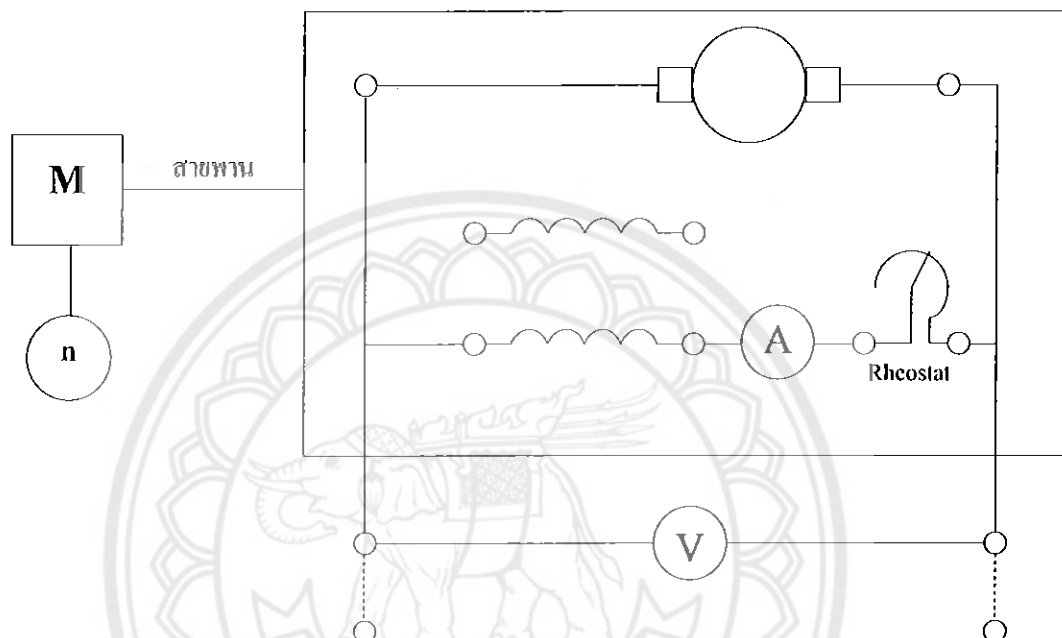
1.2.1) ความสัมพันธ์ระหว่างแรงดันกับกระแสไฟฟ้า

- ต่อวงจรตามรูปที่ 3.13 โดยต่อเครื่องกำเนิดไฟฟ้ากับมอเตอร์ (เครื่องดันกำลัง) เข้าด้วยกันโดยใช้สายพานซึ่งเป็นการต่อเครื่องกำเนิดไฟฟ้าแบบอนุกรม ขณะจ่ายโหลด (Load Test)
 - เปิดแหล่งจ่ายไฟและค่าของ ปรับแรงดันดีซีให้เพิ่มขึ้นจนกระหั่งมอเตอร์เริ่มหมุนให้สังเกตทิศทางการหมุน ถ้าไม่หมุนตามเข็มนาฬิกา ให้ปิดแหล่งจ่ายไฟแล้วสวิตช์การต่อขดลวดสนาม
 - เปิดแหล่งจ่ายและปรับให้แรงดันมีค่า V_{dc} ซึ่งวัดโดยโวลต์มิเตอร์ (V)
 - เพิ่มโหลดโดยใช้ Resistive Load ปรับค่าได้ 7 ระดับ โดยเริ่มต้นจากกระแสไฟมีโหลด
 - อ่านค่ากระแสจากแอมมิเตอร์และวัดความเร็วของมอเตอร์ด้วยเครื่องวัดความเร็วรอบ บันทึกค่าคงที่อ่านได้ลงในตาราง
 - อ่านค่าแรงดันไฟฟ้าที่เครื่องกำเนิดไฟฟ้าขึ้นจากโวลต์มิเตอร์ บันทึกค่าคงที่อ่านได้ลงในตาราง

2) เครื่องกำเนิดไฟฟ้ากระแสตรงแบบขานาน (Shunt Generator)

2.1) เครื่องกำเนิดไฟฟ้ากระแสตรงแบบขานาน ขณะไม่จ่ายโหลด (No-Load หรือ Open Circuit)

(Shunt Generator)



รูปที่ 3.14 การต่อเครื่องกำเนิดไฟฟ้าแบบขานาน ขณะไม่จ่ายโหลด (No-Load หรือ Open Circuit)

2.1.1) ความสัมพันธ์ระหว่างแรงดันดื่นไฟฟ้ากับความเร็วของอาเมเจอร์

- ต่อวงจรตามรูปที่ 3.14 โดยต่อเครื่องกำเนิดไฟฟ้ากับมอเตอร์ (เครื่องต้นกำลัง) เข้าด้วยกันโดยใช้สายพานซึ่งเป็นการต่อเครื่องกำเนิดไฟฟ้าแบบขานาน ขณะไม่จ่ายโหลด (No-Load หรือ Open Circuit)

- เปิดแหล่งจ่ายไฟและค่าอยา ปรับแรงดันดีซีให้เพิ่มขึ้นจนกระหึ่มมอเตอร์เริ่มหมุนให้สังเกตทิศทางการหมุน ถ้าไม่หมุนตามเข็มนาฬิกา ให้ปิดแหล่งจ่ายไฟแล้วสลับขั้วการต่อขดลวดสนาม

- เปิดแหล่งจ่ายแล้วปรับให้แรงดันมีค่า $220 V_{dc}$ ซึ่งวัดโดยโวลต์มิเตอร์ (v)

- กำหนดความเร็วรอบของอาเมเจอร์ ประมาณ 10 ระดับ

- ปรับความเร็วรอบของอาเมเจอร์ให้ได้ตามค่าที่กำหนดไว้ โดยหมุนรีโอดแทบท

- ทุกระดับของความเร็วให้วัดแรงดันดื่นไฟฟ้า แล้วบันทึกลงในตาราง

2.1.2) ความสัมพันธ์ระหว่างแรงดันไฟฟ้ากับกระแสและค่าดูดสนามแม่เหล็ก

- ต่อวงจรตามรูปที่ 3.14 โดยต่อเครื่องกำเนิดไฟฟ้ากับมอเตอร์ (เครื่องตันกำลัง) เข้าด้วยกันโดยใช้สายพานซึ่งเป็นการต่อเครื่องกำเนิดไฟฟ้าแบบขนาน ขณะไม่จ่ายโหลด (No-Load หรือ Open Circuit)

- เปิดแหล่งจ่ายไฟและถอยปุ่มปรับแรงดันดีซีให้เพิ่มขึ้นจนกระทั่งมอเตอร์เริ่มหมุนให้สังเกตทิศทางการหมุน ถ้าไม่หมุนตามที่มุ่งหมายให้ปิดแหล่งจ่ายไฟแล้วลับข้อการต่อของค่าดูดสนามแม่เหล็ก

- เปิดแหล่งจ่ายและปรับให้แรงดันมีค่า $220 V_{dc}$ ซึ่งวัดโดยโวลต์มิเตอร์ (V)

- ปรับความเร็วรอบของอาร์เมจเจอร์ให้ได้ความเร็ว 1500 รอบ/นาที

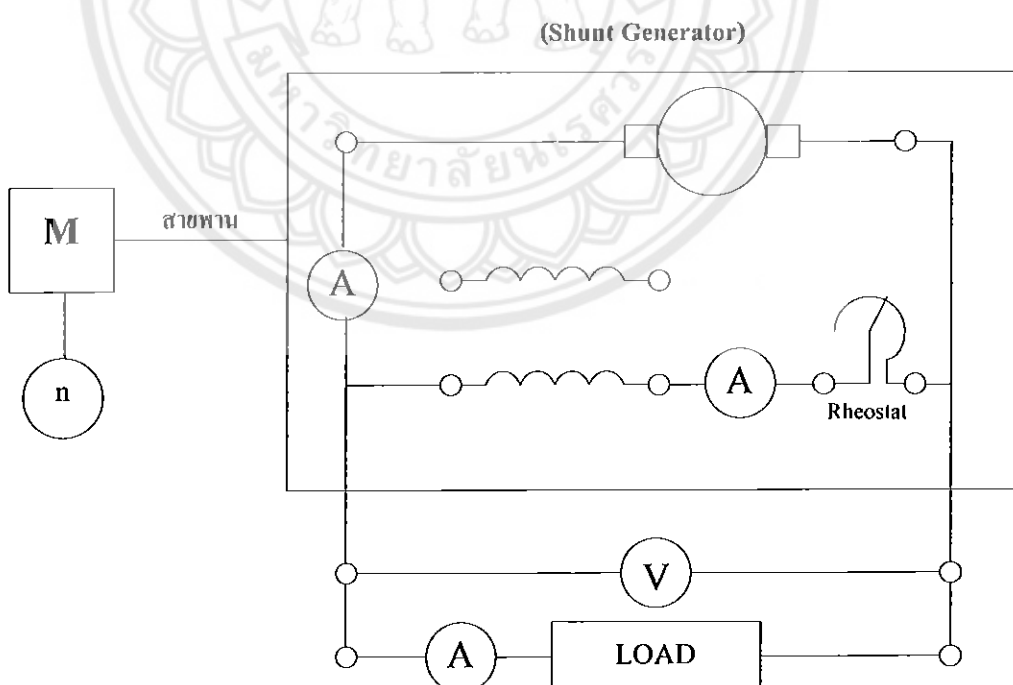
- ปรับความต้านทานของรีโซสเตต ด้วยการเริ่มต้นจาก “0” ไปเรื่อยๆ โดยกำหนดกระแสประมาณ 10 ระดับ

- ทุกๆ ค่าของกระแสให้วัดแรงดันไฟฟ้า บันทึกค่าคงที่อ่านได้ลงในตาราง

- ทำการทดลองซ้ำโดยปรับความเร็วของอาร์เมจเจอร์ให้ได้ความเร็ว 1800 รอบ/นาที

- ทำการทดลองซ้ำโดยปรับความเร็วของอาร์เมจเจอร์ให้ได้ความเร็ว 1200 รอบ/นาที

2.2) เครื่องกำเนิดไฟฟ้ากระแสตรงแบบขนาน ขณะจ่ายโหลด (Load Test)



รูปที่ 3.15 การต่อเครื่องกำเนิดไฟฟ้ากระแสตรงแบบขนาน ขณะจ่ายโหลด (Load Test)

2.2.1) ความสัมพันธ์ระหว่างแรงดันกับกระแสอาร์เมเนอร์และกระแสໂໂລດ

- ต่อวงจรตามรูปที่ 3.15 โดยต่อเครื่องกำเนิดไฟฟ้ากับมอเตอร์ (เครื่องต้นกำลัง) เข้าด้วยกันโดยใช้สายพานซึ่งเป็นการต่อเครื่องกำเนิดไฟฟ้าแบบบานาน ขณะจ่ายໂໂລດ (Load Test)

- เปิดแหล่งจ่ายไฟและค่อยๆ ปรับแรงดันดิจิทัลให้เพิ่มขึ้นจนกระทั่งมอเตอร์เริ่มหมุนให้สังเกตทิศทางการหมุน ถ้าไม่หมุนตามเข็มนาฬิกา ให้ปิดแหล่งจ่ายไฟแล้วสลับขั้วการต่อคลาวด์นานา

- เปิดแหล่งจ่ายแล้วปรับให้แรงดันมีค่า $220 V_{dc}$ ชั่ววัดโดยโวลต์มิเตอร์ (V)

- เพิ่มໂໂລດโดยใช้ Resistive Load ปรับค่าได้ 7 ระดับ โดยเริ่มต้นจากกระแสไม่มีໂໂລດ

- อ่านค่ากระแสอาร์เมเนอร์ I_a จากแอมมิเตอร์ บันทึกค่าคงที่อ่านได้ลงในตาราง

- อ่านค่ากระแสໂໂລດ I_L จากแอมมิเตอร์ บันทึกค่าคงที่อ่านได้ลงในตาราง

- อ่านค่าแรงเคลื่อนไฟฟ้าจากโวลต์มิเตอร์ บันทึกค่าคงที่อ่านได้ลงในตาราง

2.2.2) ความสัมพันธ์ระหว่างแรงดันกับกระแสคลาวด์นานาแม่เหล็กที่ໂໂລດคงที่

- ต่อวงจรตามรูปที่ 3.15 โดยต่อเครื่องกำเนิดไฟฟ้ากับมอเตอร์ (เครื่องต้นกำลัง) เข้าด้วยกันโดยใช้สายพานซึ่งเป็นการต่อเครื่องกำเนิดไฟฟ้าแบบบานาน ขณะจ่ายໂໂລດ (Load Test)

- เปิดแหล่งจ่ายไฟและค่อยๆ ปรับแรงดันดิจิทัลให้เพิ่มขึ้นจนกระทั่งมอเตอร์เริ่มหมุนให้สังเกตทิศทางการหมุน ถ้าไม่หมุนตามเข็มนาฬิกา ให้ปิดแหล่งจ่ายไฟแล้วสลับขั้วการต่อคลาวด์นานา

- เปิดแหล่งจ่ายแล้วปรับให้แรงดันมีค่า $220 V_{dc}$ ชั่ววัดโดยโวลต์มิเตอร์ (V)

- ปรับໂໂລດโดยใช้ Resistive Load ให้ค่าได้ 0.05 A

- กำหนดค่ากระแสคลาวด์นานาแม่เหล็ก ประมาณ 10 ระดับ

- ปรับกระแสคลาวด์นานาแม่เหล็ก ด้วยการปรับความด้านทานของรีโซสเตต์ตามค่าที่กำหนด

- ทุกระดับของกระแสคลาวด์นานาแม่เหล็กที่ໂໂລດคงที่ให้วัดแรงดัน แล้วบันทึกค่าลงในตาราง

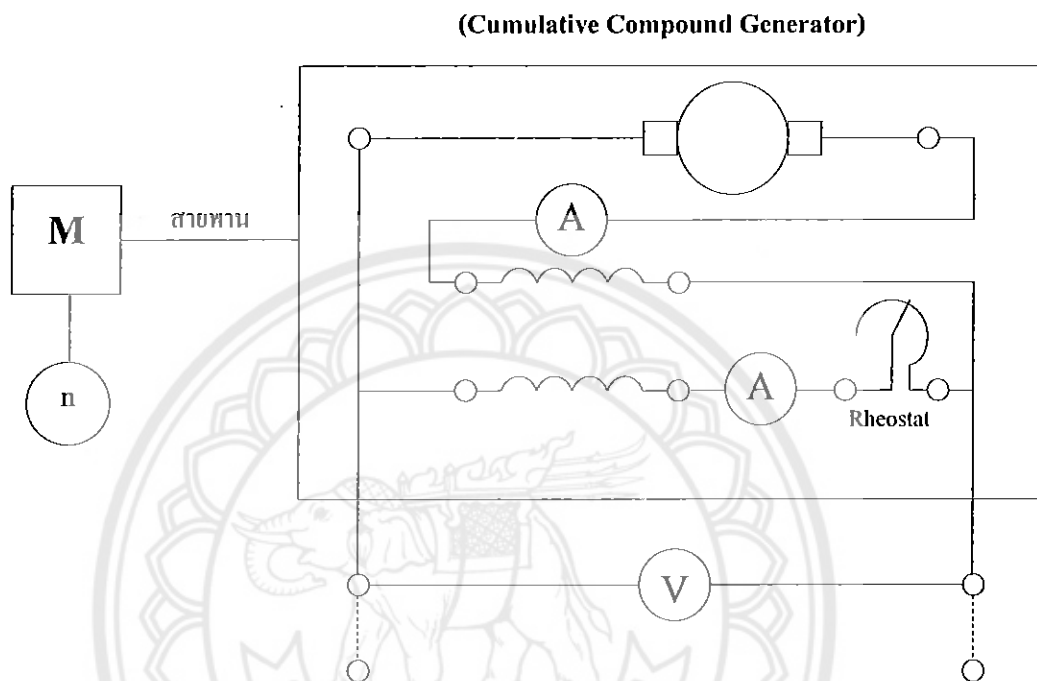
ตาราง

- ทำการทดลองช้าโดยปรับໂໂລດโดยใช้ Resistive Load ให้ค่าได้ 0.1 A

- ทำการทดลองช้าโดยปรับໂໂລດโดยใช้ Resistive Load ให้ค่าได้ 0.2 A

3) เครื่องกำเนิดไฟฟ้ากระแสตรงแบบผสม (Cumulative Compound Generator)

3.1) เครื่องกำเนิดไฟฟ้ากระแสตรงแบบผสม ขณะไม่จ่ายโหลด (No-Load หรือ Open Circuit)



รูปที่ 3.16 การต่อเครื่องกำเนิดไฟฟ้าแบบผสม ขณะไม่จ่ายโหลด (No-Load หรือ Open Circuit)

3.1.1) ความสัมพันธ์ระหว่างแรงดันกับกระแสไฟฟ้า

- ต่อวงจรตามรูปที่ 3.16 โดยต่อเครื่องกำเนิดไฟฟ้ากับมอเตอร์ (เครื่องดันกำลัง) เข้าด้วยกัน โดยใช้สายพานซึ่งเป็นการต่อเครื่องกำเนิดไฟฟ้าแบบผสม ขณะจ่ายโหลด (Load Test)

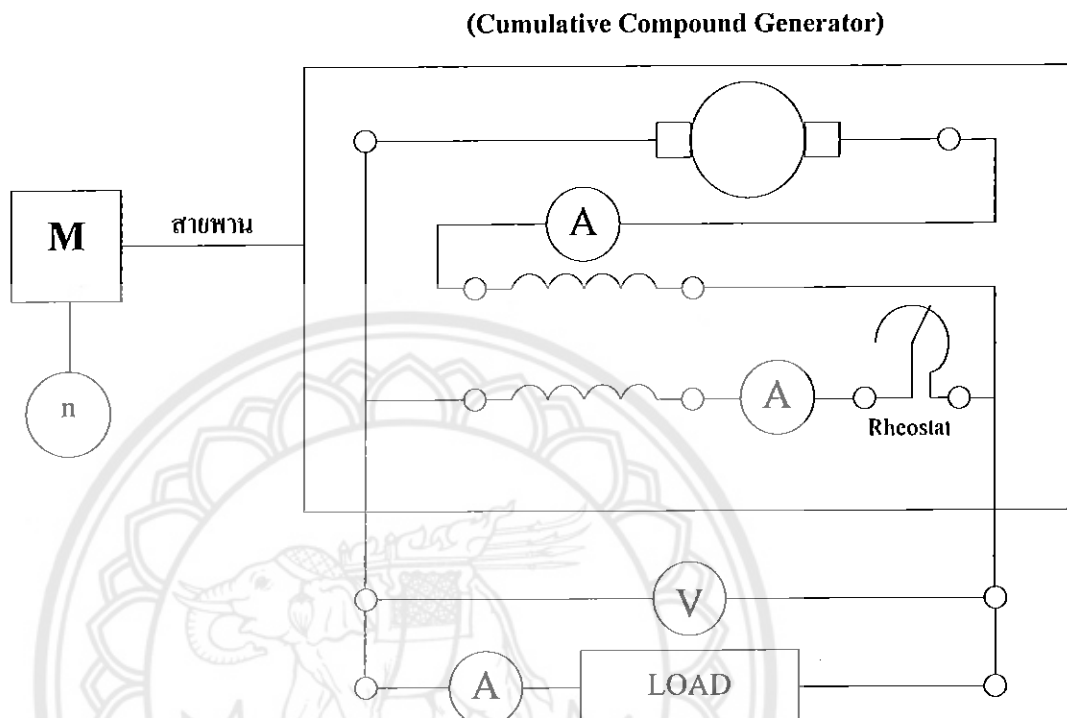
- เปิดแหล่งจ่ายไฟและค้อบฯ ปรับแรงดันดีซีให้เพิ่มขึ้นจนกระแสไฟฟ้าเริ่มหมุนให้สังเกตทิศทางการหมุน ถ้าไม่หมุนตามเข็มนาฬิกา ให้ปิดแหล่งจ่ายไฟแล้วสวัสดับข้อการต่อคลาวด์สนาม

- เปิดแหล่งจ่ายและปรับให้แรงดันมีค่า 220 V_{dc} ชั่วตันโดยโอล์ฟิตอร์ (V)

- ปรับความต้านทานของรีโซสเตท ด้วยการเริ่มต้นจาก “0” ไปเรื่อยๆ โดยกำหนดกระแสประมาณ 10 ระดับ

- ทุกๆ ค่าของกระแสให้วัดแรงดันไฟฟ้าและความเร็วรอบของอาร์เมจอร์ บันทึกค่าลงในตาราง

3.2) การต่อเครื่องกำเนิดไฟฟ้ากระแสตรงแบบผสม ขยะจ่ายโหลด (Load Test)



รูปที่ 3.17 การต่อเครื่องกำเนิดไฟฟ้ากระแสตรงแบบผสม ขยะจ่ายโหลด (Load Test)

3.2.1) ความสัมพันธ์ระหว่างแรงดันกับกระแส

- ต่อวงจรตามรูปที่ 3.17 โดยต่อเครื่องกำเนิดไฟฟ้ากับมอเตอร์ (เครื่องต้นกำลัง) เข้าด้วยกันโดยใช้สายพานซึ่งเป็นการต่อเครื่องกำเนิดไฟฟ้าแบบผสม ขยะจ่ายโหลด (Load Test)
 - เปิดแหล่งจ่ายไฟและก่อขุ่น ปรับแรงดันดีซีให้เพิ่มขึ้นจนกระหั่นของมอเตอร์เริ่มหมุนให้สังเกตทิศทางการหมุน ถ้าไม่หมุนตามเข็มนาฬิกา ให้ปิดแหล่งจ่ายไฟแล้วสลับขั้วการต่อของคลัวด้าน
 - เปิดแหล่งจ่ายไฟและปรับให้แรงดันมีค่า 220 V_{dc} ซึ่งวัดโดยโวลต์มิเตอร์ (**V**)
 - เพิ่มโหลดโดยใช้ Resistive Load ปรับค่าได้ 7 ระดับ โดยเริ่นต้นจากกระแสไม่มีโหลด
 - อ่านค่ากระแสสามแอมป์เรียร์ I_A จากแอมมิเตอร์ บันทึกค่าคงที่อ่านได้ลงในตาราง
 - อ่านค่ากระแสไฟโหลด I_L จากแอมมิเตอร์ บันทึกค่าคงที่อ่านได้ลงในตาราง
 - อ่านค่ากระแสแสงคลัวด I_L จากแอมมิเตอร์ บันทึกค่าคงที่อ่านได้ลงในตาราง
 - อ่านค่าความเร็วรอบของอาร์เมจเจอร์ บันทึกค่าคงที่อ่านได้ลงในตาราง
 - อ่านค่าแรงดันไฟฟ้าจากโวลต์มิเตอร์ บันทึกค่าคงที่อ่านได้ลงในตาราง

3.2.2) ความสัมพันธ์ระหว่างแรงดันกับกระแสไฟโหลดคงที่

- ต่อวงจรตามรูปที่ 3.17 โดยต่อเครื่องกำเนิดไฟฟ้ากับมอเตอร์ (เครื่องดันกำลัง) เข้าด้วยกันโดยใช้สายพานซึ่งเป็นการต่อเครื่องกำเนิดไฟฟ้าแบบผสม ขณะจ่ายโหลด (Load Test)

- เปิดแหล่งจ่ายไฟและค่าอย่า ปรับแรงดันดีซีให้เพิ่มขึ้นจนกระหั่นมอเตอร์เริ่มหมุนให้สังเกตทิศทางการหมุน ถ้าไม่หมุนตามเข็มนาฬิกา ให้ปิดแหล่งจ่ายไฟแล้วลับข้อการต่อขาดลวดสนาม

- เปิดแหล่งจ่ายแล้วปรับให้แรงดันมีค่า $220 V_{dc}$ ซึ่งวัดโดยโวลต์มิเตอร์ (V)

- ปรับโหลดโดยใช้ Resistive Load ให้ค่าได้ 0.05 A

- กำหนดค่ากระแสขดลวดสนามแม่เหล็ก ประมาณ 10 ระดับ

- ปรับกระแสขดลวดสนามแม่เหล็ก ด้วยการปรับความต้านทานของรีโซแทบทตามค่าที่กำหนด

- ทุกระดับของกระแสขดลวดสนามแม่เหล็กที่โหลดคงที่ให้วัดแรงดัน แล้วบันทึกค่าลงในตาราง

- ทำการทดลองซ้ำโดยปรับโหลดโดยใช้ Resistive Load ให้ค่าได้ 0.1 A

- ทำการทดลองซ้ำโดยปรับโหลดโดยใช้ Resistive Load ให้ค่าได้ 0.2 A

บทที่ 4

ผลการทดลอง

สังเกตที่หน้าปัดของมอเตอร์ไฟฟ้ากระแสตรง สังเกตคลาดแบบต่างๆ ของตัวเครื่อง และอ่านค่าพิเศษของเครื่อง กรณีที่ใช้ทำงานเป็นมอเตอร์ไฟฟ้ากระแสตรงและกรณีที่ใช้ทำงานเป็นเครื่องกำเนิดไฟฟ้ากระแสตรง

ตารางที่ 4.1 คุณสมบัติของมอเตอร์ไฟฟ้ากระแสตรง (DC Motor)

Parameters	Value
กำลังไฟฟ้า	175 Watt
ความเร็ว	1,500 rpm
แรงดันไฟฟ้า	220 V
กระแสไฟฟ้า	1.3 A

ตารางที่ 4.2 คุณสมบัติของเครื่องกำเนิดไฟฟ้ากระแสตรง (DC Generator)

Parameters	Value
กำลังไฟฟ้า	110 Watt
ความเร็ว	1,500 rpm
แรงดันไฟฟ้า	220 V
กระแสไฟฟ้า	0.5 A

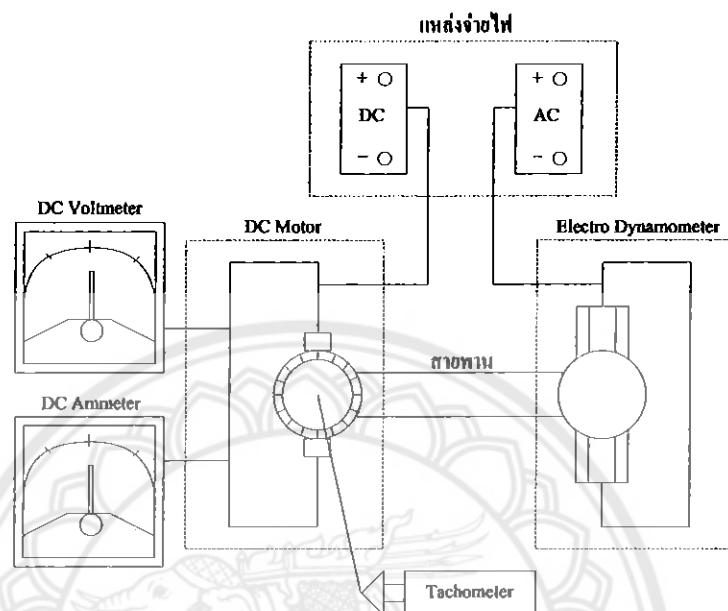
คำนวณหาค่ากำลังไฟฟ้าเข้า (Power Input, P_{in}), กำลังไฟฟ้าออก (Power Output, P_{out}) และประสิทธิภาพ (Efficiency, η) ของมอเตอร์ไฟฟ้ากระแสตรง จากสมการที่ 2.47, 2.48 และ 2.49

$$P_{in} = E.I$$

$$P_{out} = \frac{2\pi n}{60} \text{ ๊ } \text{W}$$

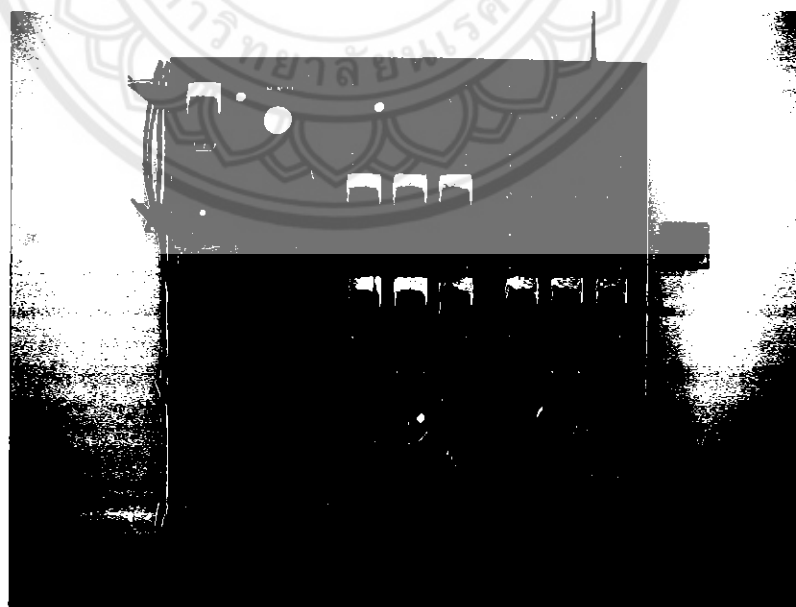
$$\% \eta = \frac{P_{out}}{P_{in}} \times 100$$

4.1 ผลการทดลองมอเตอร์ไฟฟ้ากระแสเดียว (DC Motor)



รูปที่ 4.1 ไคดิจแกรมการเข้มค่าของมอเตอร์

4.1.1 มอเตอร์ไฟฟ้ากระแสเดียวแบบอนุกรำ (Series DC Motor)



รูปที่ 4.2 การค่อมมอเตอร์ไฟฟ้ากระแสเดียวแบบอนุกรำ

ตารางที่ 4.3 ความสัมพันธ์ระหว่างกระแสอาร์เมจอร์, ความเร็ว, แรงบิด แบบอนุกรมที่แรงดัน 180 V

ปรับโคลค ครั้งที่	ค่าที่ได้จากการวัด				ค่าที่ได้จากการคำนวณ		
	<i>E</i>	<i>I</i>	<i>n</i> (rpm)	<i>t</i> (N.m)	<i>P_m</i> (W)	<i>P_{out}</i> (W)	% _h
1	180	0.35	2613	0	63	0	0
2	180	0.4	2348	0.1	72	24.59	34.15
3	180	0.48	2061	0.2	86.4	43.16	49.95
4	180	0.52	1869	0.3	93.6	58.71	62.72
5	180	0.61	1707	0.4	109.8	71.50	65.12
6	180	0.69	1604	0.5	124.2	83.98	67.62
7	180	0.72	1507	0.6	129.6	94.69	73.06
8	180	0.8	1414	0.7	144	103.65	71.98
9	180	0.89	1312	0.8	160.2	109.91	68.61
10	180	0.95	1255	0.9	171	118.28	69.17
11	180	0.99	1215	1	178.2	127.23	71.40

ตารางที่ 4.4 ความสัมพันธ์ระหว่างความเร็วของกับกระแสอาร์เมจอร์ แบบอนุกรมที่แรงดัน 180 V

ปรับโคลค ครั้งที่	ค่าที่ได้จากการวัด				ค่าที่ได้จากการคำนวณ		
	<i>E</i>	<i>I</i>	<i>n</i> (rpm)	<i>t</i> (N.m)	<i>P_m</i> (W)	<i>P_{out}</i> (W)	% _h
1	180	0.35	2500	0	63	0	0
2	180	0.4	2400	0.08	72	20.11	27.93
3	180	0.42	2300	0.12	75.6	28.9	38.23
4	180	0.46	2200	0.16	82.8	36.86	44.52
5	180	0.49	2100	0.19	88.2	41.78	47.37
6	180	0.51	2000	0.22	91.8	46.07	50.18
7	180	0.55	1900	0.28	99	55.71	56.27
8	180	0.59	1800	0.33	106.2	62.2	58.57
9	180	0.62	1700	0.38	111.6	67.65	60.62
10	180	0.69	1600	0.48	124.2	80.42	64.75
11	180	0.75	1500	0.59	135	92.67	68.64

ตารางที่ 4.5 ความสัมพันธ์ระหว่างกระแสอาร์เมเจอร์, ความเร็ว, แรงบิด แบบอนุกรมที่แรงดัน 220 V

ปรับโหลด ครั้งที่	ค่าที่ได้จากการวัด				ค่าที่ได้จากการคำนวณ		
	<i>E</i>	<i>I</i>	<i>n</i> (rpm)	<i>t</i> (N.m)	<i>P_{in}</i> (W)	<i>P_{out}</i> (W)	% <i>h</i>
1	220	0.35	3197	0	77	0	0
2	220	0.41	2881	0.1	90.2	30.17	33.45
3	220	0.5	2510	0.2	110	52.57	47.79
4	220	0.55	2305	0.3	121	72.41	59.84
5	220	0.61	2093	0.4	134.2	87.67	65.33
6	220	0.7	1955	0.5	154	102.36	66.47
7	220	0.76	1832	0.6	167.2	115.11	68.85
8	220	0.81	1741	0.7	178.2	127.62	71.62
9	220	0.88	1654	0.8	193.6	138.56	71.57
10	220	0.91	1577	0.9	200.2	148.63	74.24
11	220	1	1517	1	220	158.86	72.21

ตารางที่ 4.6 ความสัมพันธ์ระหว่างความเร็วของกับกระแสอาร์เมเจอร์ แบบอนุกรมที่แรงดัน 220 V

ปรับโหลด ครั้งที่	ค่าที่ได้จากการวัด				ค่าที่ได้จากการคำนวณ		
	<i>E</i>	<i>I</i>	<i>n</i> (rpm)	<i>t</i> (N.m)	<i>P_{in}</i> (W)	<i>P_{out}</i> (W)	% <i>h</i>
1	220	0.5	2500	0.18	110	47.12	42.84
2	220	0.51	2400	0.24	112.2	60.32	53.76
3	220	0.52	2300	0.27	114.4	65.03	56.84
4	220	0.58	2200	0.32	127.6	73.72	57.77
5	220	0.61	2100	0.37	134.2	81.37	60.63
6	220	0.67	2000	0.45	147.4	94.25	63.94
7	220	0.71	1900	0.54	156.2	107.44	68.78
8	220	0.76	1800	0.61	167.2	114.98	68.77
9	220	0.82	1700	0.71	180.4	126.39	70.06
10	220	0.91	1600	0.84	200.2	140.74	70.3
11	220	1.02	1500	1.0	224.4	157.08	70

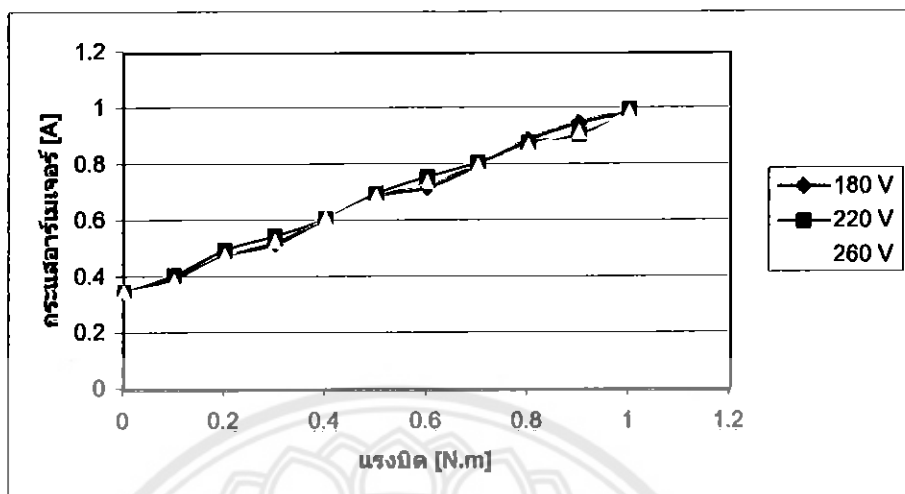
ตารางที่ 4.7 ความสัมพันธ์ระหว่างกระแสอาร์เมจอร์, ความเร็ว, และบิด แบบอนุกรมที่แรงดัน 260 V

ปรับโหลด ครั้งที่	ค่าที่ได้จากการวัด				ค่าที่ได้จากการคำนวณ		
	<i>E</i>	<i>I</i>	<i>n</i> (rpm)	<i>t</i> (N.m)	<i>P_{in}</i> (W)	<i>P_{out}</i> (W)	% <i>h</i>
1	260	0.35	3704	0	91	0	0
2	260	0.39	3510	0.1	101.4	36.76	36.25
3	260	0.48	3110	0.2	124.8	65.14	52.2
4	260	0.53	2840	0.3	137.8	89.22	64.75
5	260	0.61	2569	0.4	158.6	107.61	67.85
6	260	0.69	2404	0.5	179.4	125.87	70.16
7	260	0.74	2253	0.6	192.4	141.56	73.57
8	260	0.8	2151	0.7	208	157.68	75.81
9	260	0.87	2033	0.8	226.2	170.32	75.29
10	260	0.92	1922	0.9	239.2	181.14	75.73
11	260	0.99	1850	1	257.4	193.73	75.26

ตารางที่ 4.8 ความสัมพันธ์ระหว่างความเร็วของกับกระแสอาร์เมจอร์ แบบอนุกรมที่แรงดัน 260 V

ปรับโหลด ครั้งที่	ค่าที่ได้จากการวัด				ค่าที่ได้จากการคำนวณ		
	<i>E</i>	<i>I</i>	<i>n</i> (rpm)	<i>t</i> (N.m)	<i>P_{in}</i> (W)	<i>P_{out}</i> (W)	% <i>h</i>
1	260	0.6	2500	0.33	156	86.39	55.38
2	260	0.63	2400	0.39	163.8	98.02	59.84
3	260	0.67	2300	0.45	174.2	108.38	62.22
4	260	0.72	2200	0.53	187.2	122.1	65.22
5	260	0.79	2100	0.62	205.4	136.34	66.38
6	260	0.82	2000	0.7	213.2	146.61	68.76
7	260	0.9	1900	0.83	234	165.14	70.57
8	260	0.99	1800	0.96	257.4	180.95	70.3
9	260	1.1	1700	1.14	286	202.95	70.96
10	260	1.18	1600	1.31	306.8	219.49	71.54
11	260	1.3	1500	1.5	338	235.62	69.71

a) กราฟความสัมพันธ์ระหว่างแรงบิดกับกระแสอาร์เมเนเจอร์



รูปที่ 4.3 กราฟความสัมพันธ์ระหว่างแรงบิดกับกระแสอาร์เมเนเจอร์

จากสมการที่ 2.29

$$\tau = K\phi I$$

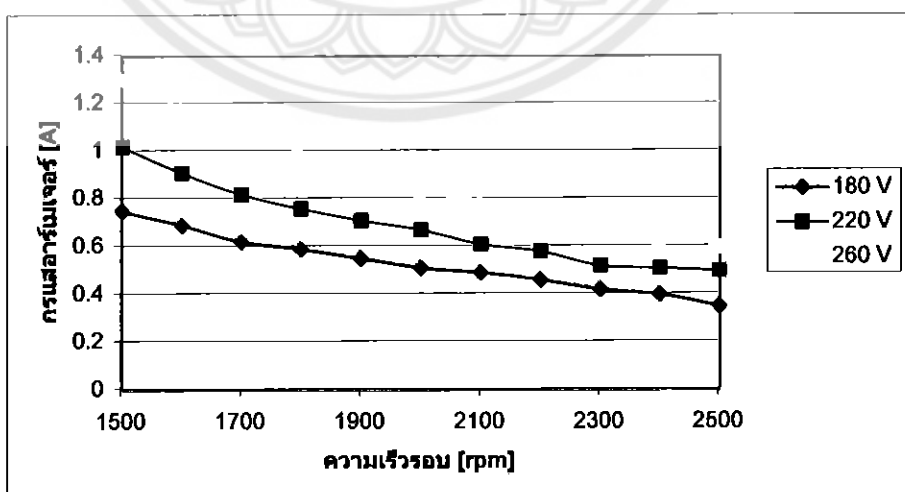
จะได้ว่า $\tau \propto \phi$ และ $\tau \propto I$

ดังนั้น $\tau \approx I^2$

I เพิ่มขึ้น ; τ เพิ่มขึ้น

I ลดลง ; τ ลดลง

b) กราฟความสัมพันธ์ระหว่างความเร็วรอบกับกระแสอาร์เมเนเจอร์



รูปที่ 4.4 กราฟความสัมพันธ์ระหว่างความเร็วรอบกับกระแสอาร์เมเนเจอร์

จากสมการที่ 2.29 และ 2.48

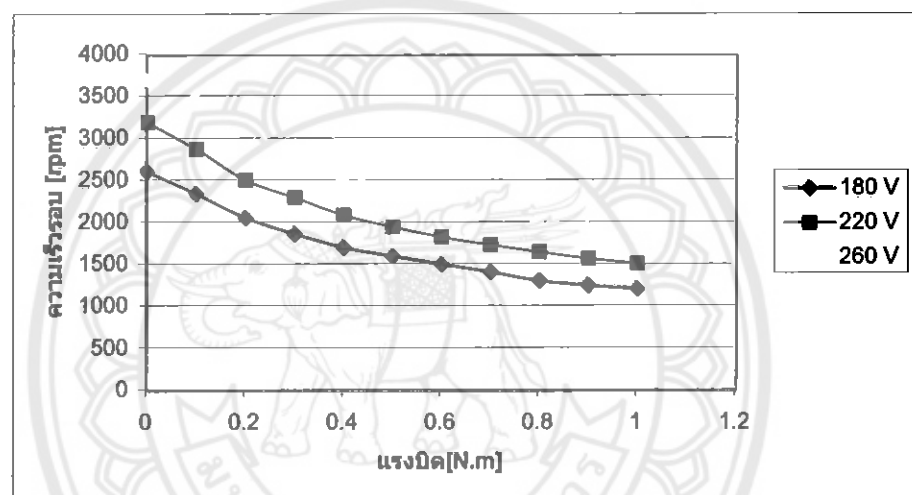
$$n = \frac{E}{K \times \phi} ; \phi = I$$

$$\text{จะได้ว่า } n \propto \frac{1}{\phi} \Rightarrow n \propto \frac{1}{I}$$

I เพิ่มขึ้น ; n ลดลง

I ลดลง ; n เพิ่มขึ้น

ค) กราฟความสัมพันธ์ระหว่างความเร็วอบกับแรงบิด



รูปที่ 4.5 กราฟความสัมพันธ์ระหว่างความเร็วอบกับแรงบิด

จากสมการที่ 2.48

$$P_{out} = \frac{2\pi \times n \times \tau}{60} = \frac{\pi \times n \times \tau}{30}$$

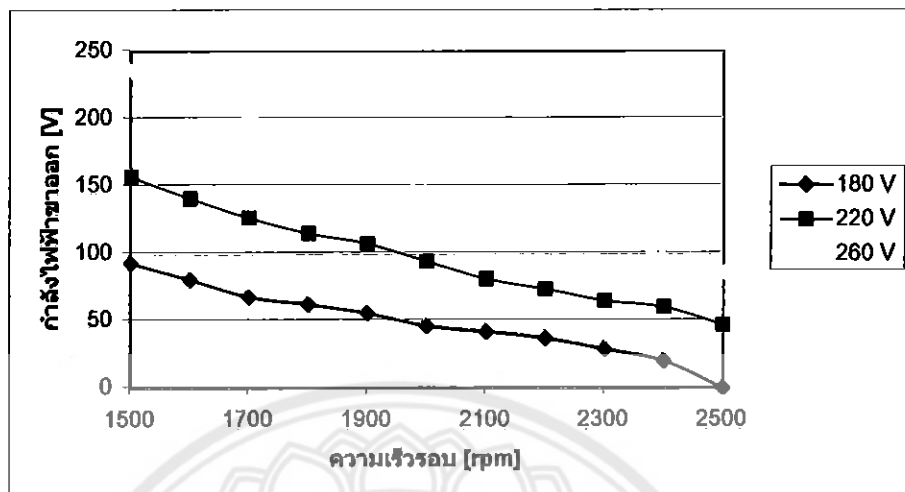
$$n = \frac{30 \times P_{out}}{\pi \times \tau} ; \text{ ให้ } P_{out} = \text{ค่าคงที่}$$

$$\text{จะได้ว่า } n \propto \frac{1}{\tau}$$

τ เพิ่มขึ้น ; n ลดลง

τ ลดลง ; n เพิ่มขึ้น

d) กราฟความสัมพันธ์ระหว่างความเร็วรอบกับกำลังไฟฟ้าคงออก



รูปที่ 4.6 กราฟความสัมพันธ์ระหว่างความเร็วรอบกับกำลังไฟฟ้าคงอออก

จากสมการที่ 2.48

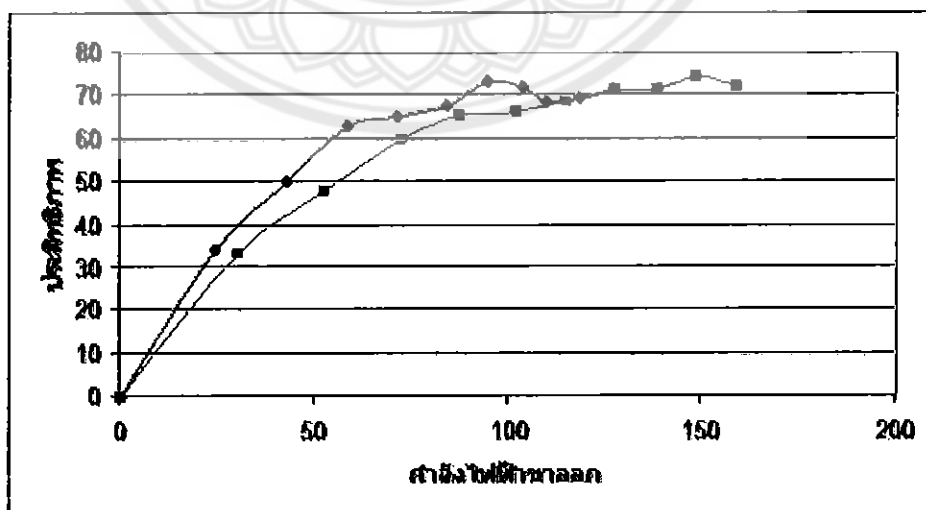
$$P_{out} = \frac{2\pi \times n \times \tau}{60} = \frac{\pi \times n \times \tau}{30}$$

$$n \propto \frac{1}{\tau}$$

จะได้ว่า τ เพิ่มขึ้น ; n ลดลง ; P_{out} เพิ่มขึ้น

τ ลดลง ; n เพิ่มขึ้น ; P_{out} ลดลง

e) กราฟความสัมพันธ์ระหว่างประสิทธิภาพกับกำลังไฟฟ้าคงออก 180, 220, 260 V



รูปที่ 4.7 กราฟความสัมพันธ์ระหว่างประสิทธิภาพกับกำลังไฟฟ้าคงออก 180, 220, 260 V

จากสมการที่ 2.47, 2.48 และ 2.49

$$P_{out} = \frac{2\pi \times n \times \tau}{60} = \frac{\pi \times n \times \tau}{30}$$

$$P_{in} = E \times I$$

$$\eta = \frac{P_{out}}{P_{in}} \times 100 \Rightarrow \eta = \frac{\pi \times n \times \tau}{30 \times E \times I}$$

$$\text{ดังนั้น } \eta \propto n \times \tau \text{ และ } \eta \propto \frac{1}{E \times I}$$

ประสิทธิภาพของมอเตอร์จะขึ้นอยู่กับ 4 ตัวแปร คือไปนี้

- 1) ความเร็ว : n
- 2) แรงบิด : τ
- 3) กระแส : I
- 4) แรงดัน : E

n เพิ่มขึ้น ; η เพิ่มขึ้น : เมื่อ τ, E, I คงที่

τ เพิ่มขึ้น ; η เพิ่มขึ้น : เมื่อ n, E, I คงที่

E ลดลง ; η เพิ่มขึ้น : เมื่อ τ, n, I คงที่

I ลดลง ; η เพิ่มขึ้น : เมื่อ τ, n, E คงที่

4.1.2 มอเตอร์ไฟฟ้ากระแสตรงแบบขนาน (Shunt DC Motor)



รูปที่ 4.8 การต่อมอเตอร์ไฟฟ้ากระแสตรงแบบขนาน

ตารางที่ 4.9 ความสัมพันธ์ระหว่างกระแสอาร์เมเนเจอร์, ความเร็ว, แรงบิด แบบบานานที่แรงดัน 180 V

ปรับโหลด ครั้งที่	ค่าที่ได้จากการวัด				ค่าที่ได้จากการคำนวณ		
	<i>E</i>	<i>I</i>	<i>n</i> (rpm)	<i>t</i> (N.m)	<i>P_{in}</i> (W)	<i>P_{out}</i> (W)	% <i>h</i>
1	180	0.3	1500	0	54	0	0
2	180	0.39	1450	0.1	70.2	15.18	21.62
3	180	0.45	1403	0.2	81	29.38	36.27
4	180	0.52	1378	0.3	93.6	43.29	46.25
5	180	0.61	1343	0.4	109.8	56.25	51.23
6	180	0.7	1317	0.5	126	68.95	54.72
7	180	0.79	1295	0.6	142.2	81.37	57.22
8	180	0.9	1257	0.7	162	92.14	56.87
9	180	0.97	1247	0.8	174.6	104.47	59.83
10	180	1.08	1228	0.9	194.6	115.73	59.53
11	180	1.15	1207	1	207	126.4	61.06

ตารางที่ 4.10 ความสัมพันธ์ระหว่างความเร็ว robust กับกระแสอาร์เมเนเจอร์ แบบบานานที่แรงดัน 180 V

ปรับโหลด ครั้งที่	ค่าที่ได้จากการวัด				ค่าที่ได้จากการคำนวณ		
	<i>E</i>	<i>I</i>	<i>n</i> (rpm)	<i>t</i> (N.m)	<i>P_{in}</i> (W)	<i>P_{out}</i> (W)	% <i>h</i>
1	180	0.3	1500	0	54	0	0
2	180	0.35	1480	0.06	63	9.3	14.76
3	180	0.4	1460	0.12	72	18.35	25.48
4	180	0.44	1440	0.17	79.2	25.63	32.36
5	180	0.49	1420	0.21	88.2	31.23	35.41
6	180	0.52	1400	0.27	93.6	39.58	42.28
7	180	0.59	1380	0.34	106.2	49.13	46.26
8	180	0.64	1360	0.4	115.2	56.97	49.45
9	180	0.71	1340	0.5	127.8	70.16	54.9
10	180	0.82	1320	0.61	147.6	84.32	57.13
11	180	0.91	1300	0.73	163.8	99.38	60.67

ตารางที่ 4.11 ความสัมพันธ์ระหว่างกระแสอาร์เมเจอร์, ความเร็ว, แรงบิด แบบขนาดที่แรงดัน 220 V

ปรับโหลด ครั้งที่	ค่าที่ได้จากการวัด				ค่าที่ได้จากการคำนวณ		
	E	I	n (rpm)	t (N.m)	P_{in} (W)	P_{out} (W)	% h
1	220	0.3	1500	0	66	0	0
2	220	0.35	1478	0.1	77	15.48	20.1
3	220	0.41	1452	0.2	90.2	30.41	33.71
4	220	0.5	1435	0.3	110	45.08	40.98
5	220	0.58	1416	0.4	127.6	59.51	46.48
6	220	0.64	1398	0.5	140.8	73.2	51.99
7	220	0.7	1384	0.6	154	86.96	56.47
8	220	0.79	1364	0.7	173.8	99.99	57.53
9	220	0.83	1346	0.8	182.6	112.76	61.75
10	220	0.91	1333	0.9	200.2	125.63	62.75
11	220	1.01	1319	1	222.2	138.13	62.16

ตารางที่ 4.12 ความสัมพันธ์ระหว่างความเร็วของกับกระแสอาร์เมเจอร์ แบบขนาดที่แรงดัน 220 V

ปรับโหลด ครั้งที่	ค่าที่ได้จากการวัด				ค่าที่ได้จากการคำนวณ		
	E	I	n (rpm)	t (N.m)	P_{in} (W)	P_{out} (W)	% h
1	220	0.32	1500	0	70.4	0	0
2	220	0.41	1480	0.14	90.2	21.7	24.06
3	220	0.48	1460	0.22	105.6	33.64	31.86
4	220	0.54	1440	0.32	118.8	48.25	40.61
5	220	0.6	1420	0.38	132	56.51	42.81
6	220	0.64	1400	0.46	140.8	67.44	47.9
7	220	0.72	1380	0.6	158.4	86.71	54.74
8	220	0.81	1360	0.7	178.2	99.69	55.94
9	220	0.92	1340	0.82	202.4	115.06	56.85
10	220	1.02	1320	1	224.4	138.23	61.6
11	220	1.12	1300	1.11	246.4	151.11	61.33

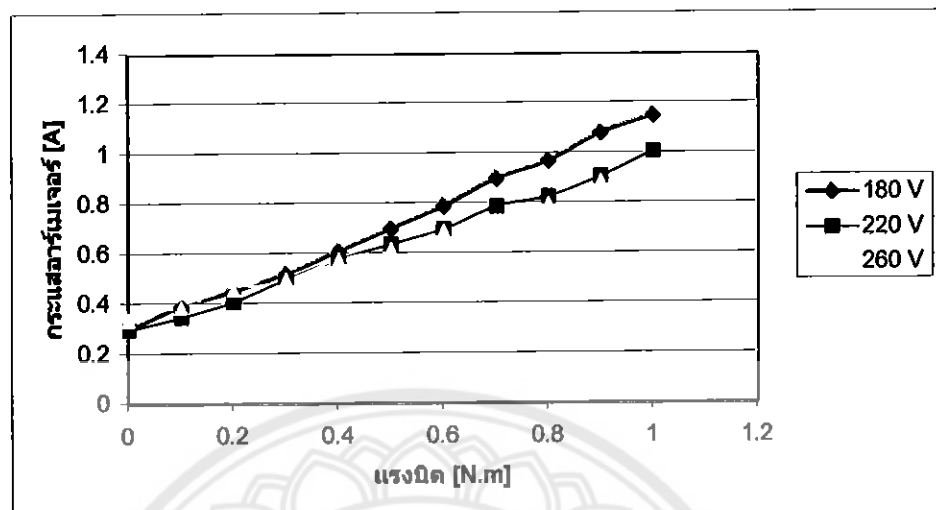
ตารางที่ 4.13 ความสัมพันธ์ระหว่างกระแสอาร์เมจอร์, ความเร็ว, แรงบิด แบบบานานที่แรงดัน 260 V

ปรับโหลด ครั้งที่	ค่าที่ได้จากการวัด				ค่าที่ได้จากการคำนวณ		
	<i>E</i>	<i>I</i>	<i>n</i> (rpm)	<i>t</i> (N.m)	<i>P_{in}</i> (W)	<i>P_{out}</i> (W)	% <i>h</i>
1	260	0.34	1500	0	88.4	0	0
2	260	0.39	1475	0.1	101.4	15.45	15.24
3	260	0.46	1470	0.2	119.6	30.79	25.74
4	260	0.5	1457	0.3	130	45.77	35.21
5	260	0.58	1446	0.4	150.8	60.57	40.12
6	260	0.62	1436	0.5	161.2	75.19	46.64
7	260	0.69	1429	0.6	179.4	89.79	50.05
8	260	0.72	1424	0.7	187.2	104.38	55.76
9	260	0.8	1404	0.8	208	117.62	56.55
10	260	0.89	1388	0.9	231.4	130.82	56.53
11	260	0.93	1384	1	241.8	144.93	59.99

ตารางที่ 4.14 ความสัมพันธ์ระหว่างความเร็วอนกับกระแสอาร์เมจอร์ แบบบานานที่แรงดัน 260 V

ปรับโหลด ครั้งที่	ค่าที่ได้จากการวัด				ค่าที่ได้จากการคำนวณ		
	<i>E</i>	<i>I</i>	<i>n</i> (rpm)	<i>t</i> (N.m)	<i>P_{in}</i> (W)	<i>P_{out}</i> (W)	% <i>h</i>
1	260	0.35	1500	0	91	0	0
2	260	0.49	1480	0.24	127.4	37.19	29.19
3	260	0.59	1460	0.4	153.4	61.15	39.86
4	260	0.68	1440	0.55	176.8	82.94	46.91
5	260	0.79	1420	0.73	205.4	108.55	52.85
6	260	0.91	1400	0.92	236.6	134.88	57.01
7	260	1.08	1380	1.12	280.8	161.85	57.64
8	260	1.23	1360	1.38	319.8	196.54	61.46
9	260	1.39	1340	1.56	361.4	218.9	60.57
10	260	1.52	1320	1.71	395.2	236.37	59.81
11	260	1.65	1300	1.83	429	249.13	58.07

a) กราฟความสัมพันธ์ระหว่างแรงบิดกับกระแสอาร์เมเนอร์



รูปที่ 4.9 กราฟความสัมพันธ์ระหว่างแรงบิดกับกระแสอาร์เมเนอร์

จากสมการที่ 2.29

$$\tau = K\phi I$$

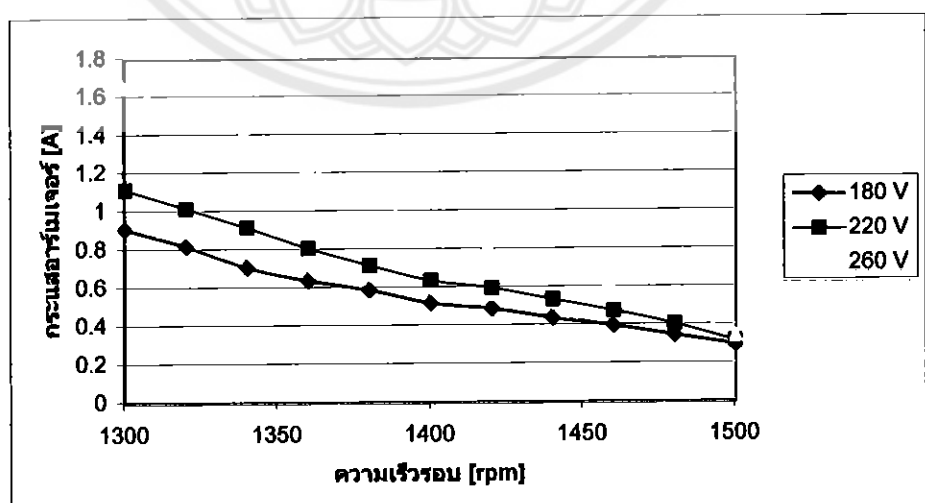
จะได้ว่า $\tau \propto \phi$ และ $\tau \propto I$

ดังนั้น $\tau \propto I$

I เพิ่มขึ้น ; τ เพิ่มขึ้น

I ลดลง ; τ ลดลง

b) กราฟความสัมพันธ์ระหว่างความเร็วรอบกับกระแสอาร์เมเนอร์



รูปที่ 4.10 กราฟความสัมพันธ์ระหว่างความเร็วรอบกับกระแสอาร์เมเนอร์

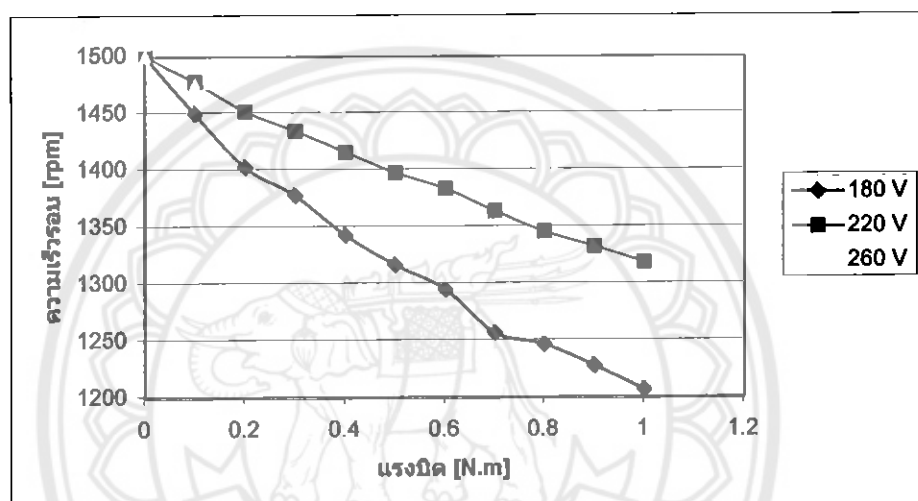
จากสมการที่ 2.29 และ 2.48 $n = \frac{E}{K \times \phi}$; $\phi = I$

จะได้ว่า $n \propto \frac{1}{\phi} \Rightarrow n \propto \frac{1}{I}$

I เพิ่มขึ้น ; n ลดลง

I ลดลง ; n เพิ่มขึ้น

ค) กราฟความสัมพันธ์ระหว่างความเร็วรอบกับแรงบิด



รูปที่ 4.11 กราฟความสัมพันธ์ระหว่างความเร็วรอบกับแรงบิด

จากสมการที่ 2.48

$$P_{out} = \frac{2\pi \times n \times \tau}{60} = \frac{\pi \times n \times \tau}{30}$$

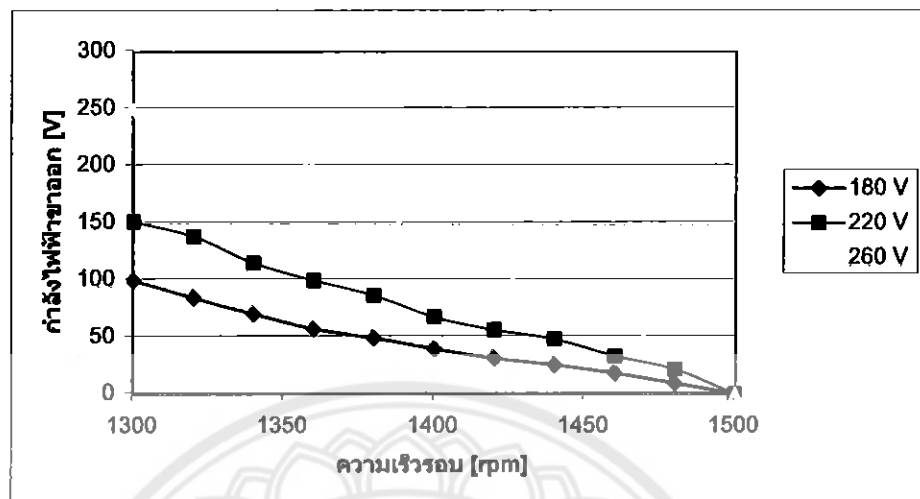
$$n = \frac{30 \times P_{out}}{\pi \times \tau} ; \text{ ให้ } P_{out} = \text{ค่าคงที่}$$

จะได้ว่า $n \propto \frac{1}{\tau}$

τ เพิ่มขึ้น ; n ลดลง

τ ลดลง ; n เพิ่มขึ้น

d) กราฟความสัมพันธ์ระหว่างความเร็วอบกับกำลังไฟฟ้าของ



รูปที่ 4.12 กราฟความสัมพันธ์ระหว่างความเร็วอบกับกำลังไฟฟ้าของ

จากสมการที่ 2.48

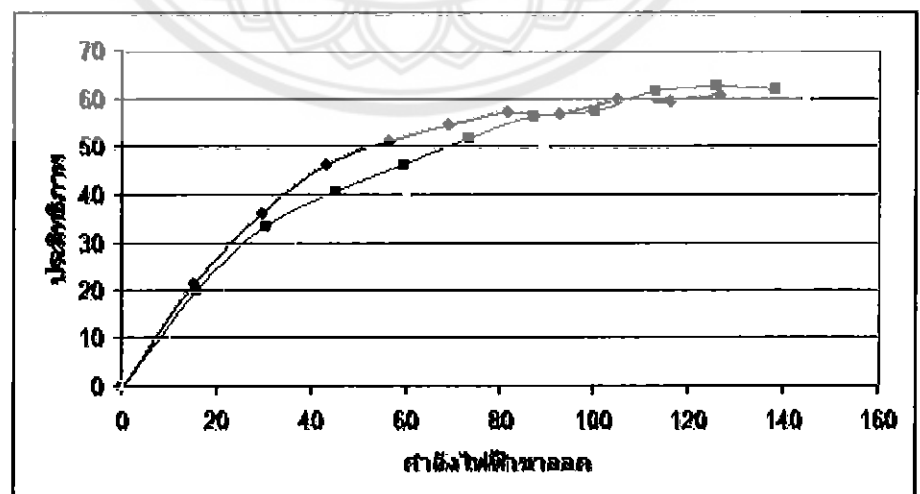
$$P_{out} = \frac{2\pi \times n \times \tau}{60} = \frac{\pi \times n \times \tau}{30}$$

$$n \propto \frac{1}{\tau}$$

จะได้ว่า τ เพิ่มขึ้น ; n ลดลง ; P_{out} เพิ่มขึ้น

τ ลดลง ; n เพิ่มขึ้น ; P_{out} ลดลง

e) กราฟความสัมพันธ์ระหว่างประสิทธิภาพกับกำลังไฟฟ้าของ 180, 220, 260 V



รูปที่ 4.13 กราฟความสัมพันธ์ระหว่างประสิทธิภาพกับกำลังไฟฟ้าของ 180, 220, 260 V

จากสมการที่ 2.47, 2.48 และ 2.49

$$P_{out} = \frac{2\pi \times n \times \tau}{60} = \frac{\pi \times n \times \tau}{30}$$

$$P_{in} = E \times I$$

$$\eta = \frac{P_{out}}{P_{in}} \times 100 \Rightarrow \eta = \frac{\pi \times n \times \tau}{30 \times E \times I}$$

$$\text{ดังนั้น } \eta \propto n \times \tau \text{ และ } \eta \propto \frac{1}{E \times I}$$

ประสิทธิภาพของมอเตอร์จะขึ้นอยู่กับ 4 ตัวแปร คือไปนี้

5) ความเร็ว : n

6) แรงบิด : τ

7) กระแส : I

8) แรงดัน : E

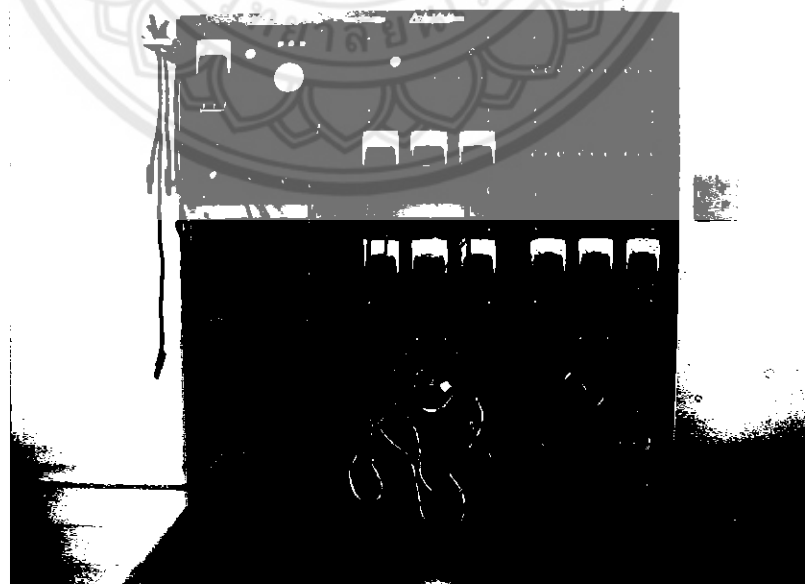
n เพิ่มขึ้น ; η เพิ่มขึ้น : เมื่อ τ, E, I คงที่

τ เพิ่มขึ้น ; η เพิ่มขึ้น : เมื่อ n, E, I คงที่

E ลดลง ; η เพิ่มขึ้น : เมื่อ τ, n, I คงที่

I ลดลง ; η เพิ่มขึ้น : เมื่อ τ, n, E คงที่

4.1.3 มอเตอร์ไฟฟ้ากระแสตรงแบบผสม (Compound DC Motor)



รูปที่ 4.14 การต่อมอเตอร์ไฟฟ้ากระแสตรงแบบผสม

ตารางที่ 4.15 ความสัมพันธ์ระหว่างกระแสอาร์เมเจอร์, ความเร็ว, แรงบิด แบบผสมที่แรงดัน 180 V

ปรับโหลด ครั้งที่	ค่าที่ได้จากการวัด				ค่าที่ได้จากการคำนวณ		
	<i>E</i>	<i>I</i>	<i>n</i> (rpm)	<i>t</i> (N.m)	<i>P_{in}</i> (W)	<i>P_{out}</i> (W)	% _h
1	180	0.25	1480	0	45	0	0
2	180	0.31	1370	0.1	55.8	14.34	25.7
3	180	0.39	1292	0.2	70.2	27.06	38.55
4	180	0.45	1210	0.3	81	38.01	46.92
5	180	0.51	1180	0.4	91.8	49.43	53.84
6	180	0.58	1115	0.5	104.4	58.38	55.92
7	180	0.63	1085	0.6	113.4	68.17	60.11
8	180	0.7	1047	0.7	126	76.75	60.91
9	180	0.75	1008	0.8	135	84.44	62.55
10	180	0.8	984	0.9	144	92.74	64.4
11	180	0.87	947	1	156.6	99.17	63.33

ตารางที่ 4.16 ความสัมพันธ์ระหว่างความเร็วของกับกระแสอาร์เมเจอร์ แบบผสมที่แรงดัน 180 V

ปรับโหลด ครั้งที่	ค่าที่ได้จากการวัด				ค่าที่ได้จากการคำนวณ		
	<i>E</i>	<i>I</i>	<i>n</i> (rpm)	<i>t</i> (N.m)	<i>P_{in}</i> (W)	<i>P_{out}</i> (W)	% _h
1	180	0.26	1500	0	46.8	0	0
2	180	0.28	1450	0.03	50.4	4.55	9.03
3	180	0.3	1400	0.07	54	10.26	19
4	180	0.32	1350	0.12	57.6	16.96	29.44
5	180	0.38	1300	0.18	68.4	24.5	35.82
6	180	0.41	1250	0.24	73.8	31.42	42.57
7	180	0.49	1200	0.33	88.2	41.47	47.02
8	180	0.53	1150	0.43	95.4	51.78	54.27
9	180	0.6	1100	0.53	108	61.05	56.52
10	180	0.66	1050	0.64	118.8	70.37	59.23
11	180	0.74	1000	0.75	133.2	78.54	58.96

ตารางที่ 4.17 ความสัมพันธ์ระหว่างกระแสอาร์เมจอร์, ความเร็ว, และบิด แบบผสมที่แรงดัน 220 V

ปรับโหลด ครั้งที่	ค่าที่ได้จากการวัด				ค่าที่ได้จากการคำนวณ		
	<i>E</i>	<i>I</i>	<i>n</i> (rpm)	<i>t</i> (N.m)	<i>P_{in}</i> (W)	<i>P_{out}</i> (W)	% _h
1	220	0.3	1500	0	66	0	0
2	220	0.35	1418	0.1	77	14.85	19.28
3	220	0.4	1386	0.2	88	29.03	32.99
4	220	0.47	1330	0.3	103.4	41.78	40.41
5	220	0.51	1290	0.4	112.2	54.04	48.16
6	220	0.58	1252	0.5	127.6	65.55	51.37
7	220	0.62	1226	0.6	136.4	77.03	56.47
8	220	0.69	1187	0.7	151.8	87.01	57.32
9	220	0.72	1174	0.8	158.4	98.35	62.09
10	220	0.79	1136	0.9	173.8	107.06	61.6
11	220	0.83	1119	1	182.6	117.18	64.17

ตารางที่ 4.18 ความสัมพันธ์ระหว่างความเร็วของก้มกระแสอาร์เมจอร์ แบบผสมที่แรงดัน 220 V

ปรับโหลด ครั้งที่	ค่าที่ได้จากการวัด				ค่าที่ได้จากการคำนวณ		
	<i>E</i>	<i>I</i>	<i>n</i> (rpm)	<i>t</i> (N.m)	<i>P_{in}</i> (W)	<i>P_{out}</i> (W)	% _h
1	220	0.3	1500	0	66	0	0
2	220	0.32	1450	0.08	70.4	12.15	17.26
3	220	0.38	1400	0.16	83.6	23.46	28.06
4	220	0.44	1350	0.27	96.8	38.17	39.43
5	220	0.5	1300	0.37	110	50.37	45.79
6	220	0.59	1250	0.5	129.8	65.45	50.42
7	220	0.66	1200	0.64	145.2	80.42	55.38
8	220	0.77	1150	0.82	169.4	98.75	58.29
9	220	0.89	1100	1.04	195.8	119.8	61.18
10	220	0.99	1050	1.2	217.8	131.95	60.58
11	220	1.12	1000	1.55	246.4	162.32	65.87

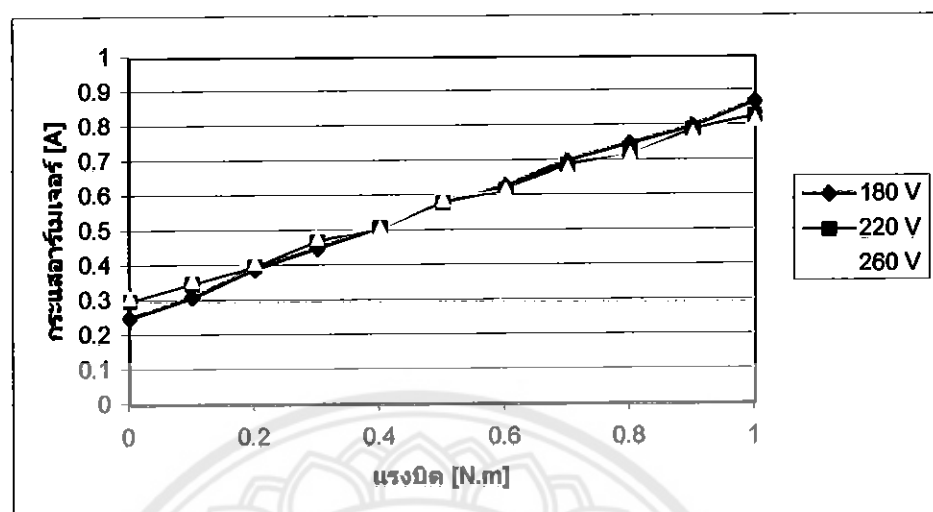
ตารางที่ 4.19 ความสัมพันธ์ระหว่างกระแสอาร์เมจอร์, ความเร็ว, แรงบิด แบบผสมที่แรงดัน 260 V

ปรับโหลด ครั้งที่	ค่าที่ได้จากการวัด				ค่าที่ได้จากการคำนวณ		
	E	I	n(rpm)	τ (N.m)	P_{in} (W)	P_{out} (W)	% η
1	260	0.31	1500	0	80.6	0	0
2	260	0.36	1468	0.1	93.6	15.37	16.42
3	260	0.41	1422	0.2	106.6	29.78	28.08
4	260	0.48	1396	0.3	124.8	43.86	35.14
5	260	0.51	1365	0.4	132.6	57.18	43.12
6	260	0.59	1327	0.5	153.4	69.48	45.29
7	260	0.62	1316	0.6	161.2	82.69	51.3
8	260	0.68	1299	0.7	176.8	95.22	53.86
9	260	0.72	1266	0.8	187.2	106.06	56.65
10	260	0.78	1258	0.9	202.8	118.56	58.46
11	260	0.82	1231	1	213.2	128.91	60.46

ตารางที่ 4.20 ความสัมพันธ์ระหว่างความเร็วของกับกระแสอาร์เมจอร์ แบบผสมที่แรงดัน 260 V

ปรับโหลด ครั้งที่	ค่าที่ได้จากการวัด				ค่าที่ได้จากการคำนวณ		
	E	I	n(rpm)	τ (N.m)	P_{in} (W)	P_{out} (W)	% η
1	260	0.35	1500	0	91	0	0
2	260	0.41	1450	0.15	106.6	22.77	21.36
3	260	0.49	1400	0.27	127.4	39.58	31.07
4	260	0.58	1350	0.45	150.8	63.62	42.19
5	260	0.65	1300	0.6	169	81.68	48.33
6	260	0.77	1250	0.82	200.2	107.34	53.62
7	260	0.91	1200	1.1	236.6	138.23	58.42
8	260	1.03	1150	1.39	267.8	167.39	62.51
9	260	1.21	1100	1.75	314.6	201.58	64.07
10	260	1.39	1050	2.12	361.4	233.11	64.5
11	260	1.52	1000	2.5	395.2	261.8	66.24

a) กราฟความสัมพันธ์ระหว่างแรงบิดกับกระแสอาร์เมเนเจอร์



รูปที่ 4.15 กราฟความสัมพันธ์ระหว่างแรงบิดกับกระแสอาร์เมเนเจอร์

จากสมการที่ 2.29

$$\tau = K\phi I$$

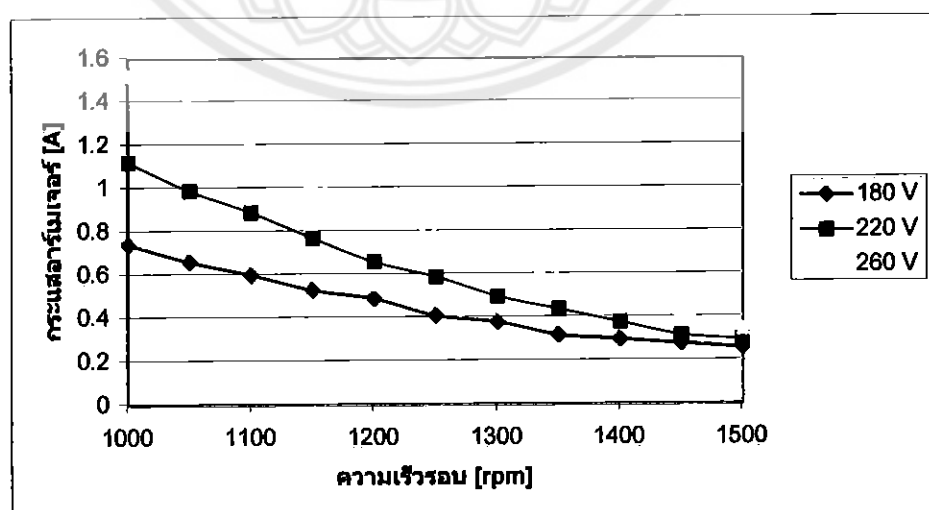
จะได้ว่า $\tau \propto \phi$ และ $\tau \propto I$

ดังนั้น $\tau \propto I$

I เพิ่มขึ้น ; τ เพิ่มขึ้น

I ลดลง ; τ ลดลง

b) กราฟความสัมพันธ์ระหว่างความเร็วอบกับกระแสอาร์เมเนเจอร์



รูปที่ 4.16 กราฟความสัมพันธ์ระหว่างความเร็วอบกับกระแสอาร์เมเนเจอร์

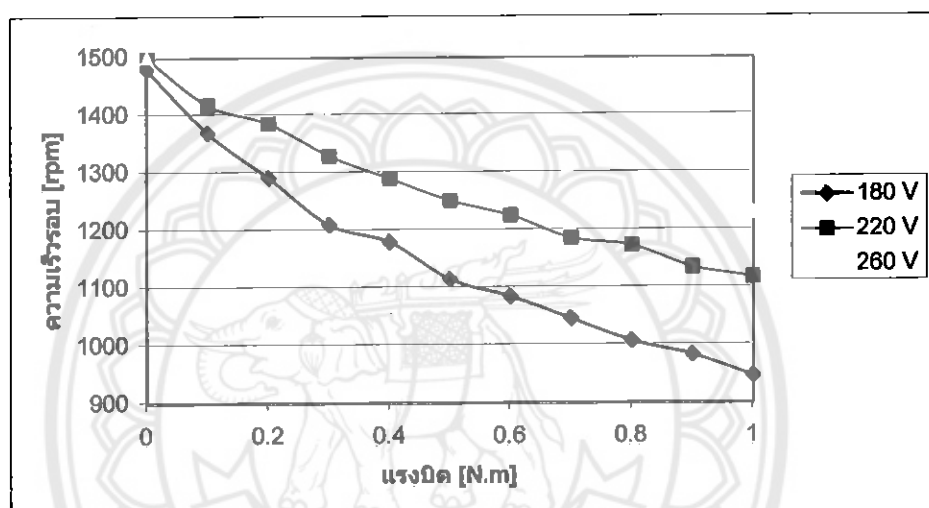
จากสมการที่ 2.29 และ 2.48

$$n = \frac{E}{K \times \phi} ; \phi = I$$

$$\text{จะได้ว่า } n \propto \frac{1}{\phi} \Rightarrow n \propto \frac{1}{I}$$

I เพิ่มขึ้น ; n ลดลง
 I ลดลง ; n เพิ่มขึ้น

c) กราฟความสัมพันธ์ระหว่างความเร็วของกับแรงบิด



รูปที่ 4.17 กราฟความสัมพันธ์ระหว่างความเร็วของกับแรงบิด

จากสมการที่ 2.48

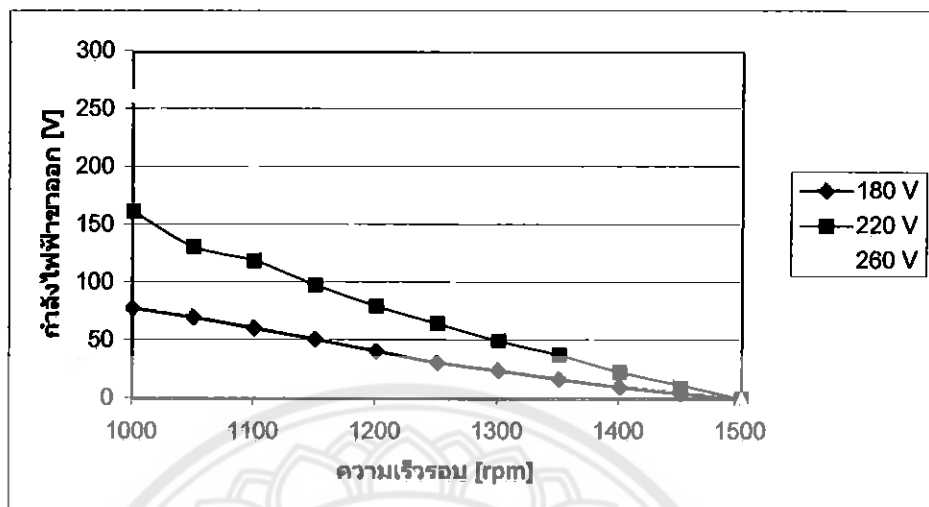
$$P_{out} = \frac{2\pi \times n \times \tau}{60} = \frac{\pi \times n \times \tau}{30}$$

$$n = \frac{30 \times P_{out}}{\pi \times \tau} ; \text{ ให้ } P_{out} = \text{ค่าคงที่}$$

$$\text{จะได้ว่า } n \propto \frac{1}{\tau}$$

τ เพิ่มขึ้น ; n ลดลง
 τ ลดลง ; n เพิ่มขึ้น

ด) กราฟความสัมพันธ์ระหว่างความเร็วรอบกับกำลังไฟฟ้าออก



รูปที่ 4.18 กราฟความสัมพันธ์ระหว่างความเร็วรอบกับกำลังไฟฟ้าออก

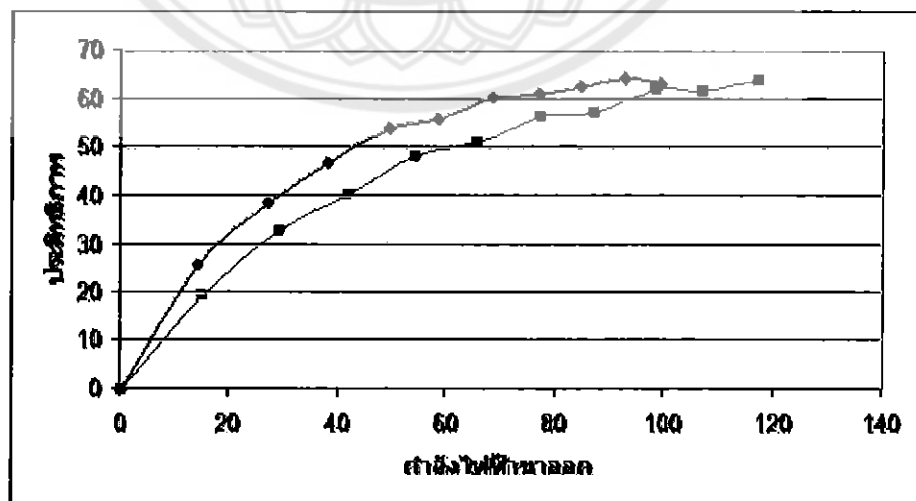
จากสมการที่ 2.48

$$P_{out} = \frac{2\pi \times n \times \tau}{60} = \frac{\pi \times n \times \tau}{30}$$

$$n \propto \frac{1}{\tau}$$

จะได้ว่า τ เพิ่มขึ้น ; n ลดลง ; P_{out} เพิ่มขึ้น
 τ ลดลง ; n เพิ่มขึ้น ; P_{out} ลดลง

บ) กราฟความสัมพันธ์ระหว่างประสิทธิภาพกับกำลังไฟฟ้าขาออก 180, 220, 260 V



รูปที่ 4.19 กราฟความสัมพันธ์ระหว่างประสิทธิภาพกับกำลังไฟฟ้าขาออก 180, 220, 260 V

จากสมการที่ 2.47, 2.48 และ 2.49

$$P_{out} = \frac{2\pi \times n \times \tau}{60} = \frac{\pi \times n \times \tau}{30}$$

$$P_{in} = E \times I$$

$$\eta = \frac{P_{out}}{P_{in}} \times 100 \Rightarrow \eta = \frac{\pi \times n \times \tau}{30 \times E \times I}$$

$$\text{ดังนั้น } \eta \propto n \times \tau \text{ และ } \eta \propto \frac{1}{E \times I}$$

ประสิทธิภาพของมอเตอร์จะขึ้นอยู่กับ 4 ตัวแปร ต่อไปนี้

9) ความเร็ว : n

10) แรงบิด : τ

11) กระแส : I

12) แรงดัน : E

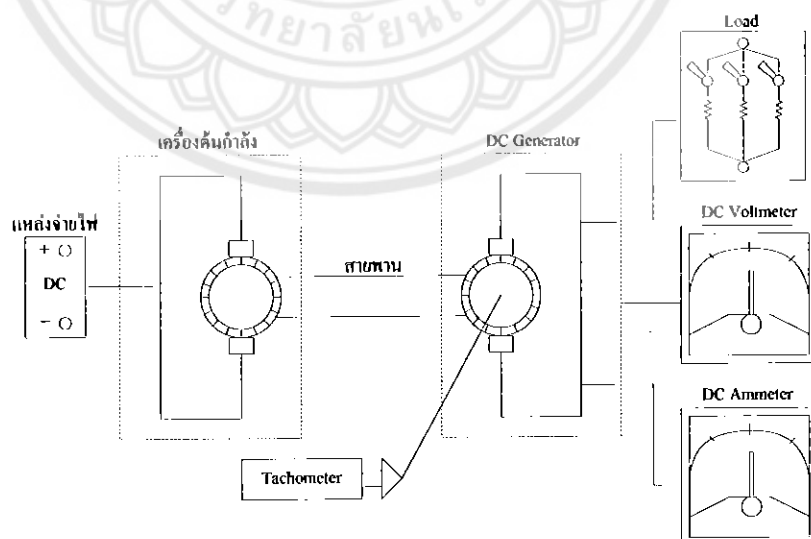
n เพิ่มขึ้น ; η เพิ่มขึ้น: เมื่อ τ, E, I คงที่

τ เพิ่มขึ้น ; η เพิ่มขึ้น: เมื่อ n, E, I คงที่

E ลดลง ; η เพิ่มขึ้น: เมื่อ τ, n, I คงที่

I ลดลง ; η เพิ่มขึ้น: เมื่อ τ, n, E คงที่

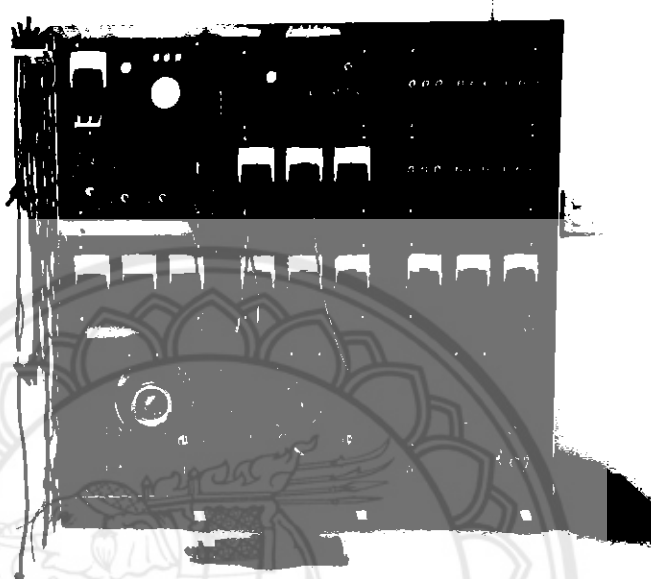
4.2 ผลการทดลองเครื่องกำเนิดไฟฟ้ากระแสตรง (DC Generator)



รูปที่ 4.20 ไดอะแกรมการเขื่อมต่อของเครื่องกำเนิดไฟฟ้า

4.2.1 เครื่องกำเนิดไฟฟ้ากระแสแสตตร์แบบอนุกรณ (Series DC Generator)

1) เครื่องกำเนิดไฟฟ้ากระแสแสตตร์แบบอนุกรณ ขณะไม่จ่ายโหลด (No-Load หรือ Open Circuit)

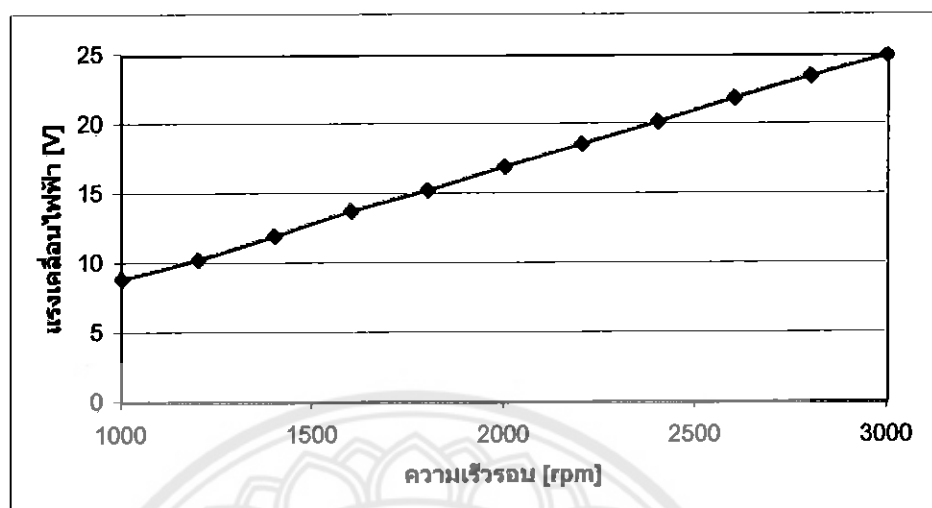


รูปที่ 4.21 การต่อเครื่องกำเนิดไฟฟ้าแบบอนุกรณ ขณะไม่จ่ายไฟด้วย

ตารางที่ 4.21 ตารางแรงดันไฟฟ้าต่อความเร็วอน (ที่ความเร็วอบรัดค่าคงที่)

ลำดับ	n [rpm]	E [V]
1	3000	25
2	2800	23.5
3	2600	21.9
4	2400	20.2
5	2200	18.6
6	2000	17
7	1800	15.3
8	1600	13.8
9	1400	12
10	1200	10.3
11	1000	8.9

1.1) กราฟความสัมพันธ์ระหว่างความเร็วอบกับแรงเกลื่อนไฟฟ้า



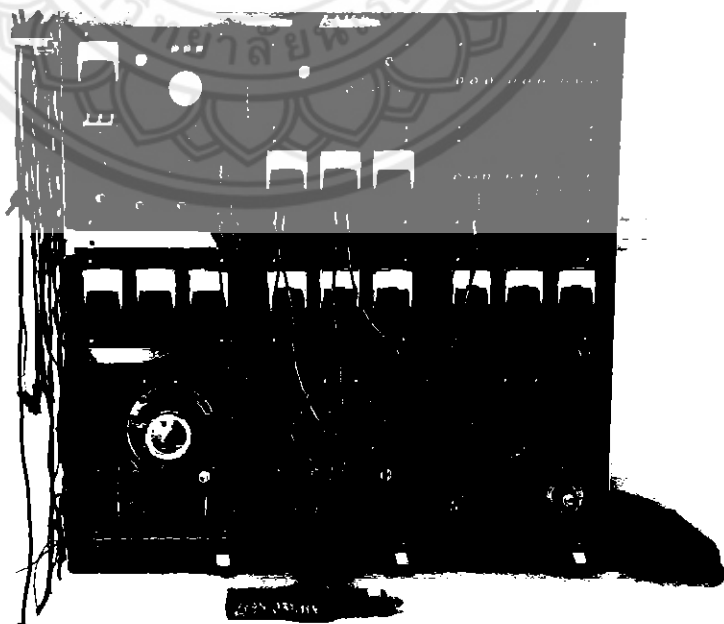
รูปที่ 4.22 กราฟความสัมพันธ์ระหว่างความเร็วอบกับแรงเกลื่อนไฟฟ้า

จาก $V \propto n$

จะได้ n เพิ่มขึ้น ; V เพิ่มขึ้น

n ลดลง ; V ลดลง

2) เครื่องกำนันค่าไฟฟ้ากระแสตรงแบบบอนุกรรມ ขณะจ่ายโหลด (Load Test)



รูปที่ 4.23 การต่อเครื่องกำนันค่าไฟฟ้าแบบบอนุกรรມ ขณะจ่ายโหลด

ตารางที่ 4.22 แรงดึงดันไฟฟ้าต่อความเร็วรอบ (ที่โหลดระดับต่างๆ)

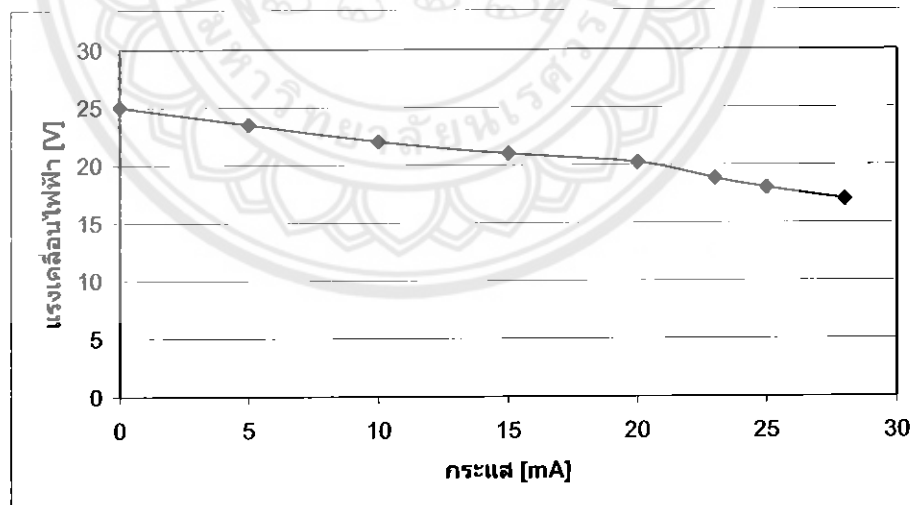
ระดับโหลด	I [mA]	E [V]	n [rpm]
1	0	25	2965
2	5	23.5	2960
3	10	22	2958
4	15	21	2955
5	20	20.2	2952
6	23	18.8	2948
7	25	18	2943
8	28	17	2938

จาก $P = V \times I \Rightarrow V = \frac{P}{I}$ จะได้ว่า $V \propto \frac{1}{I}$

ดังนั้น เมื่อ I เพิ่มขึ้น ; V ลดลง

และ เมื่อ I ลดลง ; V เพิ่มขึ้น

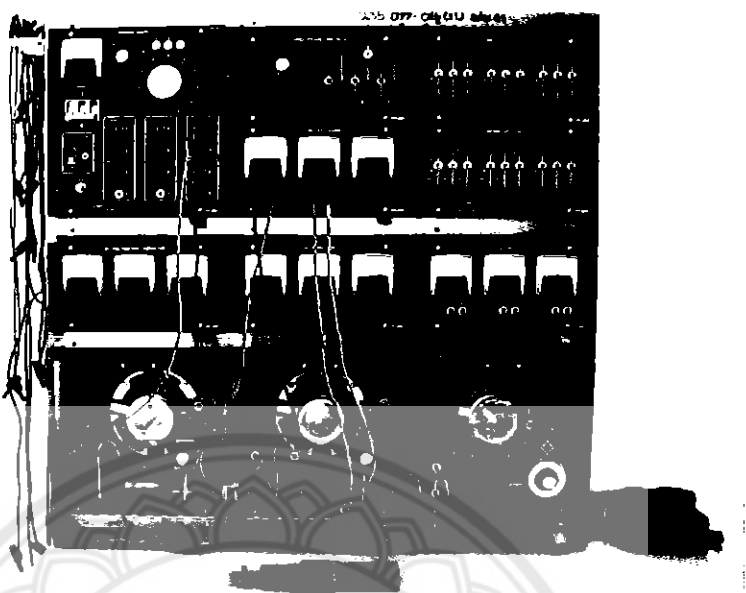
2.1) กราฟความสัมพันธ์กระแสกับแรงดึงดันไฟฟ้า (ที่ระดับโหลดต่างๆ)



รูปที่ 4.24 กราฟความสัมพันธ์กระแสกับแรงดึงดันไฟฟ้า (ที่ระดับโหลดต่างๆ)

4.2.2 เครื่องกำเนิดไฟฟ้ากระแสตรงแบบขนาน (Shunt DC Generator)

- 1) เครื่องกำเนิดไฟฟ้ากระแสตรงแบบขนาน ขณะไม่จ่ายโหลด (No-Load หรือ Open Circuit)

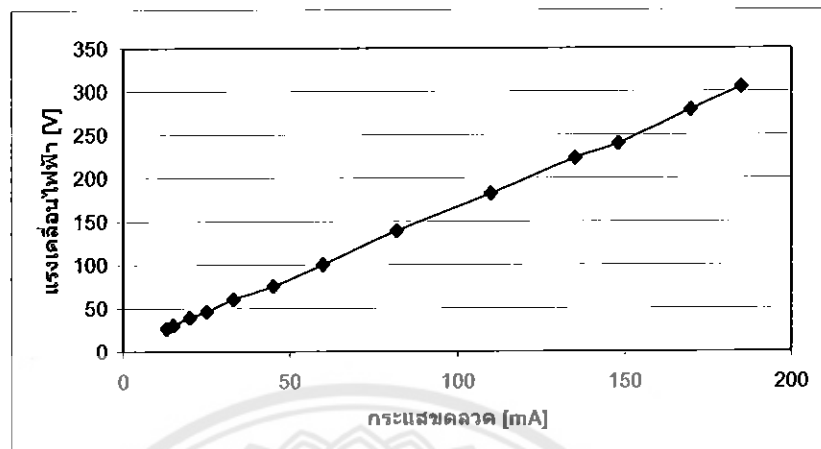


รูปที่ 4.25 การต่อเครื่องกำเนิดไฟฟ้าแบบบานาน ขณะไม่จ่ายไฟฟ้า

ตารางที่ 4.23 ความสัมพันธ์ระหว่างแรงคลื่นไฟฟ้ากับความเร็วอาร์เมเนอร์และกระแสคงท่วง

ลำดับ	n [rpm]	E [V]	I_f [mA]
1	2200	305	185
2	2100	279	170
3	2000	249	148
4	1900	223	135
5	1800	182	110
6	1700	139	82
7	1600	100	60
8	1500	75	45
9	1400	60	33
10	1300	46	25
11	1200	39	20
12	1100	30	15
13	1000	26	13

1.1) กราฟความสัมพันธ์ระหว่างกระแสเก็บแรงเคลื่อนไฟฟ้า (ที่ความเรื้อรอบระดับต่างๆ)



รูปที่ 4.26 กราฟความสัมพันธ์ระหว่างกระแสเก็บแรงเคลื่อนไฟฟ้า (ที่ความเรื้อรอบระดับต่างๆ)

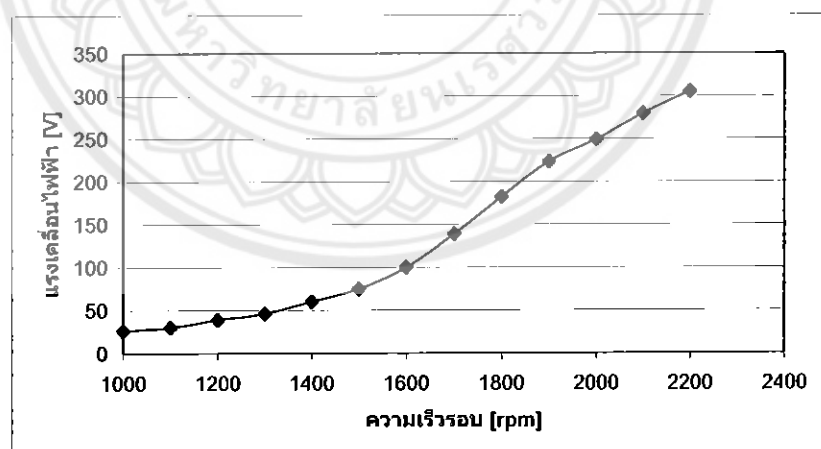
จาก $V = I \times R$

จะได้ว่า $V \propto I$

I เพิ่มขึ้น ; V เพิ่มขึ้น

I ลดลง ; V ลดลง

1.2) กราฟความสัมพันธ์ระหว่างความเรื้อรอบกับแรงเคลื่อนไฟฟ้า



รูปที่ 4.27 กราฟความสัมพันธ์ระหว่างความเรื้อรอบกับแรงเคลื่อนไฟฟ้า

จาก $V \propto n$

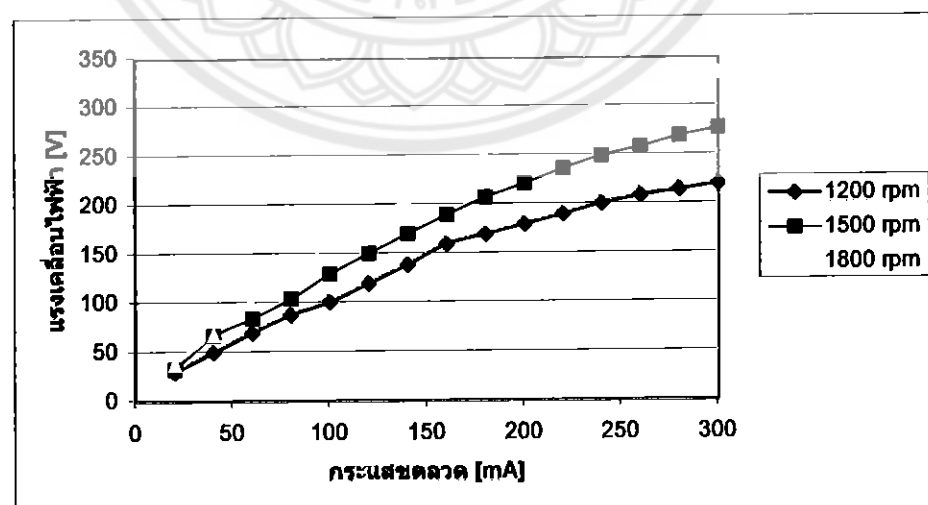
จะได้ n เพิ่มขึ้น ; V เพิ่มขึ้น

n ลดลง ; V ลดลง

ตารางที่ 4.24 ตารางความสัมพันธ์ระหว่างกระแสกับแรงดึงไฟฟ้า (ที่ความเร็วอบราระดับต่างๆ)

ลำดับ	I_f (mA)	$n = 1200$ [rpm]	$n = 1500$ [rpm]	$n = 1800$ [rpm]
		E [V]	E [V]	E [V]
1	20	30	33	38
2	40	50	67	68
3	60	70	85	100
4	80	88	105	130
5	100	101	130	158
6	120	120	151	185
7	140	139	171	203
8	160	160	190	229
9	180	170	208	250
10	200	180	222	271
11	220	190	237	290
12	240	201	250	302
13	260	209	259	311
14	280	215	270	324
15	300	221	278	335

1.3) กราฟความสัมพันธ์ระหว่างกระแสกับแรงดึงไฟฟ้า (ที่ความเร็วอบราระดับต่างๆ)



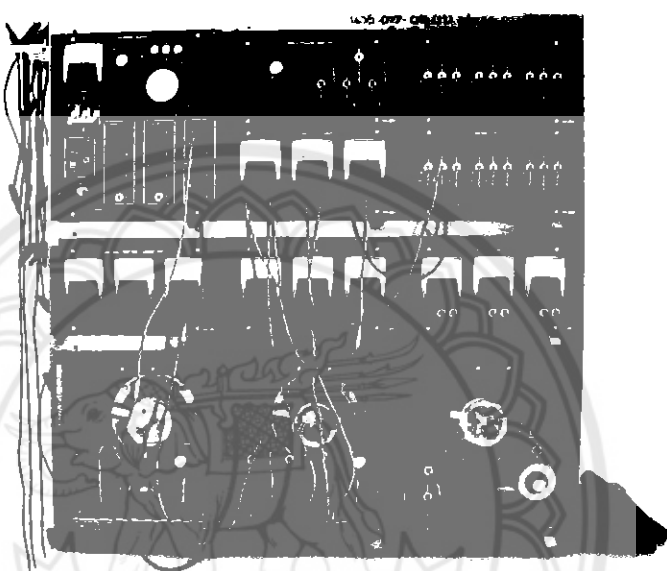
รูปที่ 4.28 กราฟความสัมพันธ์ระหว่างกระแสกับแรงดึงไฟฟ้า (ที่ความเร็วอบราระดับต่างๆ)

จาก $V \propto n$ และ $V \propto I$

จะได้ว่า I เพิ่มขึ้น ; V เพิ่มขึ้น

I ลดลง ; V ลดลง

2) เครื่องกำเนิดไฟฟ้ากระแสตรงแบบบานาน่าย荷測 Load Test

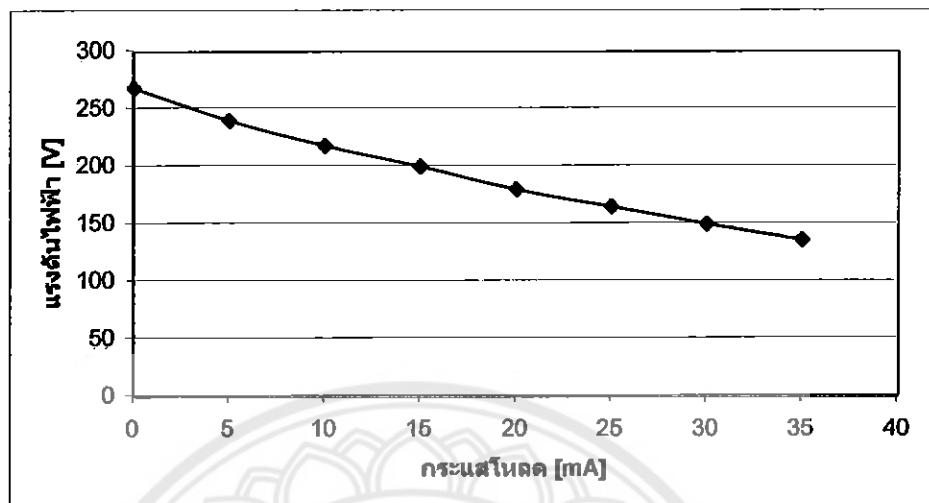


รูปที่ 4.29 การต่อเครื่องกำเนิดไฟฟ้าแบบบานานา ขนาดจําขัย荷測

ตารางที่ 4.25 ความถันพันธ์ระหว่างแรงดันกับกระแส

ระดับ 荷測	I_A [mA]	E [V]	I_f [mA]	I_L [mA]
1	165	268	162	0
2	202	240	146	5
3	234	218	132	10
4	260	200	120	15
5	280	180	110	20
6	290	165	100	25
7	300	150	92	30
8	305	136	82	35

1.1) กราฟความสัมพันธ์ระหว่างแรงดันกับกระแสไฟฟ้า

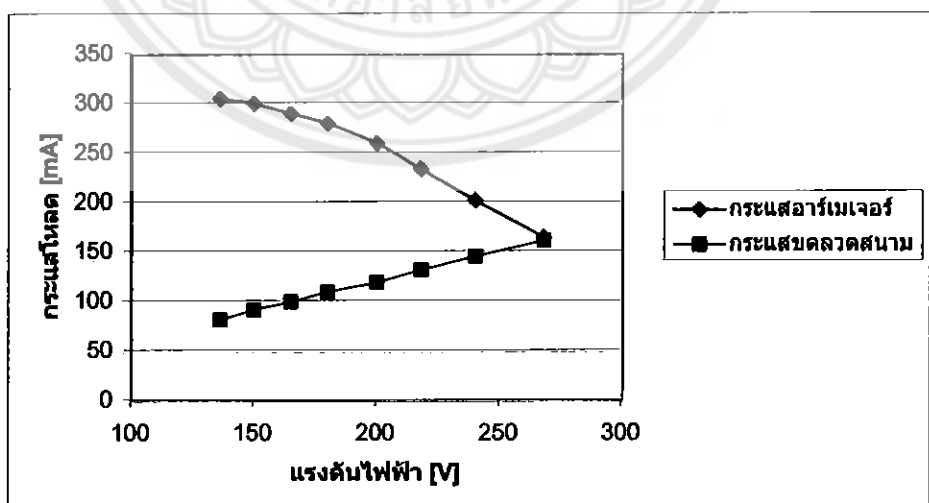


รูปที่ 4.30 กราฟความสัมพันธ์ระหว่างแรงดันกับกระแสไฟฟ้า

$$\text{จาก } P = V_L \times I_L \Rightarrow V_L = \frac{P}{I_L}$$

จะได้ว่า $V_L \propto \frac{1}{I_L}$
 I_L เพิ่มขึ้น ; V_L ลดลง
 I_L ลดลง ; V_L เพิ่มขึ้น

1.2) กราฟความสัมพันธ์ระหว่างกระแสกับแรงดันไฟฟ้า (ที่ให้กระแสตัวค้างๆ)

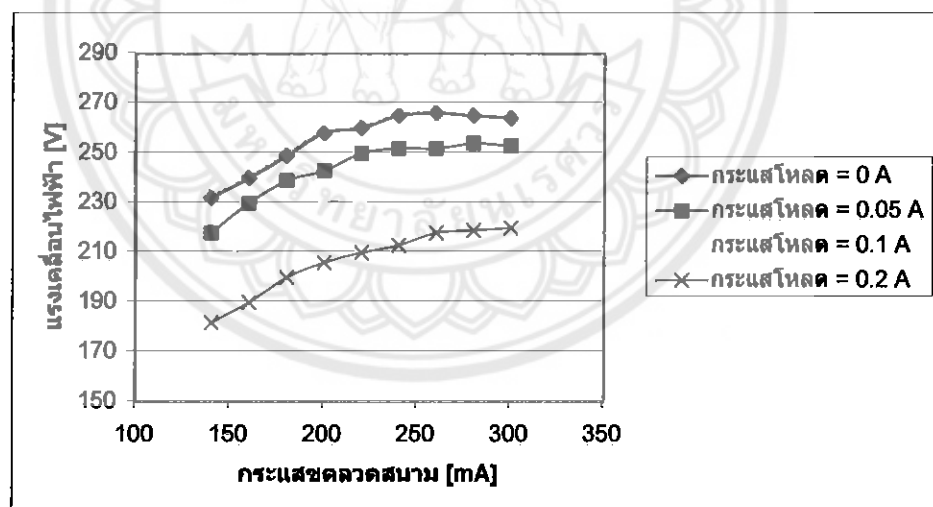


รูปที่ 4.31 กราฟความสัมพันธ์ระหว่างกระแสกับแรงดันไฟฟ้า (ที่ให้กระแสตัวค้างๆ)

ตารางที่ 4.26 ตารางความสัมพันธ์ระหว่างแรงดึงดูดไฟฟ้ากับกระแสขดลวดที่โหนดต่างๆ

ลำดับ	I_f [mA]	$I_L = 0$ [A]	$I_L = 0.05$ [A]	$I_L = 0.1$ [A]	$I_L = 0.2$ [A]
		E [V]	E [V]	E [V]	E [V]
1	300	264	253	240	220
2	280	265	254	240	219
3	260	266	252	240	218
4	240	265	252	236	213
5	220	260	250	232	210
6	200	258	243	230	206
7	180	249	239	222	200
8	160	240	230	214	190
9	140	232	218	202	182

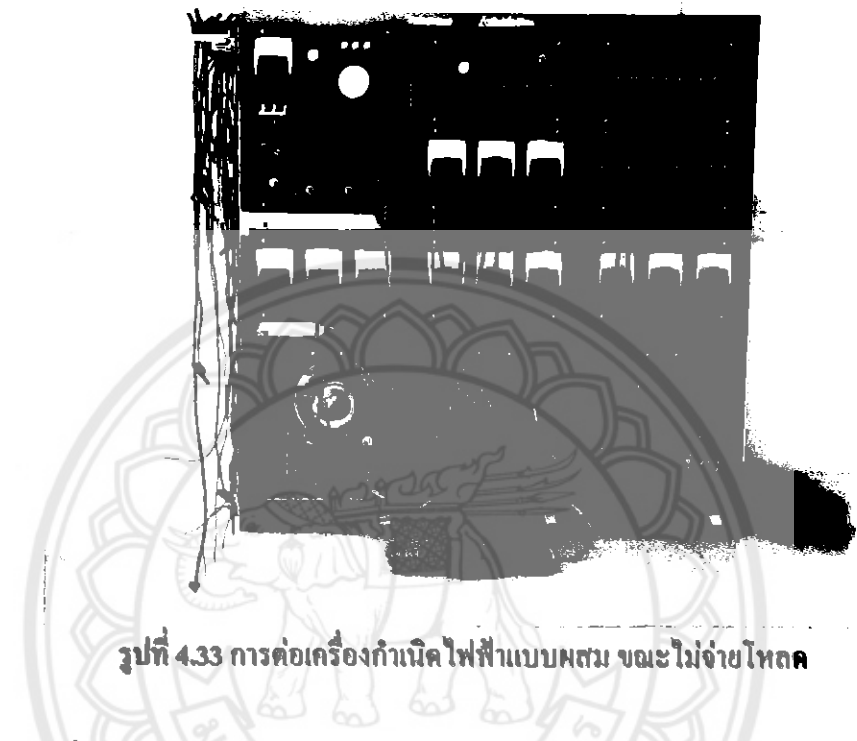
1.3) กราฟความสัมพันธ์ระหว่างกระแสขดลวดกับแรงดึงดูดไฟฟ้า (ที่กระแสโหนดต่างๆ)



รูปที่ 4.32 กราฟความสัมพันธ์ระหว่างกระแสขดลวดกับแรงดึงดูดไฟฟ้า (ที่กระแสโหนดต่างๆ)

4.2.3 เครื่องกำเนิดไฟฟ้ากระแสตรงแบบพตาม (Compound DC Generator)

1) เครื่องกำเนิดไฟฟ้ากระแสตรงแบบพตาม ขณะไม่จ่าย荷物 (No-Load) หรือ Open Circuit

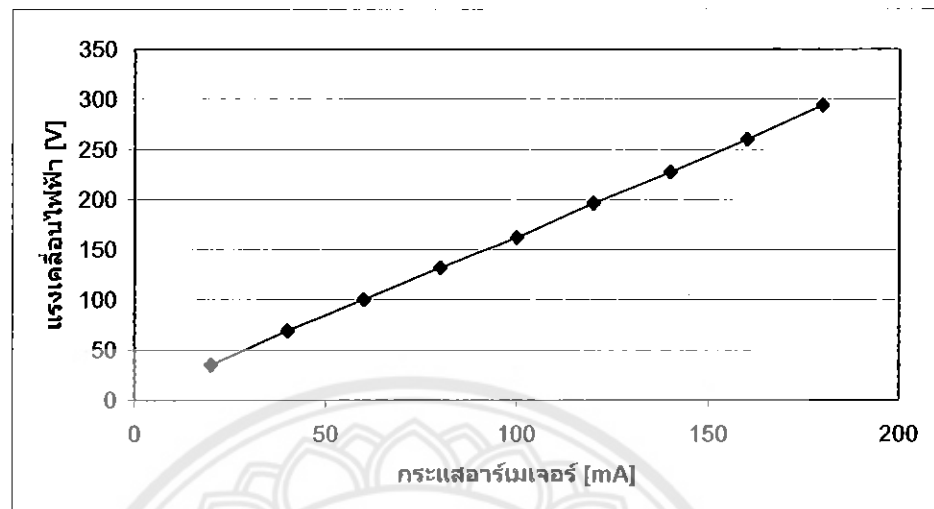


รูปที่ 4.33 การต่อเครื่องกำเนิดไฟฟ้าแบบพตาม ขณะไม่จ่าย荷物

ตารางที่ 4.27 ตารางความสัมพันธ์ระหว่างกระแสเก็บแรงคงที่บนไฟฟ้าและความเร็วรอบ

ลำดับ	I_A [mA]	E [V]	n [rpm]
1	20	35	1653
2	40	69	1815
3	60	100	2139
4	80	132	2275
5	100	162	2294
6	120	196	2324
7	140	227	2366
8	160	260	2420
9	180	294	2478

1.1) กราฟความสัมพันธ์ระหว่างกระแสอาร์เมเจอร์กับแรงเคลื่อนไฟฟ้า



รูปที่ 4.34 กราฟความสัมพันธ์ระหว่างกระแสอาร์เมเจอร์กับแรงเคลื่อนไฟฟ้า

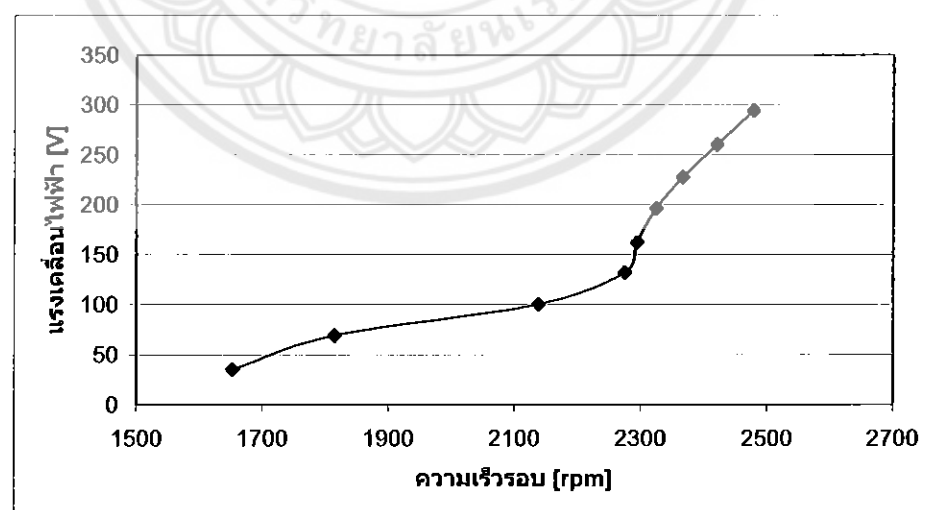
$$\text{จาก } V = I \times R$$

$$\text{จะได้ว่า } V \propto I_A$$

I_A เพิ่มขึ้น ; V เพิ่มขึ้น

I_A ลดลง ; V ลดลง

1.2) กราฟความสัมพันธ์ระหว่างความเร็วรอบกับแรงเคลื่อนไฟฟ้า



รูปที่ 4.35 กราฟความสัมพันธ์ระหว่างความเร็วรอบกับแรงเคลื่อนไฟฟ้า

2) เครื่องกำเนิดไฟฟ้ากระแสสลับรูปแบบหมุน ขยะจ่ายโหลด (Load Test)

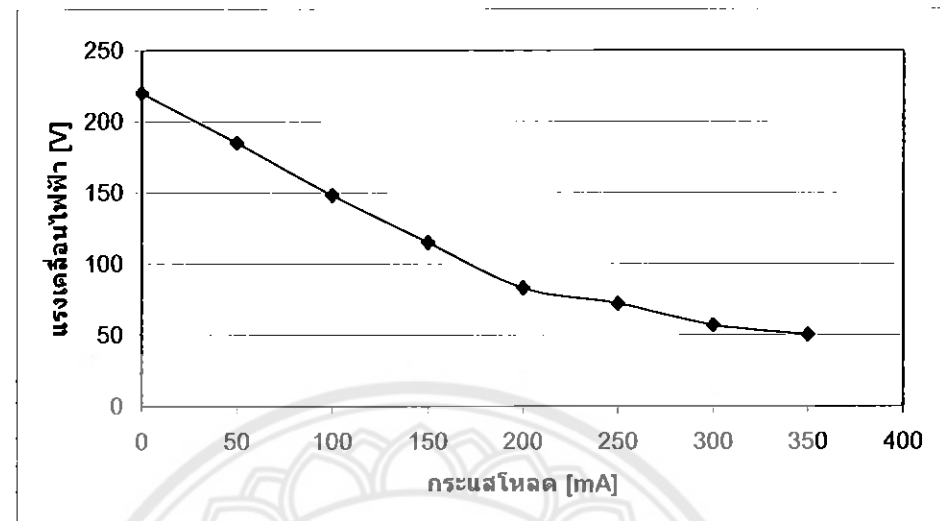


รูปที่ 4.36 การต่อเครื่องกำเนิดไฟฟ้าแบบหมุน ขยะจ่ายโหลด

ตารางที่ 4.28 ตารางความสัมพันธ์ระหว่างแรงดึงดันไฟฟ้ากับกระแส

ระดับโหลด	E [V]	I_A [mA]	I_f [mA]	I_L [mA]
1	220	134	139	0
2	185	155	116	50
3	148	153	141	100
4	115	147	62	150
5	83	126	52	200
6	72	125	48	250
7	57	108	35	300
8	50	105	32	350

1.1) กราฟความสัมพันธ์ระหว่างแรงเกลื่อนไฟฟ้ากับกระแสโถลด

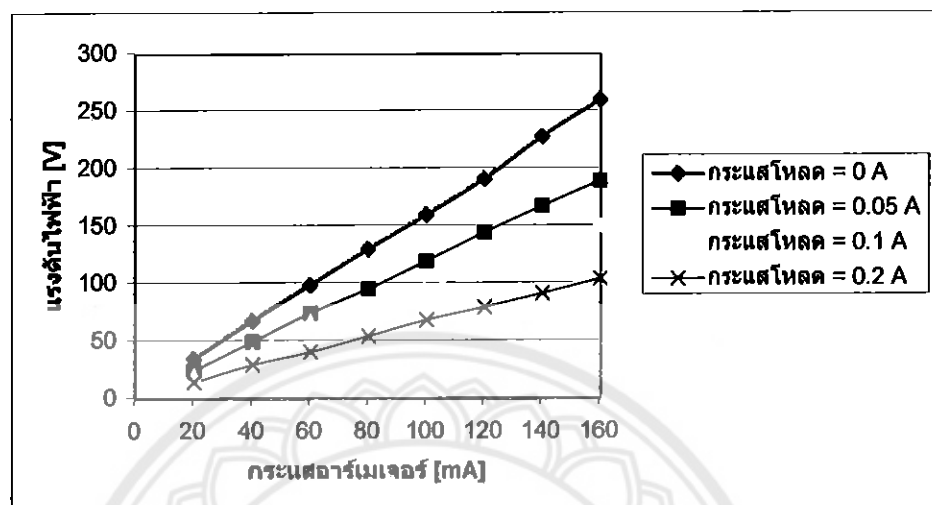


รูปที่ 4.37 กราฟความสัมพันธ์ระหว่างแรงเกลื่อนไฟฟ้ากับกระแสโถลด

ตารางที่ 4.29 ตารางความสัมพันธ์ระหว่างแรงเกลื่อนไฟฟ้ากับกระแสอาร์เมเนเรอร์ที่กระแสโถลดคงที่

ลำดับ	I _A [mA]	I _L = 0 [A]		I _L = 0.05 [A]		I _L = 0.1 [A]		I _L = 0.2 [A]	
		E [V]	n[rpm]	E [V]	n[rpm]	E [V]	n[rpm]	E [V]	n[rpm]
1	160	260	2386	190	2575	151	2541	105	3043
2	140	228	2245	168	2433	131	2382	92	2755
3	120	191	2128	145	2312	112	2292	80	2512
4	100	160	2042	120	2269	95	2163	69	2337
5	80	130	1995	96	2073	78	2027	55	2080
6	60	99	1849	75	1877	68	1799	41	1771
7	40	68	1703	50	1634	40	1545	30	1351
8	20	35	1281	25	1092	21	1058	15	870

1.2) กราฟความสัมพันธ์ระหว่างกระแสอาร์เมเจอร์กับแรงดึงไฟฟ้า (ที่กระแสไฟฟ้าคงค่า)



รูปที่ 4.38 กราฟความสัมพันธ์ระหว่างกระแสอาร์เมเจอร์กับแรงดึงไฟฟ้า (ที่กระแสไฟฟ้าคงค่า)

$$\text{จาก } V = I \times R$$

$$\text{จะได้ว่า } V \propto I_A$$

I_A เพิ่มขึ้น ; V เพิ่มขึ้น

I_A ลดลง ; V ลดลง

บทที่ 5

สรุปผลการทดลอง

ในการทดลองมอเตอร์ไฟฟ้ากระแสตรงได้ทำการกำหนดแหล่งจ่ายแรงดันให้มีแรงดันจ่ายเข้ามอเตอร์ที่ 180, 220 และ 260 โวลต์ และทำการทดลองต่อแบบอนุกรม, ขนาดและผสม (Cumulative)

ในการทดลองเครื่องกำเนิดไฟฟ้ากระแสตรงได้ทำการต่อเครื่องกำเนิดไฟฟ้าแบบอนุกรม, ขนาดและผสม (Cumulative) และจะเดาจ่ายโหลดและไม่จ่ายโหลด

5.1 สรุปผลการทดลอง

มอเตอร์ไฟฟ้ากระแสตรงแบบอนุกรมที่ขับด้วยแรงดันคงที่ที่ 180, 220 และ 260 โวลต์ เมื่อโหลดเปลี่ยนแปลง กระแสอาร์เมเนเจอร์และเส้นแรงแม่เหล็กในสนามแม่เหล็ก จะเปลี่ยนแปลงไปด้วย จึงมีผลทำให้ความเร็วของมอเตอร์เปลี่ยนแปลง ดังนั้นจึงกล่าวได้ว่า “ความเร็วของมอเตอร์อนุกรมจะเปลี่ยนแปลงไปตามการเปลี่ยนแปลงของโหลด (Variable-Speed Machine)” และพบว่าการเปลี่ยนแปลงของโหลดเพียงเล็กน้อยจะมีผลทำให้ความเร็วของมอเตอร์เปลี่ยนแปลงไปอย่างมาก ดังนี้

- โหลดเพิ่มขึ้น → แรงบิดเพิ่มขึ้น → ความเร็วของลดลง
- โหลดลดลง → แรงบิดลดลง → ความเร็วของเพิ่มขึ้น

มอเตอร์ไฟฟ้ากระแสตรงขนาดที่ขับด้วยแรงดันคงที่ที่ 180, 220 และ 260 โวลต์ เมื่อโหลดเปลี่ยนแปลง ความเร็วของจะเปลี่ยนแปลงเพียงเล็กน้อยเท่านั้น มอเตอร์จะหมุนด้วยความเร็วคงก่อนข้างคงที่ ดังนั้นจึงกล่าวได้ว่า “มอเตอร์ขนาดเป็นมอเตอร์ที่หมุนด้วยความเร็วคงที่ (Constant-Speed Machine)” และพบว่าการเปลี่ยนแปลงของโหลดจะไม่มีผลทำให้ความเร็วของมอเตอร์เปลี่ยนแปลงมาก การปรับความเร็วของมอเตอร์ขนาดสามารถปรับได้ 2 วิธี กือ 1) วิธีควบคุมสันแรงแม่เหล็กในชุดลวดสนามแม่เหล็ก 2) วิธีควบคุมแรงดันอาร์เมเนเจอร์ ดังนั้นความเร็วของมอเตอร์แปลงผกผันกับกระแสเดดลวดสนามแม่เหล็ก แรงบิดแปรผันตรงกับกระแสอาร์เมเนเจอร์ แรงบิดแปรผกผันกับความเร็วของ แรงบิดแปรผันตรงกับประสาทวิภาค มอเตอร์ขนาดจะเหมาะสมกับงานที่ใช้ความเร็วคงที่

มอเตอร์ไฟฟ้ากระแสตรงแบบผสม(Cumulative) ที่ขับด้วยแรงดันคงที่ที่ 180, 220 และ 260 โวลต์ เมื่อโหลดเพิ่มขึ้นสันแรงแม่เหล็กในชุดลวดสนามจะเพิ่มขึ้น ทำให้ความเร็วของมอเตอร์ลดลง เมื่อเทียบกับมอเตอร์ขนาดเดียว (มอเตอร์ผสมคิวมูเลทีฟ) จะลดลงอย่างรวดเร็วและมากกว่า มอเตอร์ขนาด แต่ให้แรงบิดสูงกว่ามอเตอร์ขนาด และที่แรงบิดที่เท่ากันมอเตอร์ผสมคิวมูเลทีฟจะกิน

กระแสน้อยกว่ามอเตอร์ขานาน ดังนั้นมอเตอร์ทดสอบคิวมูลทีฟจึงเหมาะสมที่จะใช้หมุนขับงานประเภทที่ต้องการแรงบิดเริ่มหมุนสูง โดยไม่คำนึงถึงความเร็วรอบ

ตารางที่ 5.1 ตารางเปรียบเทียบคุณสมบัติและการประยุกต์ใช้งานมอเตอร์ไฟฟ้ากระแสตรงชนิดต่างๆ

ชนิดของมอเตอร์	คุณสมบัติ	การประยุกต์ใช้งาน
1. มอเตอร์แบบอนุกรม	1. สามารถปรับความเร็วได้ 2. มีแรงบิดสูง	1. ใช้ในระบบจุดลาก 2. เครื่องขัด เครื่องขัดกระดาษ 3. พัดลม
2. มอเตอร์แบบขนาน	1. มีความเร็วประมาณคงที่ 2. สามารถปรับความเร็วได้	1. เครื่องกลึง 2. ปั๊มแบบลูกสูบ 3. ปั๊มสูบน้ำแบบหนีศูนย์ภายนอก
3. มอเตอร์แบบทดสอบคิวมูลทีฟ	1. สามารถปรับความเร็วได้ 2. มีแรงบิดสูง	1. ใช้ในระบบตัด เนื้อสัตว์ 2. ใช้กับระบบบันไดเลื่อน 3. เครื่องอัด เครื่องพับ

เครื่องกำเนิดไฟฟ้ากระแสตรงแบบอนุกรม จะจะไม่จ่ายโหลดที่ความเร็วรอบเพิ่มขึ้นจะทำให้แรงดันไฟฟ้าเพิ่มขึ้นด้วย ขณะจ่ายโหลดที่โหลดเพิ่มขึ้นหรือกระแสไฟฟ้าเพิ่มขึ้นจะทำให้แรงดันไฟฟ้าลดลง แต่ความเร็วรอบจะเปลี่ยนแปลงไม่มาก

เครื่องกำเนิดไฟฟ้ากระแสตรงแบบขนาน จะจะไม่จ่ายโหลดที่ความเร็วรอบเพิ่มขึ้นจะทำให้แรงดันไฟฟ้าและกระแสอาร์เมเจอร์เพิ่มขึ้นด้วย แต่จะมากกว่าการต่อแบบอนุกรม ขณะจ่ายโหลดที่โหลดเพิ่มขึ้นหรือกระแสไฟฟ้าเพิ่มขึ้นจะทำให้แรงดันไฟฟ้าลดลง กระแสไฟฟ้าและกระแสอาร์เมเจอร์เพิ่มขึ้น แต่จะไม่เท่ากับแรงดันไฟฟ้าเพิ่มขึ้น แต่จะเท่ากับแรงดันไฟฟ้าและกระแสอาร์เมเจอร์เพิ่มขึ้นด้วย

เครื่องกำเนิดไฟฟ้ากระแสตรงแบบทดสอบคิวมูลทีฟ จะจะไม่จ่ายโหลดความเร็วรอบเพิ่มขึ้นจะทำให้แรงดันไฟฟ้าและกระแสอาร์เมเจอร์เพิ่มขึ้นด้วย ขณะจ่ายโหลดที่โหลดเพิ่มขึ้นหรือกระแสไฟฟ้าเพิ่มขึ้นจะทำให้แรงดันไฟฟ้าและกระแสอาร์เมเจอร์เพิ่มขึ้น ทำให้แรงดันไฟฟ้าเพิ่มขึ้นด้วย

5.2 ปัญหาในการทำงานและแนวทางแก้ไข

5.2.1 ในขณะต่อเนื่องนานๆ ไฟฟ้าจะมีความร้อนที่ Rheostat

- การแก้ปัญหานี้ได้ทำการแบ่งช่วงเวลาการทดลองเพื่อให้มอเตอร์ได้หยุดพักการทำงานและให้อุณหภูมิของเครื่องลดลง

5.2.2 ในการต่อเครื่องกำเนิดไฟฟ้าแบบบ้านถ้าปรับ Rheostat (หมุนตามเข็มนาฬิกา) มากสุด จะทำให้ไฟสว่างลง

- การแก้ปัญหานี้ได้กำหนดค่าในการปรับ Rheostat ไม่ให้เกินค่าที่จะทำให้ไฟสว่างได้

5.3 ประเมินผล

5.3.1 จากการดำเนินงานโครงการเมื่อเทียบกับวัตถุประสงค์ในการทำโครงการ ได้ผลดังนี้

5.3.2 ได้รับความรู้เพิ่มเติมเกี่ยวกับหลักการทำงานของมอเตอร์ไฟฟ้ากระแสตรง

5.3.3 ได้รับความรู้เพิ่มเติมเกี่ยวกับหลักการทำงานของเครื่องกำเนิดไฟฟ้ากระแสตรง

5.3.4 สามารถออกแบบวงจรการทำงานของมอเตอร์ไฟฟ้ากระแสตรงแบบอนุกรม ขนาดและผลได้

5.3.5 สามารถออกแบบวงจรการทำงานของเครื่องกำเนิดไฟฟ้ากระแสตรงแบบอนุกรม ขนาดและผลได้

5.4 แนวทางสำหรับการพัฒนา

5.4.1 ออกแบบให้มอเตอร์มีการทำงานได้ตรงกับลักษณะงาน

5.4.2 ออกแบบชุดควบคุมให้มอเตอร์ทำงานเด่นประสิทธิภาพ

เอกสารอ้างอิง

- [1] ดร. ปัญญา ยอดโวอาท. เครื่องกลไฟฟ้ากระแสตรง. กรุงเทพมหานคร : สุนย์สื่อสารมวลชนเทพ. 2546.
- [2] พศ. ศุภชัย สุรินทร์วงศ์. มอเตอร์ไฟฟ้ากระแสตรง. พิมพ์ครั้งที่ 5. กรุงเทพมหานคร : สมาคมส่งเสริมเทคโนโลยี (ไทย-ญี่ปุ่น). 2541.
- [3] ศุภชัย สุรินทร์วงศ์. เครื่องกำเนิดไฟฟ้ากระแสตรง. พิมพ์ครั้งที่ 3. กรุงเทพมหานคร : สมาคมส่งเสริมเทคโนโลยี (ไทย-ญี่ปุ่น). 2536.
- [4] <http://www.o-digital.com/wholesale-products/2179/2188-1/DC-Motor-74505.html> , สืบกันวันที่ 15 ธ.ค. 52
- [5] <http://machinedesign.com/article/getting-torque-to-inertia-right-0323> , สืบกันวันที่ 15 ธ.ค. 52
- [6] <http://www.calcuttayellowpages.com/adver/103632products.html> , สืบกันวันที่ 15 ธ.ค. 52
- [7] <http://edu.e-tech.ac.th/mdec/learning/c-web/sara01.htm> , สืบกันวันที่ 15 ธ.ค. 52
- [8] <http://www.phantippowertools.com/picture%20%20powertex/ppt-ag-100-d.html> , สืบกันวันที่ 15 ธ.ค. 52
- [9] http://etrade.daegu.go.kr/co/kscmotor/GC00500536/CA00500583/Lamination_Motor_Core.html , สืบกันวันที่ 15 ธ.ค.
- [10] <http://www.gasgoo.com/auto-parts-trade/image-LKRNNPP/Auto-Commutators.html> , สืบกันวันที่ 15 ธ.ค. 52

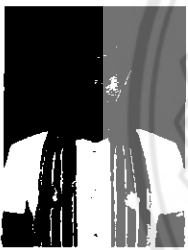
ประวัติผู้เขียนโครงการ



ชื่อ นายศักดินทร์ หลงนະดີ
 ภูมิลำเนา 189 หมู่ 7 ถนนสุขุมวิท แขวงคลองเตย เขตคลองเตย กรุงเทพมหานคร
ประวัติการศึกษา

- จบระดับมัธยมศึกษาจากโรงเรียนแม่สะเรียง “บริพัตรศึกษา”
- ปัจจุบันกำลังศึกษาในระดับปริญญาตรีชั้นปีที่ 7
 สาขาวิชาบริหารธุรกิจ คณะบริหารธุรกิจ มหาวิทยาลัยธรรมศาสตร์

E-mail : faro_aloha@hotmail.com



ชื่อ นาฏร์รัตน์ เมืองวงศ์
 ภูมิลำเนา 179 หมู่ 1 ถนนสุขุมวิท แขวงคลองเตย เขตคลองเตย กรุงเทพมหานคร
ประวัติการศึกษา

- จบระดับมัธยมศึกษาจากโรงเรียนฟ้ากท่าวิทยา
- ปัจจุบันกำลังศึกษาในระดับปริญญาตรีชั้นปีที่ 5
 สาขาวิชาบริหารธุรกิจ คณะบริหารธุรกิจ มหาวิทยาลัยธรรมศาสตร์

E-mail : phuwat01@hotmail.com